

الجمهورية الجزائرية الديمقراطية الشعبية  
REPUBLIQUE ALGERIENNE DEMOCRATIQUE ET POPULAIRE

7/86

وزارة التعليم والبحث العلمي  
MINISTÈRE DE L'ENSEIGNEMENT ET DE LA RECHERCHE SCIENTIFIQUE

المدرسة الوطنية المتعددة التخصصات  
BIBLIOTHEQUE — المكتبة —  
Ecole Nationale Polytechnique

## ECOLE NATIONALE POLYTECHNIQUE

DEPARTEMENT GENIE CHIMIQUE

المدرسة الوطنية المتعددة التخصصات  
BIBLIOTHEQUE — المكتبة —  
Ecole Nationale Polytechnique

## PROJET DE FIN D'ETUDES

### S U J E T

Contribution à la  
détermination des propriétés  
physiques des corps purs et des  
fractions pétrolières par des  
méthodes numériques

Proposé par : Pr S.E  
CHITOUR

Etudié par : Mustapha  
MEDJDOUB

Dirigé par : Pr S.E  
CHITOUR

PROMOTION : Janvier 86



وزارة التعليم والبحث العلمي  
MINISTÈRE DE L'ENSEIGNEMENT ET DE LA RECHERCHE SCIENTIFIQUE

## ECOLE NATIONALE POLYTECHNIQUE

DEPARTEMENT GENIE CHIMIQUE

المدرسة الوطنية المتعددة التقنيات  
BIBLIOTHEQUE — المكتبة —  
Ecole Nationale Polytechnique

## PROJET DE FIN D'ETUDES

### S U J E T

Contribution à la  
détermination des propriétés  
physiques des corps purs et des  
fractions pétrolières par des  
méthodes numériques

Proposé par : Pr S.E.  
CHITOUR

Etudié par : Mustapha  
MEDJDOUB.

Dirigé par : Pr S.E.  
CHITOUR

PROMOTION : Janvier 86

Sujet: Contribution à la détermination des propriétés physiques des corps purs et des fractions pétrolières par des méthodes numériques.

Résumé: Notre travail a consisté à compléter trois études antérieures par la détermination de quinze propriétés physiques pour la famille des isoparaffines, nous avons ensuite tenté de calculer treize propriétés différentes à partir de la connaissance de deux propriétés facilement accessibles expérimentalement (Masse moléculaire , température d'ébullition) .

Enfin, nous avons proposé des corrélations pour la détermination des compositions de quelques fractions pétrolières .

الموضوع : إسفلت في تحديد خواص الفيزيائية للأجسام الصلبة والأجزاء البترولية بواسطة طريقة الأعداد .

الملخص : تضمن عملنا في الكمال ثلاثة دراسات سابقة بتحديد خمسة عشر خواص فيزيائية لعائلة الأيزوبرافينات . بعد ذلك حارلنا حساب ثلاثة عشر خواص بعرفة خاصتين (الكتلة المولية ، درجة الغليان) ، يسهل الحصول عليها بالطرق التجريبية .  
أخيراً ، اقترحنا معادلات عشوائية تعطينا ترکيب بعض الأجزاء البترولية .

Subject: Contribution to the determination of the physical properties of pure bodies and petroleum fractions by numerical methods .

Summary: Our work consisted in completing three former studys with determination of fifteen physical properties for the isoparaffin family , we have also tried to calculate thirteen different properties from the knowledge of two properties (Molecular weight , boiling point) experimentally accessibles . We have even proposed correlations to know the composition of some petroleum fractions .

المدرسة الوطنية المتعددة التقنيات  
BIBLIOTHEQUE — المكتبة  
Ecole Nationale Polytechnique

A toute ma famille  
A tous mes amis

Je dédie ce travail

## ~ Remerciements ~

Je tiens à présenter mes sincères remerciements au professeur SE CHITOUR directeur de l'Ecole Nationale Polytechniques qui a proposé et suivi de près ce travail.

Je remercie également Monsieur BELABBES d'avoir accepté d'assurer la présidence du jury.

Que Mademoiselle ABSI et Messieurs AIT KACI et MOUSSAOUI trouvent ici l'expression de ma gratitude et reçoivent mes remerciements pour avoir voulu juger ce travail.

Je tiens à remercier également tous ceux qui, de près ou de loin, ont contribué à ma formation.

## - SOMMAIRE -

### INTRODUCTION GENERALE PARTIE THEORIQUE

المدرسة الوطنية المتعددة التقنيات  
BIBLIOTHEQUE — المكتبة  
Ecole Nationale Polytechnique

#### I. Détermination des compositions des fractions pétrolières

- 1-Introduction
- 2-Hydrocarbures dans le pétrole
- 3-Techniques d'analyse des fractions pétrolières
- 4-Correlations connues sur la composition des fractions pétrolières

#### II. Propriétés physico-chimiques des fractions pétrolières

- 1-Introduction
- 2-Grandeur expérimentales
  - a-Densité
  - b-Propriétés optiques
  - c-Viscosité
  - d-Point de congélation , de trouble et d'écoulement
  - e-Point d'aniline
  - f-Température d'ébullition
  - g-Tension superficielle
  - h-Pouvoir calorifique
  - i-Tension de vapeur
- 3-Grandeur mesurables par calcul
  - a-Masse moléculaire
  - b-Facteur de caractérisation Kuop
  - c-Indice de corrélation I
  - d-Chaleur de vaporisation
  - e-Propriétés critiques
  - f-Chaleur spécifique

## PARTIE EXPERIMENTALE

I-Analyse des mélanges de corps purs . . . . .	10
II-Analyse des fractions pétrolières . . . . .	11

## PARTIE CALCUL

I-Détermination des propriétés physico-chimiques . . . . .	13
1-Equations obtenues par la méthode du polynôme d'interpolation de Newton . . . . .	
a-Applications	
b-Conclusion	
2-Equations interprétées de type $Y_i = f(MM, T_{eb})$ . . . . .	17
a-Applications	
b-Conclusion	
3-Nomographie . . . . .	22
a-Introduction	
b-Abaques à points alignés	
c-Application	
d-Conclusion	
II-Contribution à l'approche de la connaissance de la composition des fractions pétrolières légères . . . . .	24
1-Introduction	
2-Méthode de calcul	
3-Méthode de construction des abaques .	
CONCLUSION GENERALE . . . . .	32

Annexe

Bibliographie .

~ NOTATIONS ET ABBREVIATIONS ~

A.S.T.M : American Society for Testing Metals .

Atm : Atmosphère .

C : Carbone

$^{\circ}\text{C}$ ,  $^{\circ}\text{K}$ ,  $^{\circ}\text{F}$ ,  $^{\circ}\text{R}$  : Degrés Celsius , Kelvin , Fahrenheit , Rankine .

C<sub>g</sub> : Point de congélation à 1 atm

Cal : Calorie

C<sub>p</sub> : Chaleur spécifique (Pour l'état idéal du gaz)

C.P.G : Chromatographie phase gazeuse

cSt : Centistokes

d : Densité

g : Gramme

Hc : Chaleur de combustion (du liquide)

$\Delta\text{Hv}$  : Chaleur de vaporisation à la T<sub>b</sub> et 1 atm .

IR, UV : Infrarouge , Ultraviolet .

ml : Millilitre

MM : Masse molaire

n : Indice de réfraction

N.D.M : Indice de réfraction - Densité - Masse molaire

N.D.PA : Indice de réfraction - Densité - Point d'aniline

n.m : Nanomètre ( $10^{-9}$  mètre)

PA : Point d'aniline .

P<sub>c</sub>, T<sub>c</sub>, V<sub>c</sub> : Propriétés critiques (Pression, Température, Volume)

Ri : Réfractivité intercept

R.M : Réfraction molaire

R.M.N : Résonance magnétique nucléaire

S<sub>p</sub>Gr : Specific Gravity .

T.B.P : True Boiling Point

T<sub>b</sub>(ou T<sub>b</sub>) : Température d'ébullition

T<sub>V</sub> : Tension de vapeur

T<sub>S</sub> : Tension superficielle

V<sub>A</sub> : Viscosité absolue

V : Viscosité cinématique

V.G.F : Viscosity Gravity Function

X<sub>p</sub>, X<sub>N</sub>, X<sub>A</sub> : Fractions molaires des paraffines , naphténées et aromatiques .

المدرسة الوطنية المتعددة التقنيات <b>BIBLIOTHEQUE</b> — المكتبة <b>Ecole Nationale Polytechnique</b>
---

## INTRODUCTION GENERALE

المدرسة الوطنية المتعددة التقنيات  
BIBLIOTHEQUE —  
Ecole Nationale Polytechnique

L'intérêt accru que le pétrole suscite en sa qualité de la matière première pour la synthèse organique est à l'origine d'une étude approfondie de sa composition et de ses propriétés.

Beaucoup de chercheurs ont élargi de façon substantielle les connaissances sur le pétrole. Cela se rapporte surtout à l'étude systématique de la composition des pétroles dans le cadre du « sixième projet » de l'American Petroleum Institute, effectuée depuis 1928. Non moins importantes sont les différentes méthodes pour la détermination des propriétés physiques et des compositions des différentes familles d'hydrocarbures, basées sur des calculs empiriques, qui, sans prétendre à une bonne précision, sont considérées actuellement comme le moyen le plus pratique d'analyse des fractions pétrolières (N.D.PA, N.D.M, Riazi-Daubert, etc...)

Le trait caractéristique de notre étude est la contribution à la connaissance des propriétés physiques des fractions pétrolières et leurs compositions. Pour ce faire, nous avons proposé des équations qui associent quinze propriétés et des nomogrammes permettant de retrouver certaines propriétés physiques aussi bien pour les mélanges de corps purs que pour les fractions pétrolières. Nous avons proposé également quelques corrélations permettant d'approcher la composition des fractions pétrolières.

Enfin nous avons jugé utile d'introduire la méthode graphique dans la détermination des compositions des fractions pétrolières en représentant la méthode N.D.PA et une corrélation proposée dans un travail précédent (BERRAH).

المدرسة الوطنية المتعددة التقنيات  
BIBLIOTHEQUE — المكتبة  
Ecole Nationale Polytechnique

# Partie Théorique

## I. Détermination des compositions des fractions pétrolières:

### 1. Introduction: (5)

Le pétrole brut et les fractions pétrolières qui en sont issues sont essentiellement composés de molécules résultant de la combinaison d'atomes de carbone tétravalents et d'atomes d'hydrogène, appelées "hydrocarbures".

Toutefois, dans le pétrole brut n'existent que certains types de structures moléculaires, d'autres, telles que les formes oléfiniques instables, si elles ont pu se former à l'origine du pétrole, se sont lentement et totalement transformées en molécules stables au cours des siècles dans les gisements.

### 2. Hydrocarbures dans le pétrole: (5)

Mis à part les composés hétéroatomiques (Soufre, oxygène et azote), que peut renfermer le pétrole, les différents types d'hydrocarbures coexistants sont :

- a. N. paraffines: sont les molécules à chaîne droite unique.
- b. Isoparaffines et paraffines ramifiées: les isoparaffines sont les molécules qui ont un groupe méthyl ( $\text{CH}_3$ ) sur le 2<sup>e</sup> atome de carbone. Les chaînes ramifiées ont un ou plusieurs groupes alkyls (souvent un méthyl).
- c. Cycloparaffines: sont les hydrocarbures cycliques saturés dont plusieurs portent des groupements méthyls.
- d. Aromatiques: sont les composés contenant au moins un noyau benzénique dans la molécule.
- e. Hydrocarbures mixtes: Des cycles peuvent se substituer sur les chaînes paraffiniques ou inversement. Les propriétés de la molécule mixte seront fonction de l'importance relative des noyaux et des chaînes dans la structure. Ainsi, par exemple, le toluène est considéré comme un hydrocarbure aromatique parce que la chaîne méthyle substituée est courte; par contre si l'on substitue un noyau benzénique sur une chaîne droite à 26 atomes de carbone (Phenylhexacosane), la molécule résultante aura un caractère paraffinique.

### 3. Techniques d'analyse des fractions pétrolières: (8)

L'industrie pétrolière connaît depuis assez longtemps un certain nombre de méthodes d'analyse qui permettent de déterminer - avec une assez bonne précision - la teneur en telles ou telles classes d'hydrocarbures.

#### A. Analyse par chromatographie:

La chromatographie est une méthode physico-chimique de séparation, basée sur la répartition des composants entre deux phases : fixe et mobile, cette dernière traversant en continu la phase stationnaire.

Suivant la nature des phénomènes qui déterminent la séparation, on distingue plusieurs formes de chromatographie parmi elles, la chromatographie d'adsorption qui utilise les adsorbabilités différentes des corps à séparer à la surface solide de l'adsorbant.

Actuellement, il est devenu possible de séparer - grâce à la chromatographie - les fractions légères du pétrole en hydrocarbures individuels.

#### B. Analyse par spectrométrie de masse:

La spectrométrie de masse a été appliquée la première fois (1940) à l'analyse des fractions pétrolières à bas points d'ébullition, mais il était difficile de l'utiliser pour identifier les composants de mélanges d'une masse moléculaire plus élevée du fait de l'analogie que présentent les spectres de masse de certains hydrocarbures et spécialement ceux des isomères.

Les possibilités d'application de cette méthode se sont considérablement élargies lorsque l'idée de la combiner à la chromatographie (Appareils de type CHROMASS) apparut.

Le principe de la spectrométrie de masse consiste en ionisation dissociative des molécules organiques par choc électronique, accompagnée de formation d'une série de fragments enregistrables qui caractérisent les molécules initiales.

### C. Spectroscopie ultraviolette et infrarouge :

L'absorption d'énergie dans l'U.V est due aux variations de l'état énergétique des électrons périphériques.

Etant donné que les bandes d'absorption des alcanes sont situées dans l'U.V lointain (au-dessous de 200 nm), seules les structures polyéniques et aromatiques absorbent dans l'U.V moyen (200-400 nm).

La bonne sensibilité de la spectroscopie U.V permet de détecter les traces d'arènes dans les produits non aromatiques.

A la différence de l'U.V moyen, tous les composés organiques absorbent dans l'IR. Cette zone du spectre électromagnétique est liée aux vibrations atomiques dans les molécules.

Les spectres IR nous aident à déterminer le type des pétroles. C'est l'aire ( $S_1$ ) de la bande  $1610 \text{ cm}^{-1}$ , traduisant les vibrations des liaisons C=C du noyau aromatique, qui sert de mesure pour la teneur en arènes. La teneur en alcanes est exprimée par l'aire ( $S_2$ ) de la bande  $720 \text{ cm}^{-1}$ , caractéristique des vibrations des liaisons C-C dans les chaînes longues. Le rapport  $A = S_1/S_2$  sert d'indice d'aromaticité des pétroles.

### D. Résonance magnétique nucléaire :

L'absorption de l'énergie de radiation de radiofréquence, utilisée dans la R.M.N, est liée aux propriétés magnétiques des noyaux.

C'est la résonance magnétique protonique (R.M.P) qu'on utilise le plus souvent pour l'étude des composés organiques, y compris le pétrole.

La R.M.N présente un intérêt particulier du point de vue de l'étude des fractions pétrolières à points d'ébullition élevés.

### Conclusion :

Parmi toutes les méthodes d'analyses physico-chimiques et physiques existantes, la C.P.G est la plus répandue pour ses nombreux avantages :

- Haut pouvoir séparateur
- Sensibilité élevée
- Rapidité de l'analyse
- Faible quantité de l'échantillon à analyser
- Assez bonne précision
- Appareillage relativement simple.

#### 4. Corrélations connues sur la composition des fractions pétrolières : (7)

##### A. Méthode N.D.M :

Cette méthode permet de déterminer la distribution du carbone et les taux des cycles dans les fractions pétrolières. Elle donne une précision de l'ordre de  $\pm 1,5\%$  pour le pourcentage en carbone à condition que  $M > 200$  g,  $X_A < 1,5 X_N$  et que  $X_A > 25\%$ .

##### B. Méthode N.D.PA :

La connaissance de trois paramètres :  $n_8^{20}$ ,  $d_4^{20}$  et PA suffisent pour l'application des équations suivantes :

$$X_A = 1039,4 n - 470,4 d - 0,315 PA - 1094,3$$

$$X_N = -1573,3n + 840,15d - 0,4619 PA + 1662,2$$

$$X_P = 100 - (X_A + X_N)$$

##### C. Méthode RIAZI-DAUBERT :

Cette méthode, applicable aux fractions légères, fait intervenir un nouveau facteur de caractérisation V.G.F défini par :

$$V.G.F = -1,816 + 3,484 SpGr - 0,1156 \sqrt{100^o_F} (\text{cst})$$

La composition des fractions pétrolières est alors déterminée à partir des équations suivantes :

$$X_P = -23,94 + 24,21 Ri - 1,092 V.G.F$$

$$X_N = 41,14 - 39,43 Ri + 0,627 V.G.F$$

$$X_A = -16,20 + 15,22 Ri + 0,465 V.G.F$$

## II- Propriétés physico-chimiques des fractions pétrolières :

### 1- Introduction:

Le pétrole et les produits dérivés du pétrole sont des mélanges assez complexes d'hydrocarbures et de leurs hétérodérivés contribuant de par leurs natures et leurs concentrations à la grandeur physique globale. Outre, certaines grandeurs physiques accessibles expérimentalement et d'autres pondérales, nous avons souvent recours à des relations empiriques et aux abaques.

### 2- Grandeurs accessibles expérimentalement :

#### a. Densité: (5;8)

La densité est définie comme le rapport de la masse d'un corps au volume qu'il occupe (unité : Kg/m<sup>3</sup>). La densité relative est le rapport de la densité du corps considéré (à une température donnée) à celle du corps de référence (c'est d'habitude l'eau à  $\approx 4^{\circ}\text{C}$ )

Excepté pour les calculs nécessitant une très grande précision, on pourra toujours confondre la specific gravity SpGr 60/60°F et la densité à 15°C

$$d_{\frac{15}{4}} = 0,99904 \text{ SpGr } 60/60 \text{ °F}$$

#### b. Propriétés optiques: (8)

Les rayons lumineux changent leurs vitesse et direction en passant d'un milieu dans un autre. Ce phénomène est appelé "réfraction".

L'indice de réfraction dépend de la température, à laquelle on fait la détermination, et de la longueur d'onde de la lumière. D'habitude la détermination est faite par rapport aux raies de Fraunhofer les plus lumineuses (c'est le plus souvent la raie jaune du Sodium  $\lambda = 589,3 \text{ nm}$ ) à 20°C.

L'effet de la température est pris en compte à l'aide de la formule :

$$n_{\text{D}}^{20} = n_{\text{D}}^t - a(20-t)$$

t: température de la détermination

$$a = 0,0004$$

La différence entre les valeurs de l'indice de réfraction et de la demi-densité du corps donne un nouveau paramètre appelé "Intercepte de refraction" Ri :

$$\boxed{R_i = n_{\text{D}}^{20} - \frac{d_{\frac{15}{4}}^{20}}{2}}$$

### C. Viscosité: (7)

La viscosité est le pouvoir caractéristique des fluides de résister au déplacement d'une partie du fluide par rapport à l'autre.

On distingue les viscosités absolue, relative et cinématique:

- Viscosité absolue (unité: poise): La poise est la force d'une dyne qui, appliquée à un élément de surface de  $1\text{ cm}^2$ , déplace cet élément de 1 cm par seconde.

- Viscosité relative : C'est le rapport de la viscosité du produit à celle de l'eau à  $20^\circ\text{C}$ .

- Viscosité cinématique (unité: Stokes): C'est le rapport de la viscosité absolue à la densité mesurée à la même température.

### d. Point de congélation, de trouble et d'écoulement: (8)

Le "point de congélation" est la température à laquelle la fraction soumise au refroidissement dans une éprouvette demeure immobile, lorsque l'éprouvette est inclinée de  $45^\circ$ .

La température correspondante à l'apparition de "nuages" de petits cristaux (de paraffines) dans un produit pétrolier est dite "point de trouble".

Le "point d'écoulement" d'une huile de pétrole est la température la plus basse à laquelle l'huile coule encore lorsqu'elle est refroidie sans agitation, dans des conditions normalisées.

### e. Point d'aniline: (7)

C'est la température la plus basse à laquelle des volumes égaux d'aniline et de produit à examiner sont complètement miscibles. La rupture de miscibilité se manifeste par l'apparition d'un trouble net.

Le point d'aniline élevé dénote d'une nature paraffinique (supérieur à  $75-80^\circ\text{C}$ ), par contre un point d'aniline bas dénote d'une nature aromatique.

### f. Température d'ébullition: (7)

Contrairement au corps pur, la température d'ébullition d'un mélange n'a pas de sens. On parlera plutôt d'une température "moyenne" d'ébullition.

La T.B.P (True boiling point) et l'A.S.T.M donnent généralement la température

d'ébullition instantanée en fonction du pourcentage en volume distillé. En prenant la température du point 50 %, on obtient 3 températures "moyennes" d'ébullition suivant les différents pourcentages : volumétrique ( $t_v$ ), pondérale ( $t_p$ ) et molaire ( $t_m$ ). Ce qui revient à définir la température moyenne pondérée ( $t_{nav}$ ) qui est la moyenne des 3 valeurs définies précédemment.

### g- Tension superficielle: (10)

Pour augmenter la surface d'un liquide d'une quantité  $\Delta S$  il est nécessaire, pour vaincre les forces de cohésion entre les molécules, de fournir une énergie  $\Delta G_s$ .

La grandeur qui caractérise une surface sera le travail à fournir pour augmenter sa surface libre d'une aire unité. Cette grandeur est appelée "Tension superficielle", on la note "TS" et est exprimée en dyn/cm :

$$TS = \left( \frac{\Delta G_s}{\Delta S} \right)_{T, P}$$

### h- Pouvoir calorifique: (5)

La quantité de chaleur libérée par la combustion de l'unité de volume ou de poids du combustible est appelée "pouvoir calorifique".

### i- Tension de vapeur:

La tension de vapeur mesure la tendance des molécules à s'échapper d'une phase liquide pour engendrer une phase vapeur en équilibre thermodynamique.

## 3. Grandeurs mesurables par calcul:

### a. Masse moléculaire: (7)

On utilise les abaques et les formules empiriques :

- \* Apartir du diagramme de Knop (Connaissant la densité et la  $t_{nav}$ )
- \* Apartir de la formule utilisant  $n$  et  $t_{nav}$ :

$$\log M = 0,001978 T_{eb}({}^\circ C) + 1,9394 + \log (2,15 - n_D^{20})$$

\* A partir de la formule de M. ROBERT :

$$M = 1705,45 \cdot n_D^{20} + 792,93 \cdot d_4^{20} + 4,553 \text{ PA} - 3287$$

\* A partir de la formule de HUANG :

$$M = 7,7776 \cdot 10^{-6} \cdot Teb^{2,1197} \cdot I^{-2,089} \cdot d_4^{20}$$

### b. Facteur de caractérisation Kuop:

NELSON, WATSON et MURPHY de la société U.O.P ont proposé la formule suivante :

$$Kuop = \sqrt[3]{\frac{Teb \text{ (}^{\circ}\text{R)}}{S_p G_r 60/60}}$$

### c. Indice de corrélation I :

Ce paramètre est défini comme suit :

$$I = \frac{n^2 - 1}{n^2 + 2}$$

### d. Chaleur de vaporisation : (7)

La chaleur latente de vaporisation est la quantité de chaleur fournie à l'unité de poids d'une substance pour la transformer en vapeur. Elle s'exprime en Cal/g. Pour une fraction pétrolière, le changement de phase ne s'effectue pas à une température constante, mais plutôt dans un intervalle de température.

#### \* Règle de Maxwell :

Un composé inconnu aura la même chaleur molaire de vaporisation qu'une paraffine à la même température et à la même pression réduite.

Cette méthode consiste à prendre la paraffine normale ayant la même température d'ébullition que le composé inconnu, relever son poids moléculaire et sa pression critique, puis calculer sa tension de vapeur à la température considérée et déterminer ensuite sa chaleur molaire de vaporisation.

La même méthode peut être appliquée aux fractions pétrolières ayant un Kuop ≠ 12 (non paraffinique) en prenant la  $T_{\text{mav}}$  comme point d'ébullition normal et la pression pseudo-réduite comme pression réduite.

## 2. Propriétés critiques:

En représentant une fraction pétrolière par un hydrocarbure, ayant des propriétés moyennes de cette fraction, on définit des coordonnées critiques fictives

- Température pseudo-critique  $T_{pc}$

- Pression pseudo-critique  $P_{pc}$

La détermination de ces coordonnées pseudo-critiques s'opère de la façon suivante:

- Pour les mélanges à nombre fini de constituants, en pondérant moléculairement les coordonnées critiques des hydrocarbures purs composant le mélange.

- Pour une fraction complexe, en utilisant des corrélations empiriques faisant intervenir la  $t_{mav}$ ,  $d$  et  $Kuop$  de la fraction.

## f. Chaleur spécifique:

C'est la quantité de chaleur qu'il faut fournir à l'unité de poids pour augmenter sa température d'un degré. Elle est exprimée en Cal / g.°C.

Partie

Expérimentale

## I. ANALYSE DES MÉLANGES DE CORPS PURS :

- Appareils utilisés :

PROPRIÉTÉ ANALYSÉE	APPAREIL
Densité	Pycnomètre
Indice de réfraction	Réfractomètre
Viscosité cinétique	Viscosimètre UBBELHOEDE ( $C = 0,02788$ )
Tension superficielle	Tensiomètre de type TENSIMAT n°3 PROLABO
Température d'ébullition	Appareil ASTM normalisé

Nous avons pris 4 corps purs en C<sub>8</sub> de chaque famille

ISOPARAFFINE : ISOCTANE

N-PARAFFINE : N-OCTANE

NAPHTENE : CYCLO-OCTANE

AROMATIQUE : ETHYL-BENZENE

	n 25°	d (g/ml) <sub>25°</sub>	v (est) <sub>25°</sub>	Teb (°C)	TS (dyn/cm) <sub>25°</sub>
Mélange équimolaire	1,42818	0,75935	0,7713	127,05	24,0
Mélange équivolumétrique	1,43411	0,77100	0,7806	129,38	24,4

Distillation ASTM :

	V (ml)	10	20	50	70	80	90
Mélange équimolaire	T(°C)	116,5	120	127	135	139	142,5
Mélange équivolumétrique	T(°C)	120	123	129	135,5	139	143,5

## II. ANALYSE DES FRACTIONS PETROLIERES:

Fraction Propriété	Essence normale	Naphta	Kérosène
$d(8/ml)$ $25^{\circ}C$	0,7388	0,7525	0,7936
$n$ $25^{\circ}C$	1,42862	1,42225	1,44440
TS(dyn/cm) $25^{\circ}C$	21,9	24,4	26,9
PA ( $^{\circ}C$ )	29,6	64,0	72,5
T <sub>mav</sub> ( $^{\circ}C$ )	103,0	148,5	218,5
$\nu(CSt)$ $25^{\circ}C$	0,5228	0,7876	1,5195
$X_p^*$ (%)	44,2	62,4	65,8
$X_n^*$ (%)	22,0	27,6	23,2
$X_a^*$ (%)	33,8	10,0	11,0
$M_{Kuop}$ (g)	102	128	174
$M_{Log}$ (g)	100	124	166
$M_{Huang}$ (g)	98	130	173

\*

Nous avons utilisé la méthode N.D.PA

Distillation ASTM

	V (ml)	10	20	50	70	80	90
Essence normale	T (°C)	61	70	107	134	158	189
Naphta.		126	139	151	160	165	177
Kérosène		195	204	217	229	237	250

# *Partie Calcul*

---

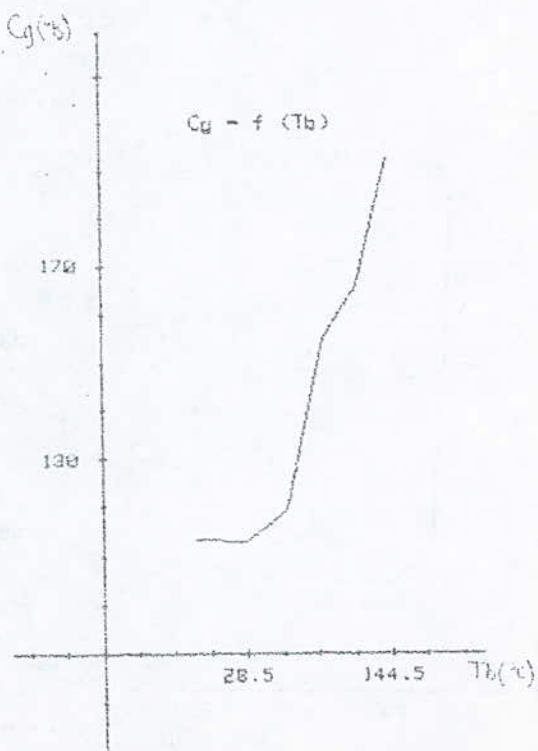
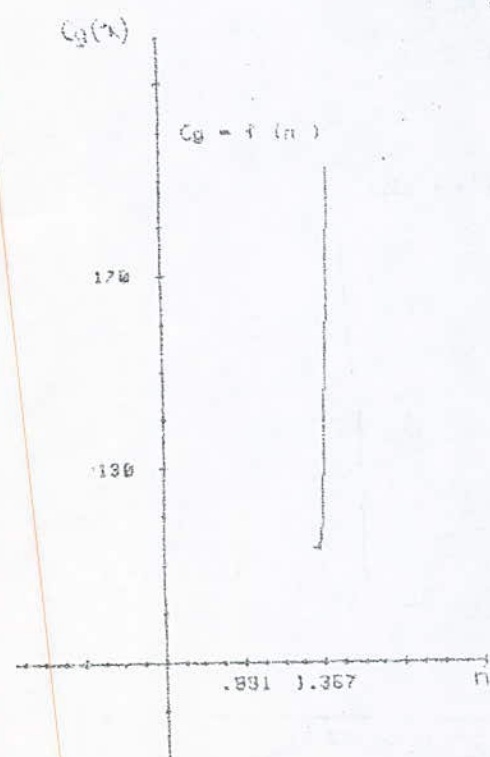
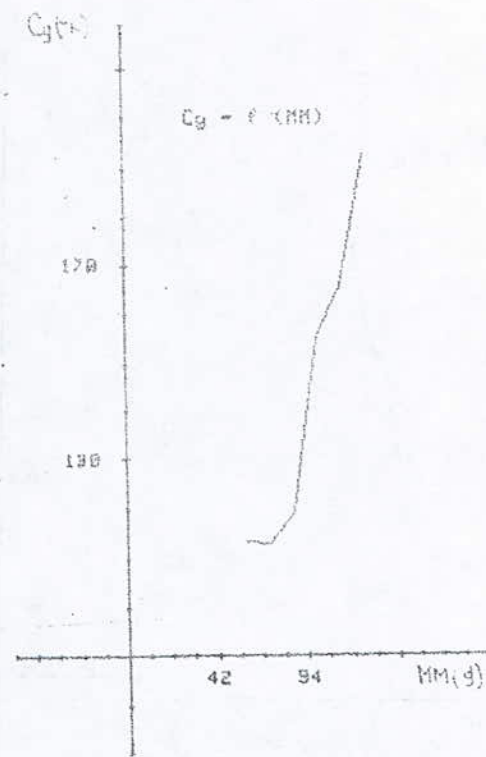
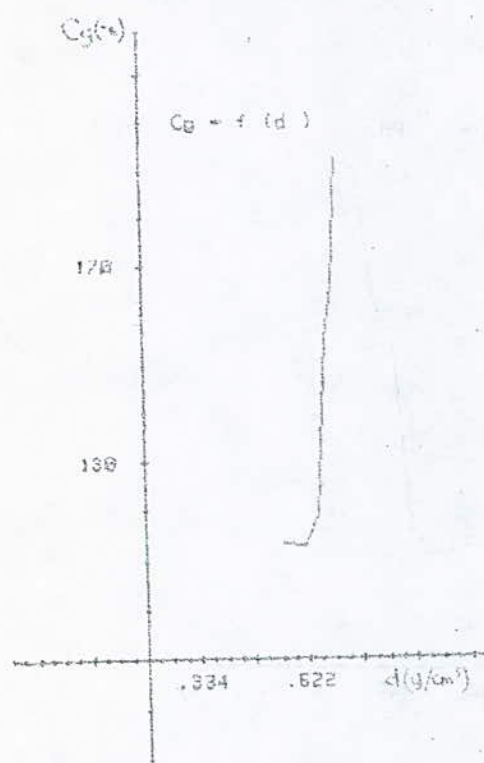
## I.- DETERMINATION DES PROPRIETES PHYSICO-CHIMIQUES :

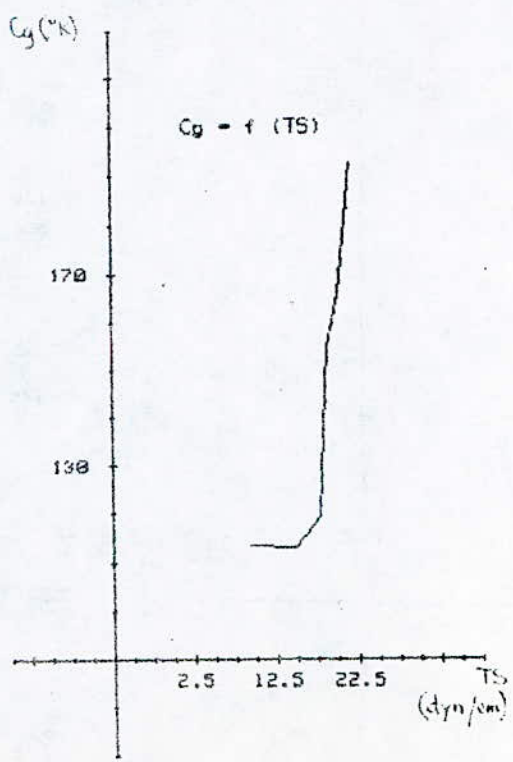
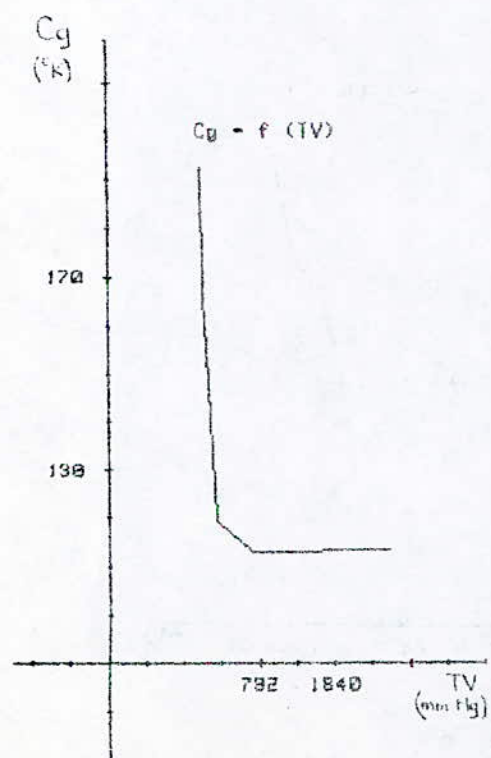
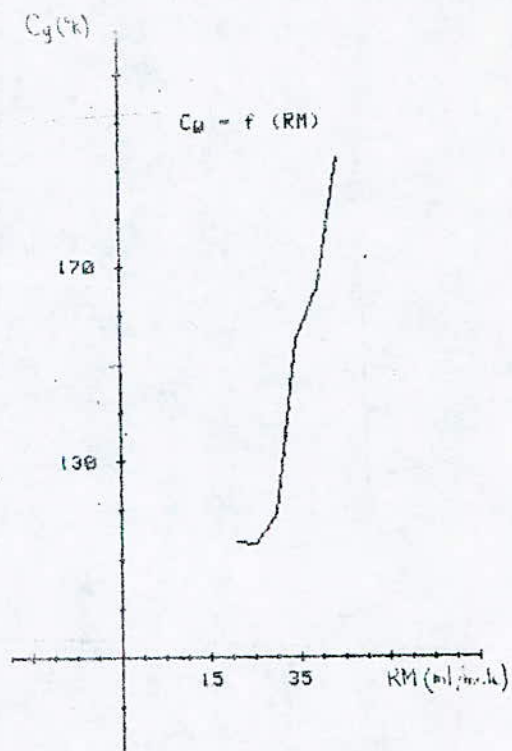
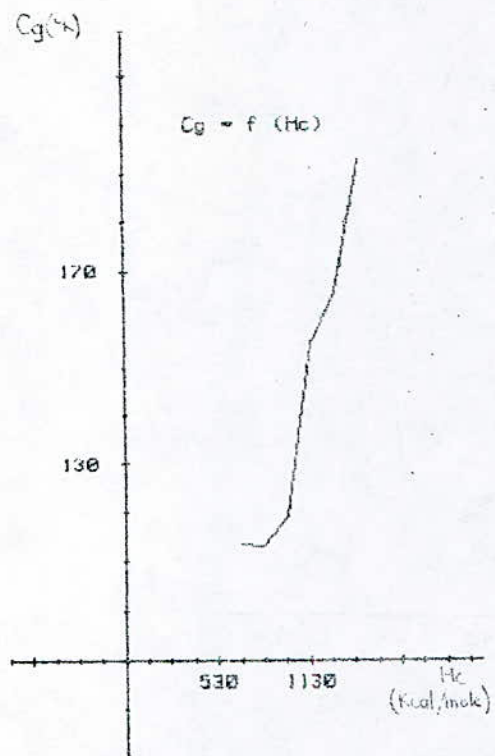
### 1- Equations obtenues par la méthode du polynome d'interpolation de Newton :

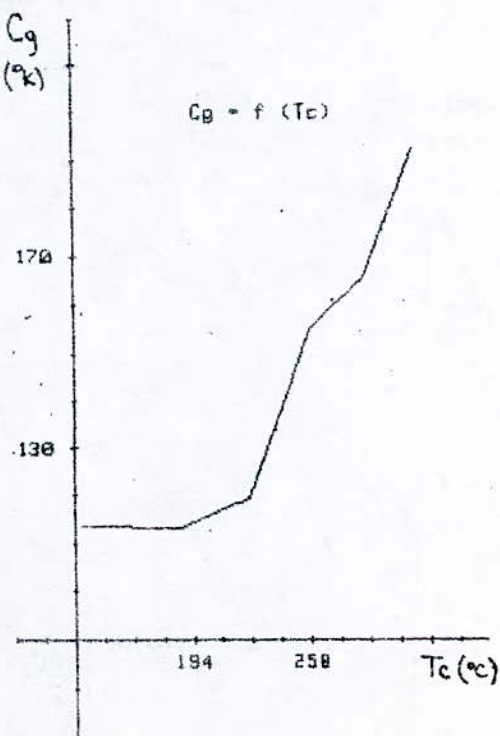
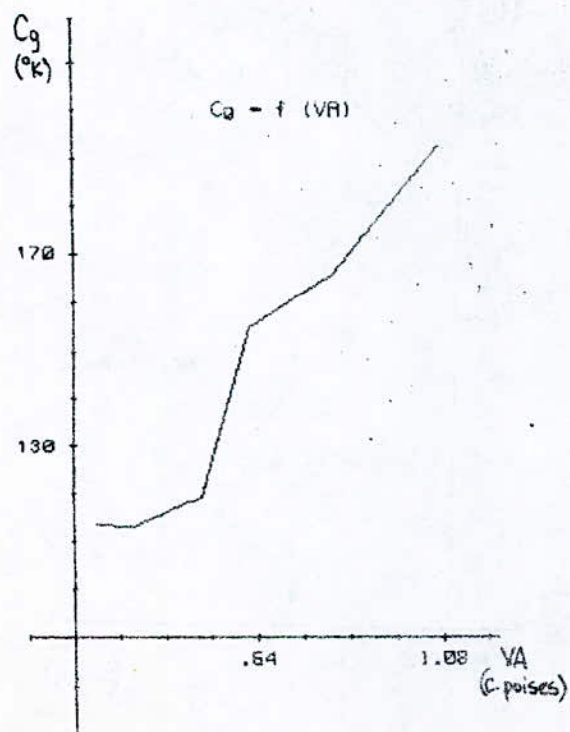
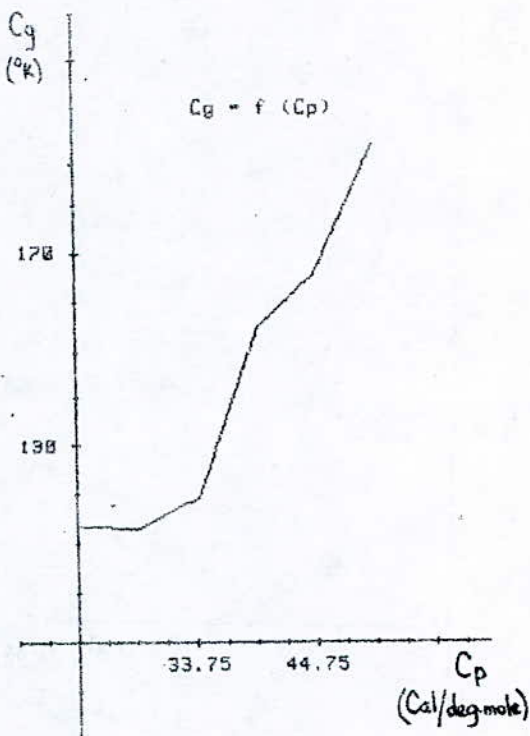
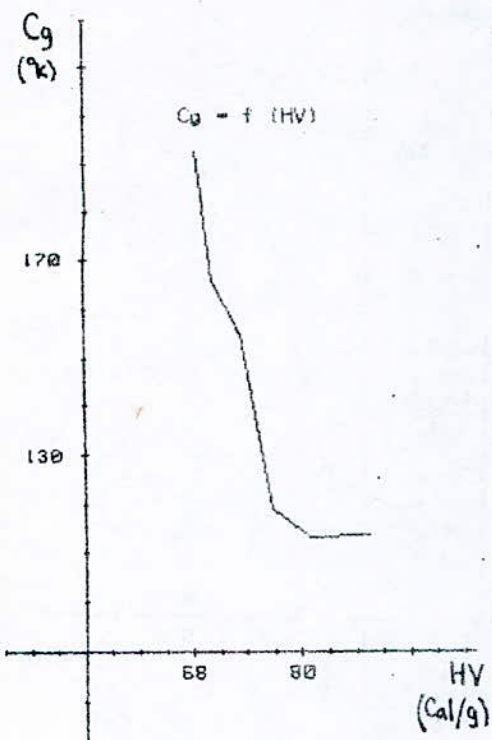
Les équations des propriétés physico-chimiques des trois familles d'hydrocarbures, paraffines; naphénées et aromatiques, ont été déterminées dans les deux thèses précédentes (Promotions Janvier et Juin 85). Pour notre part, nous allons déterminer les équations des propriétés des isoparaffines.

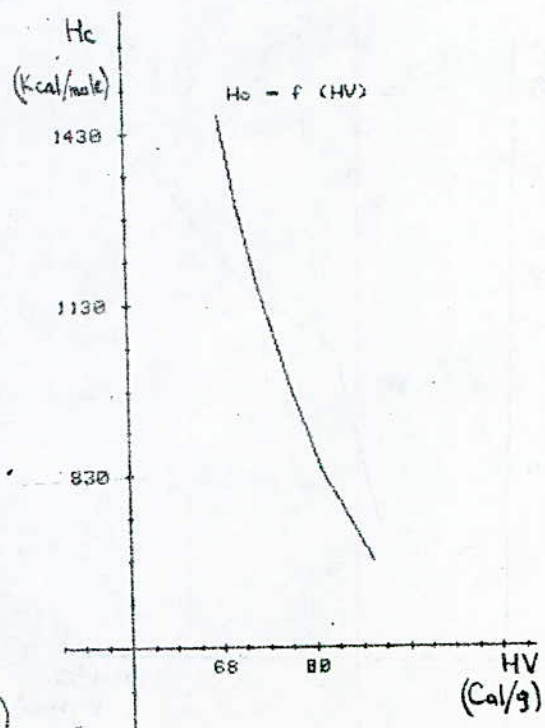
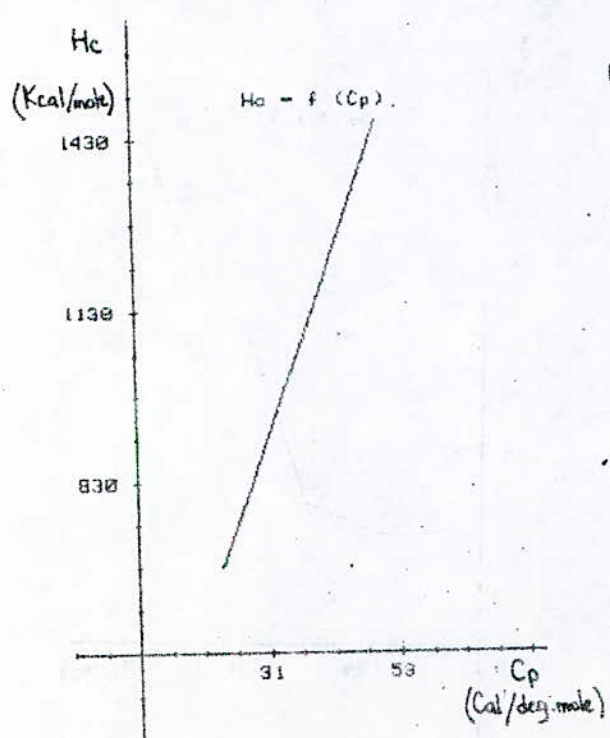
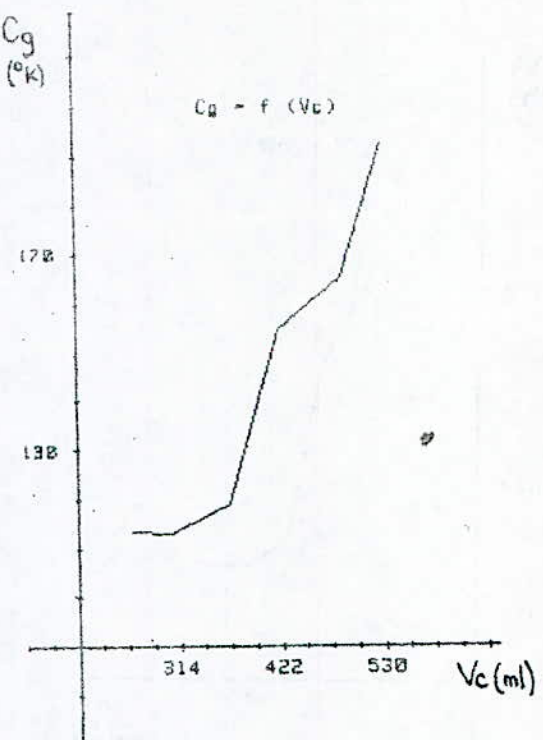
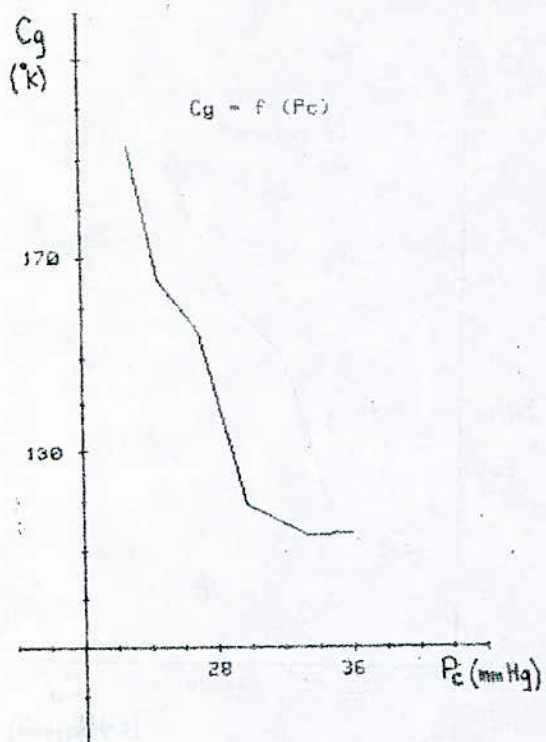
Nous avons pris six hydrocarbures isoparaffiniques de C<sub>4</sub> à C<sub>9</sub>, par conséquent, les équations seront valables dans un intervalle de température allant de -10 à 145 °C.

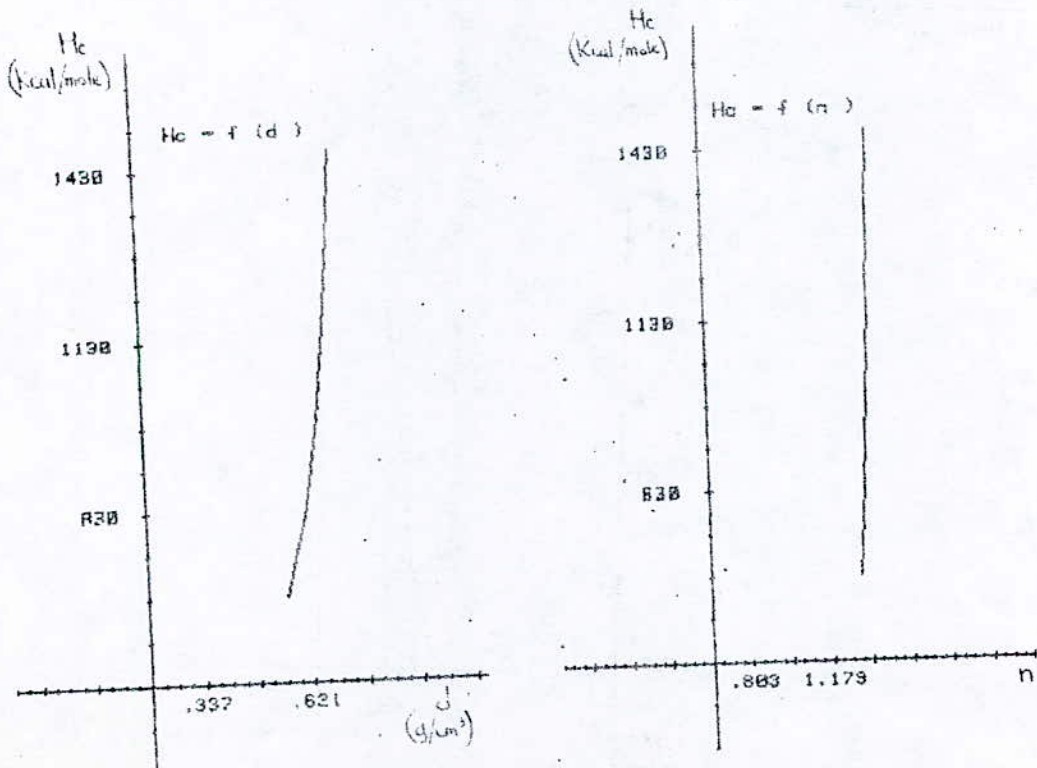
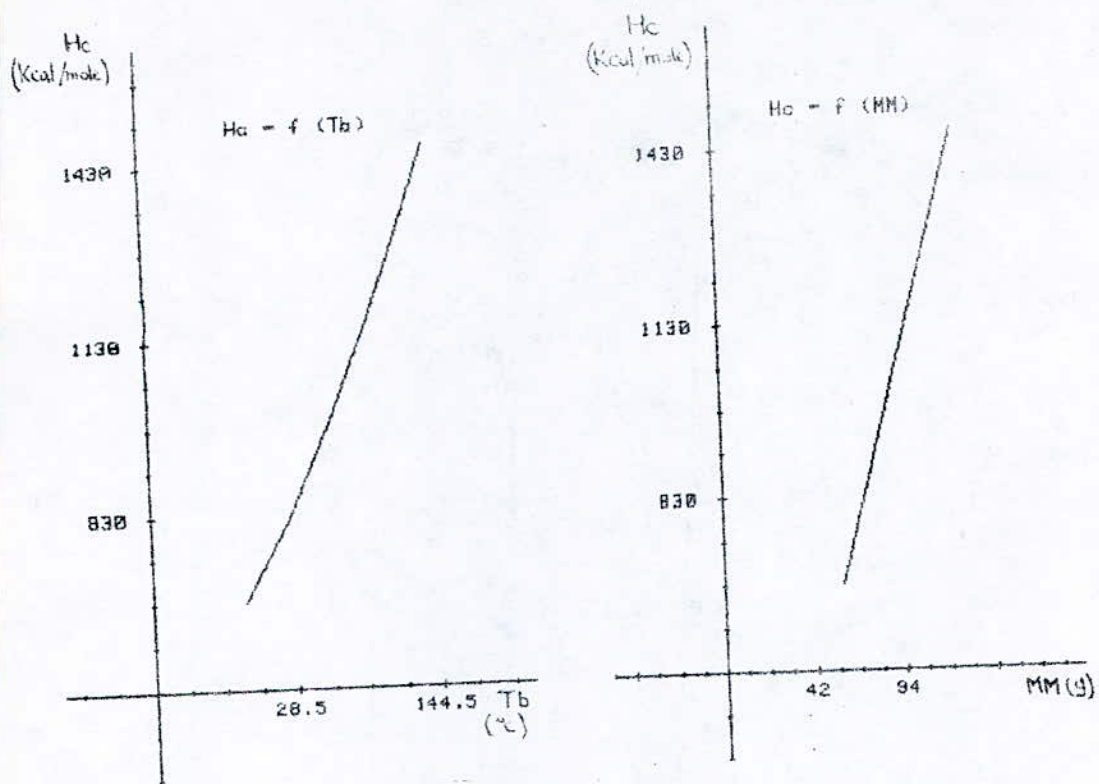
Nous allons donc présenter les différentes équations (210 au total) reliant les 15 propriétés entre elles, ainsi que les courbes s'y reportant.

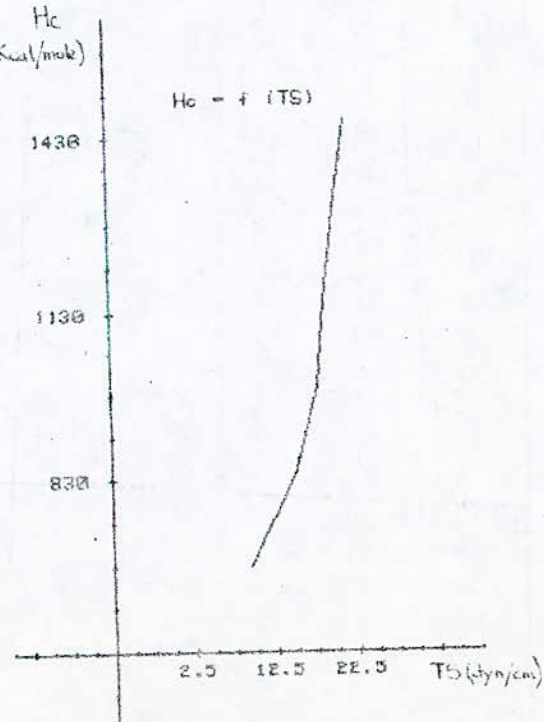
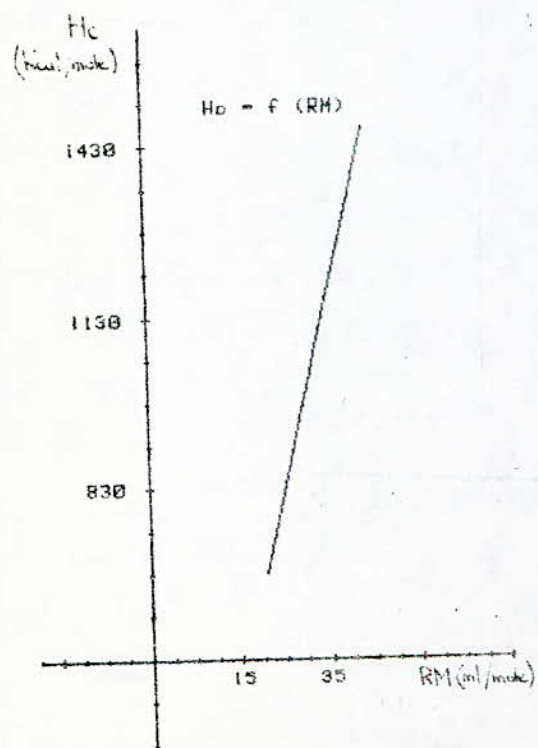
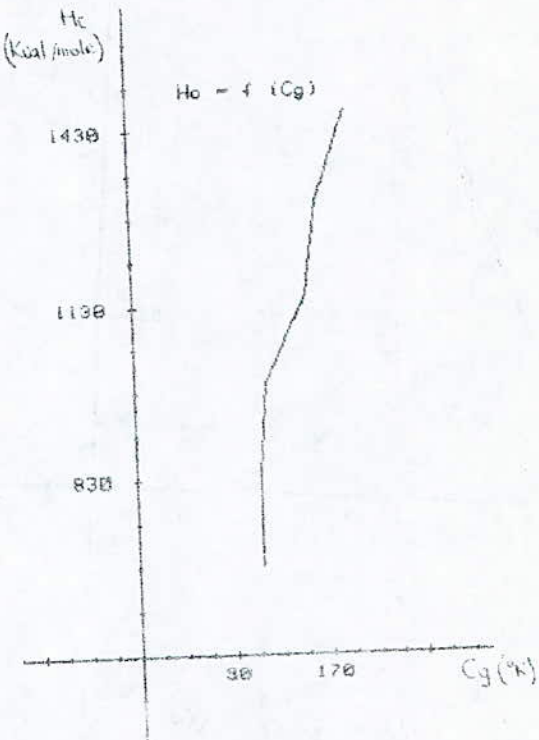
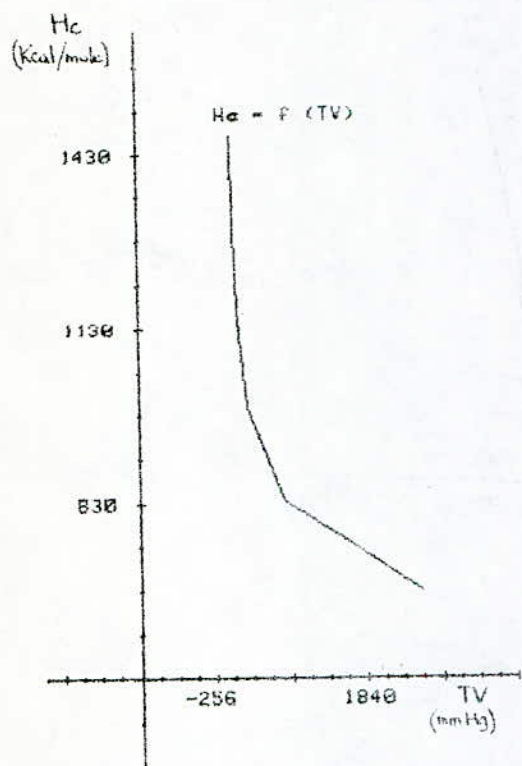


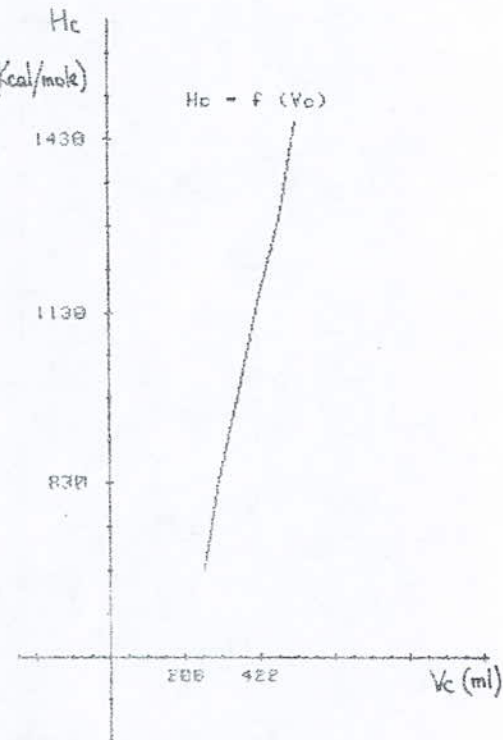
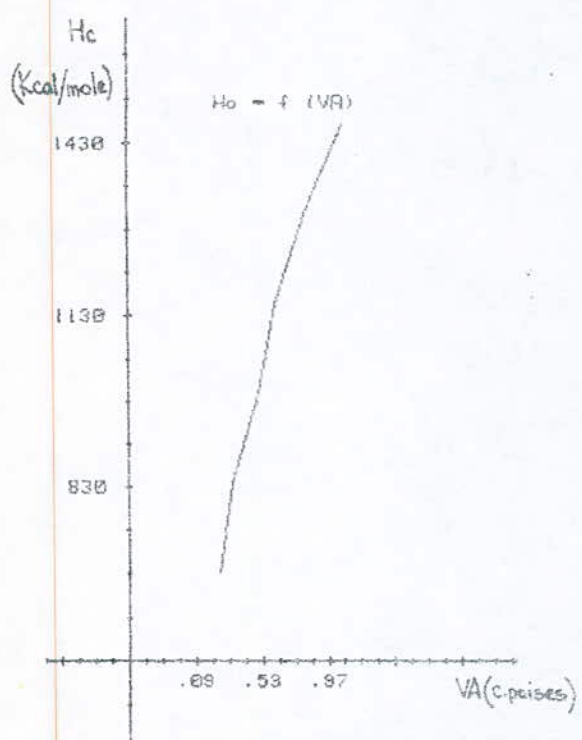
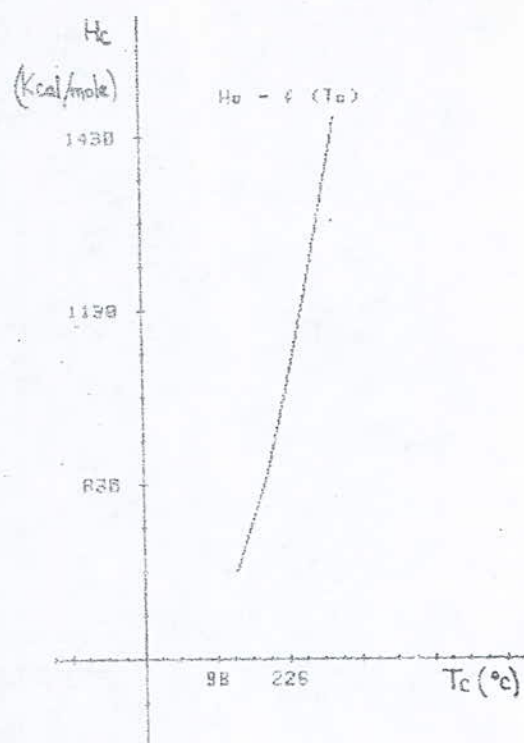
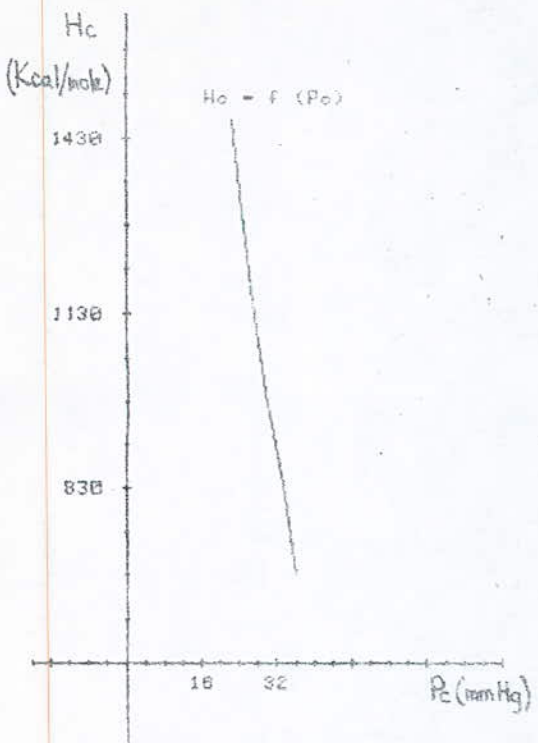


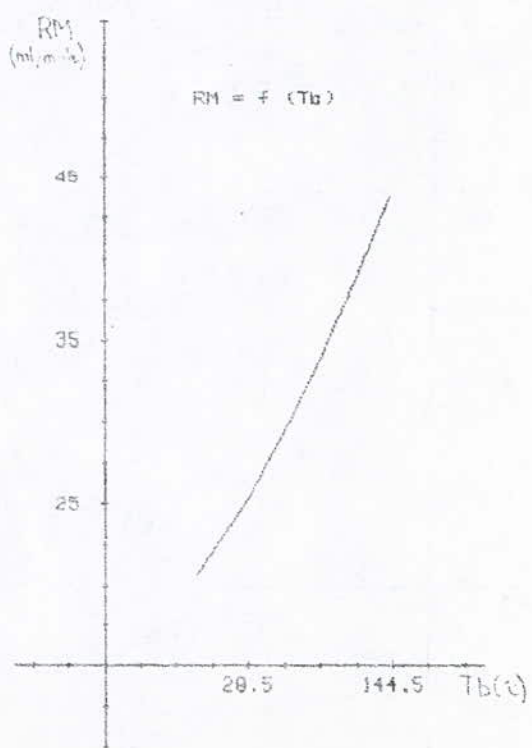
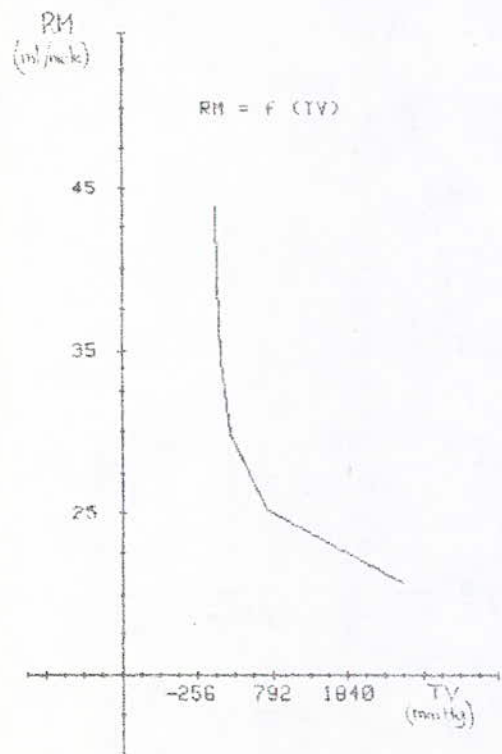
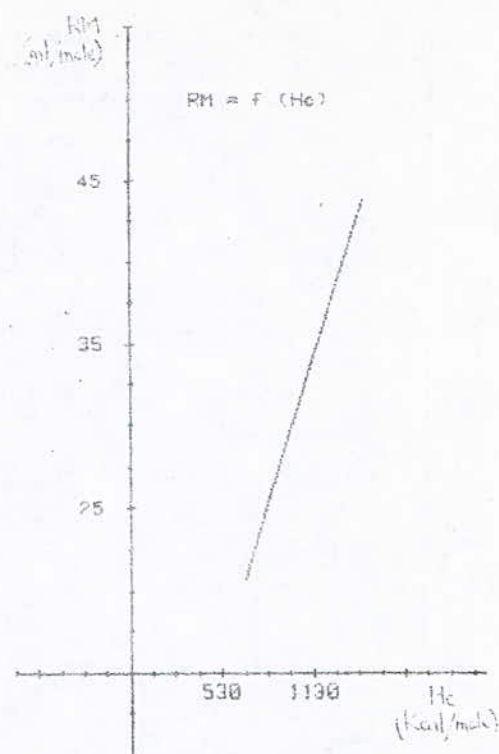
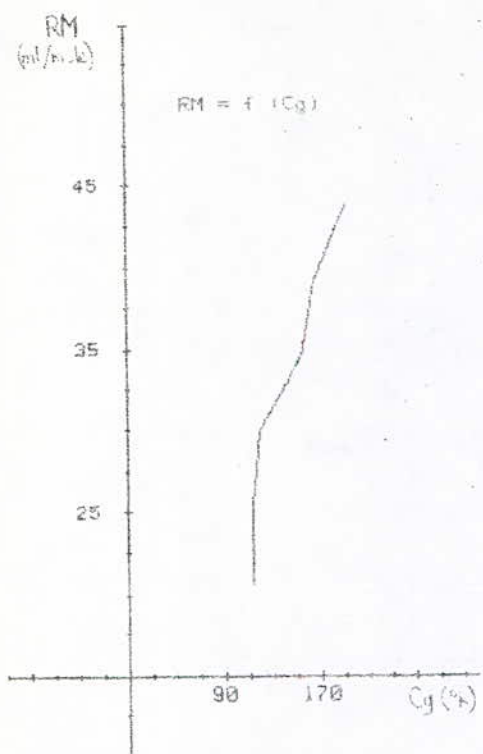


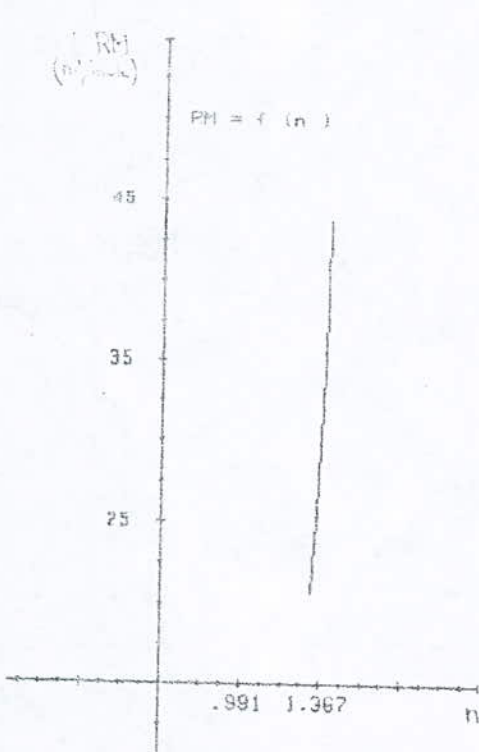
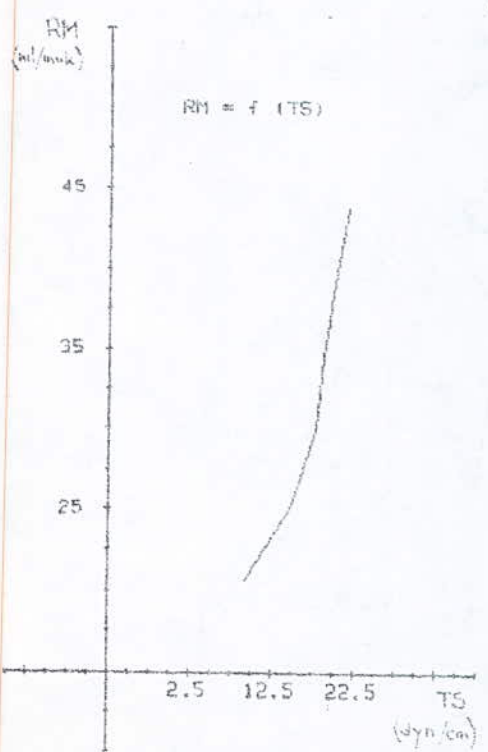
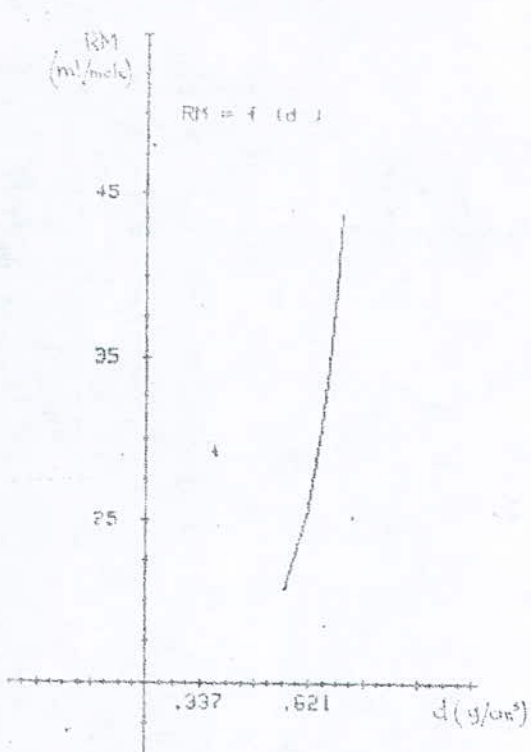
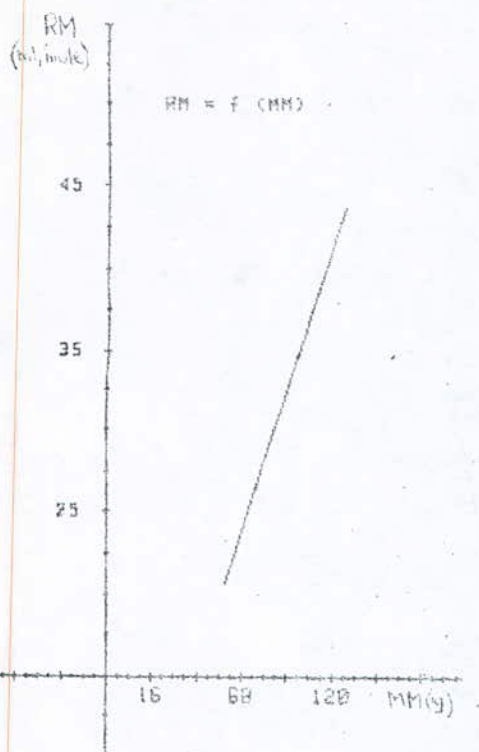


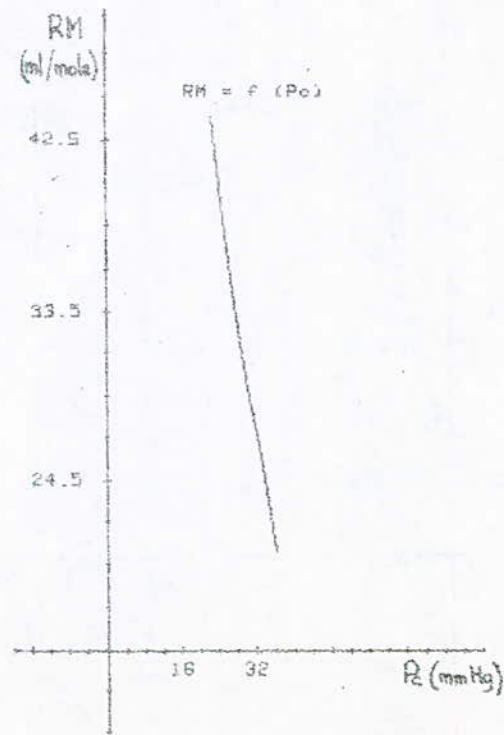
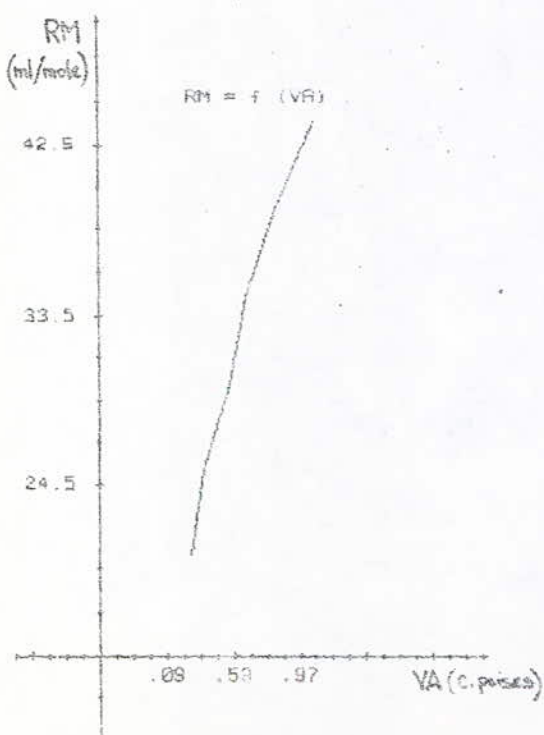
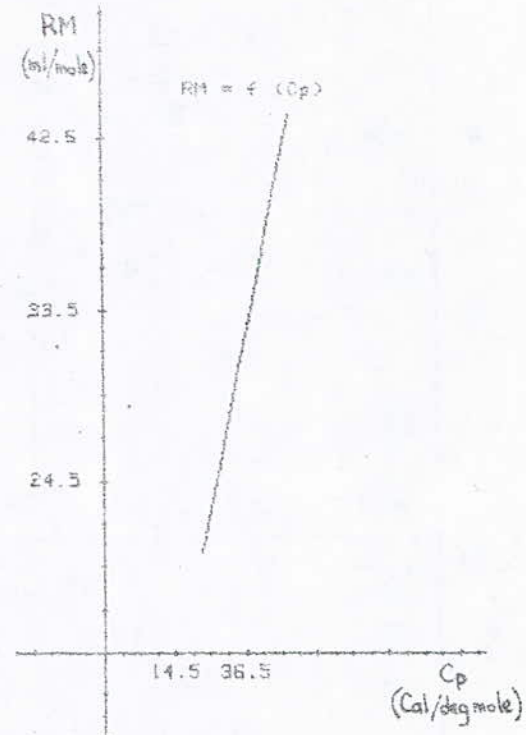
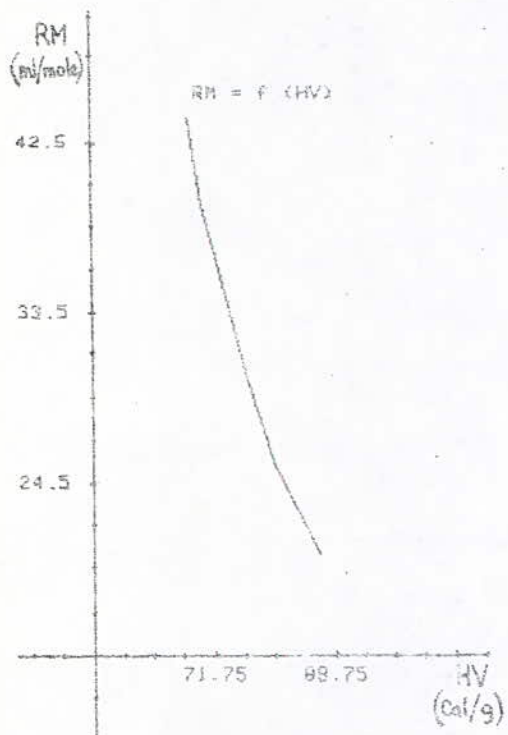


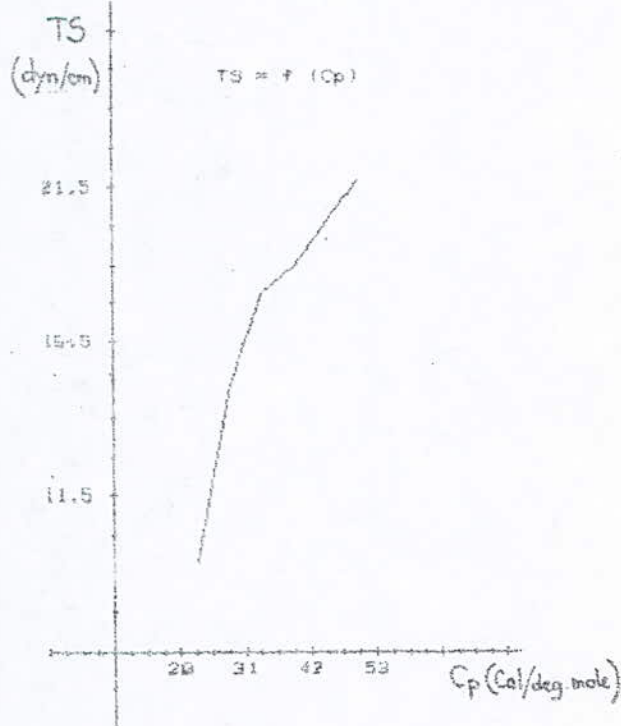
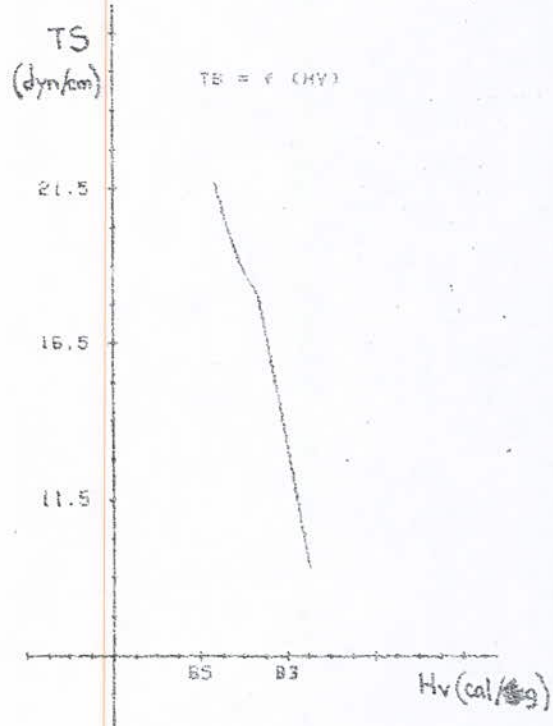
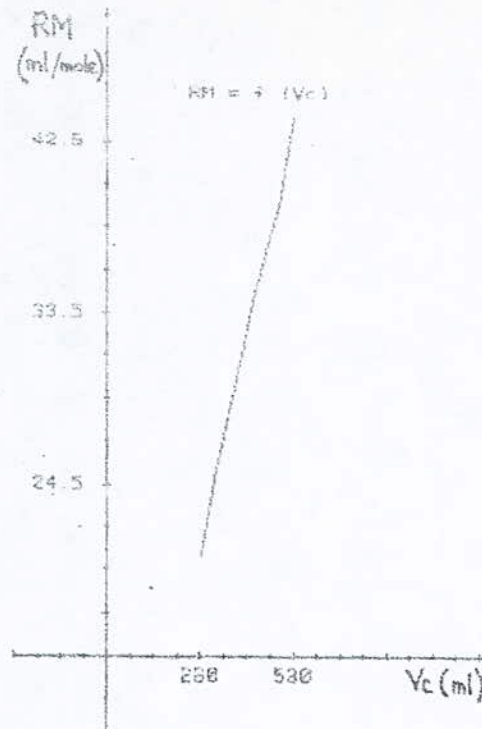
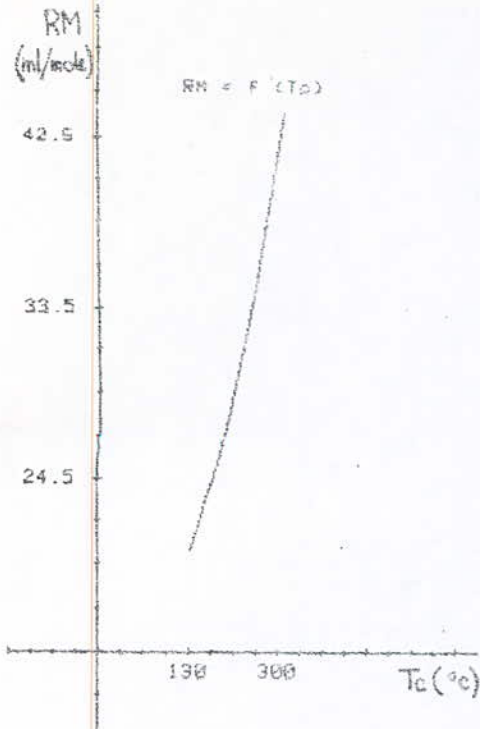


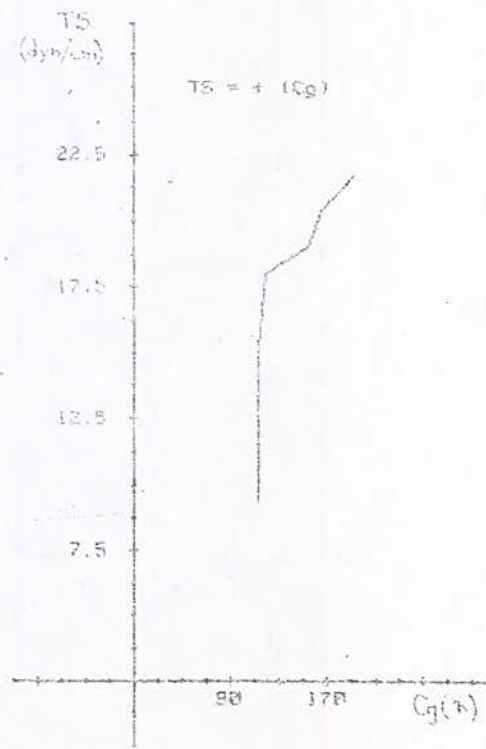
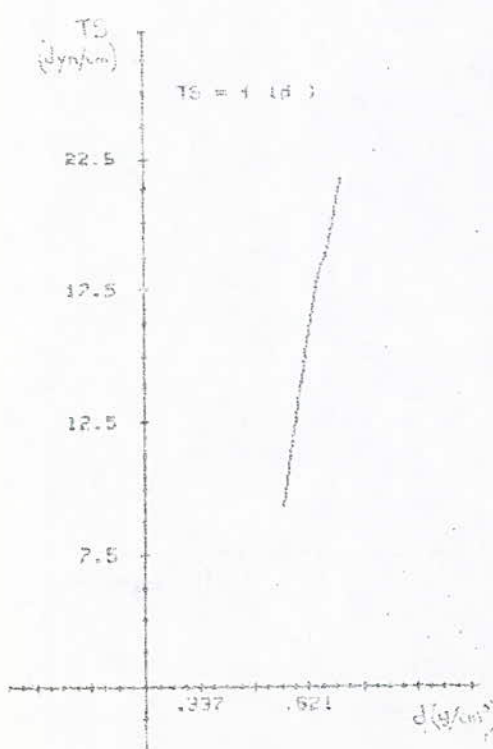
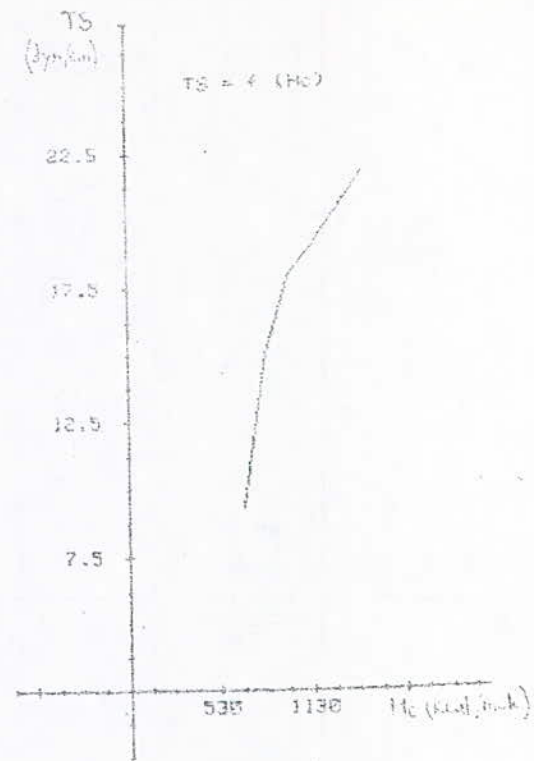
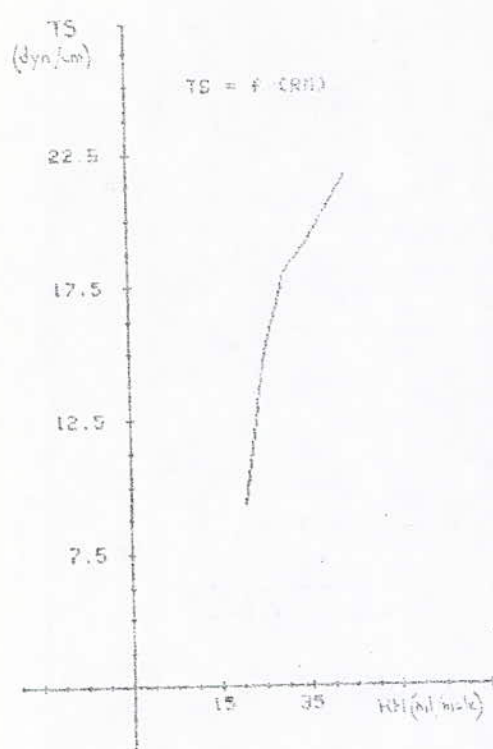


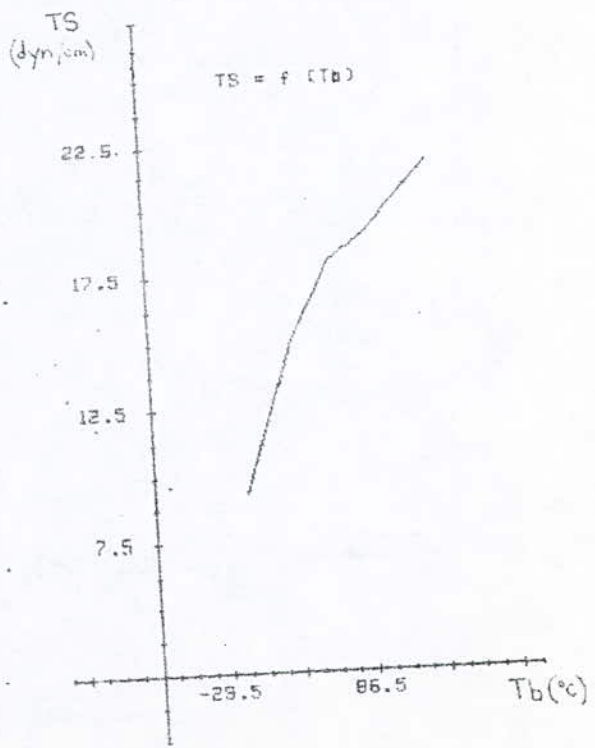
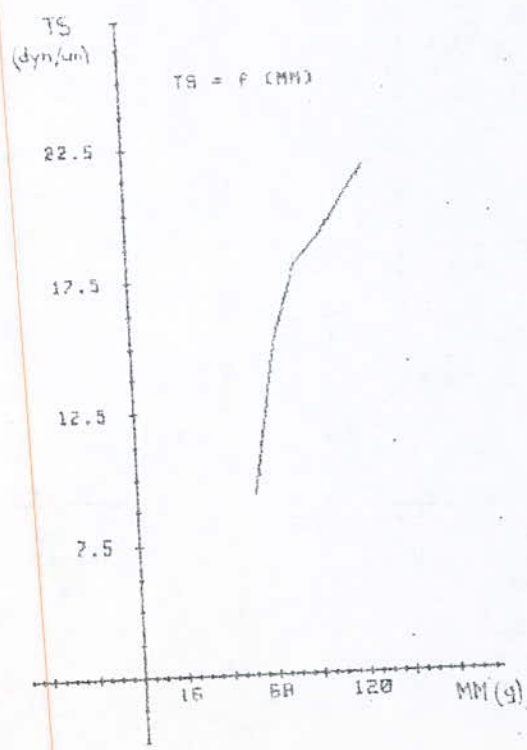
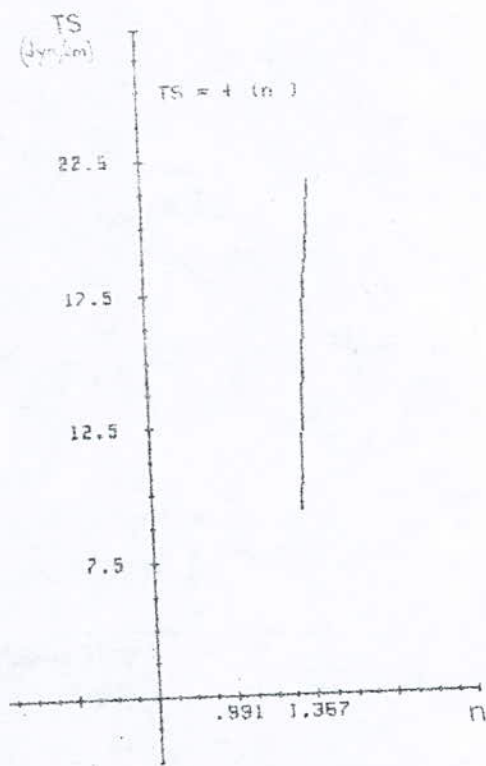
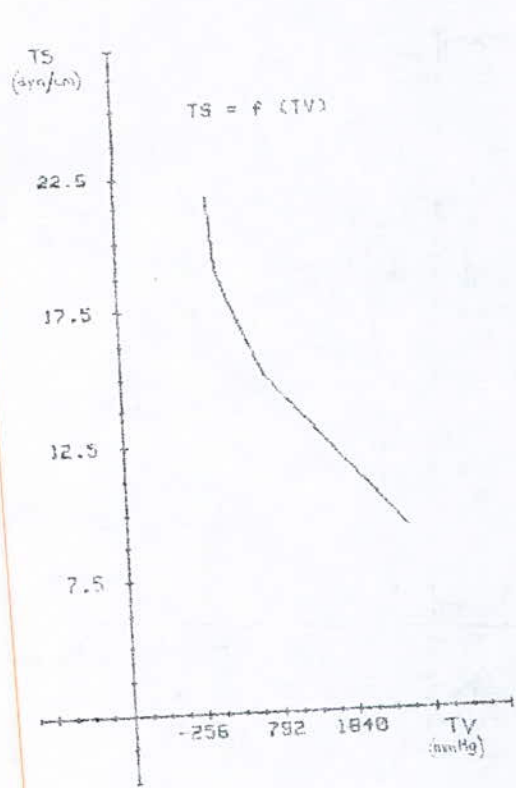


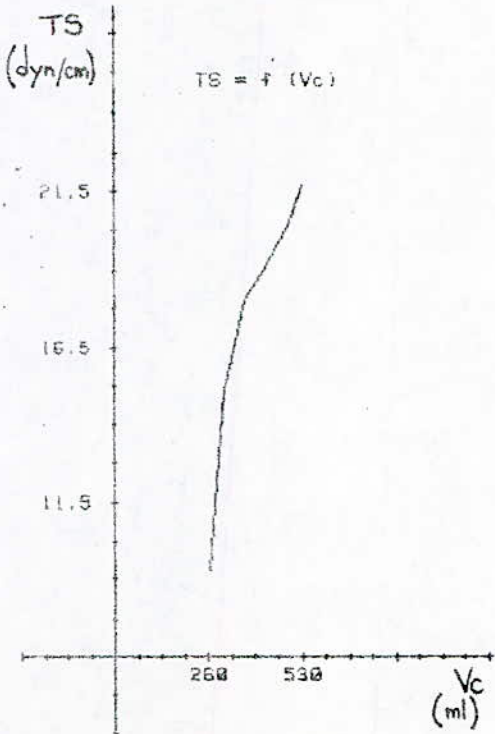
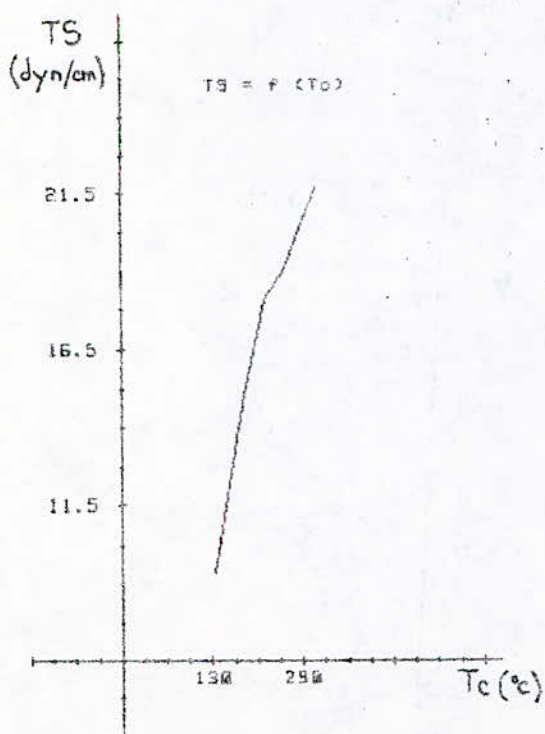
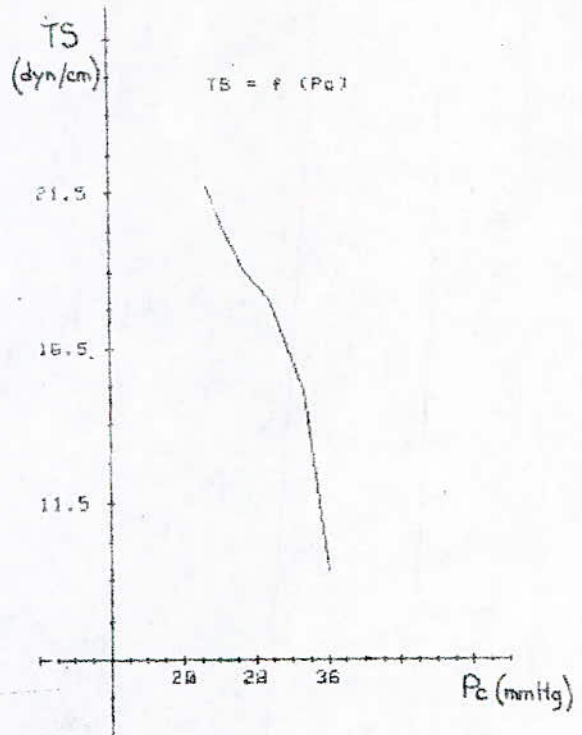
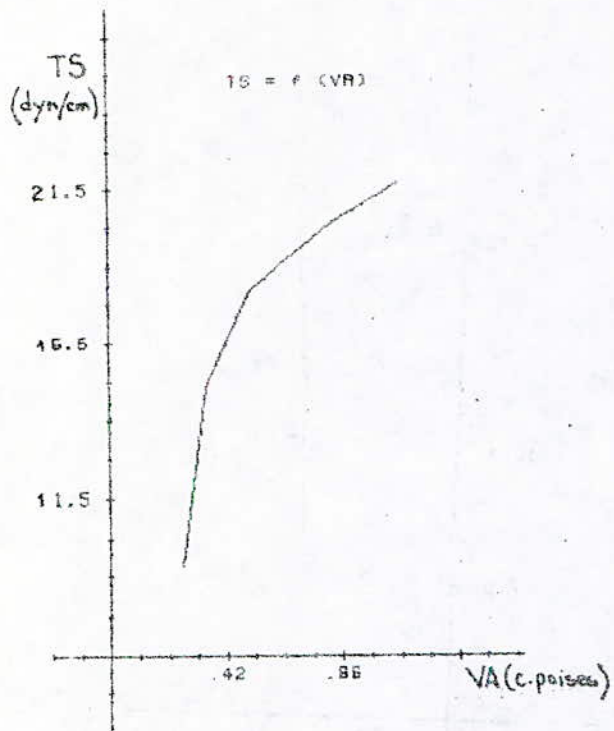


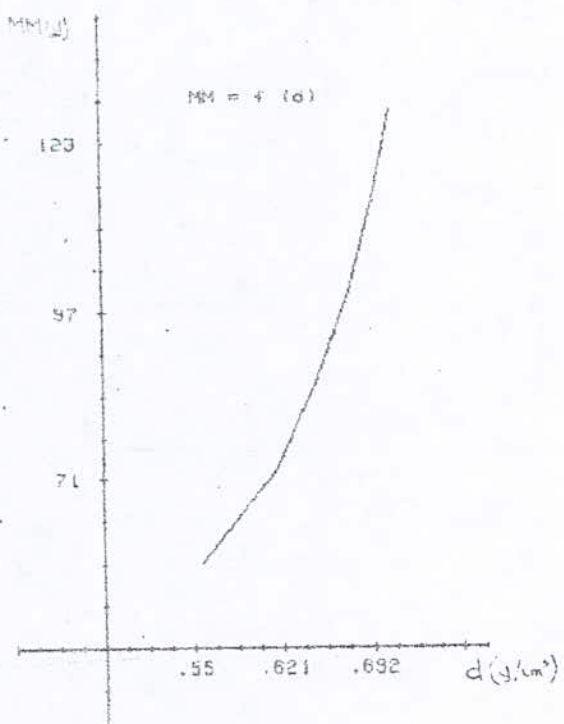
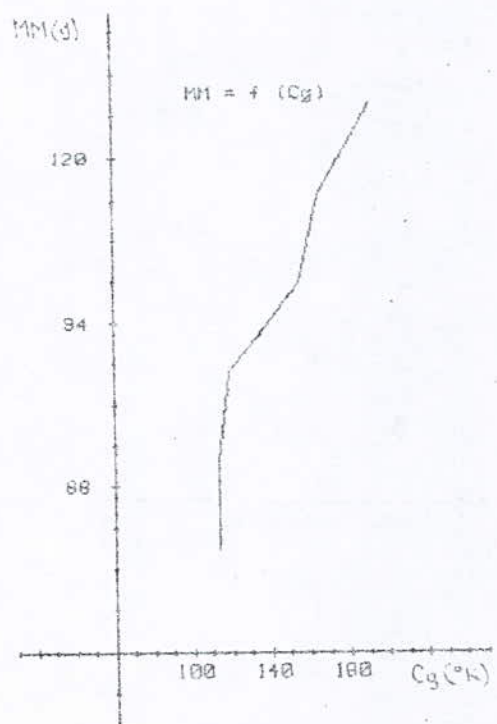
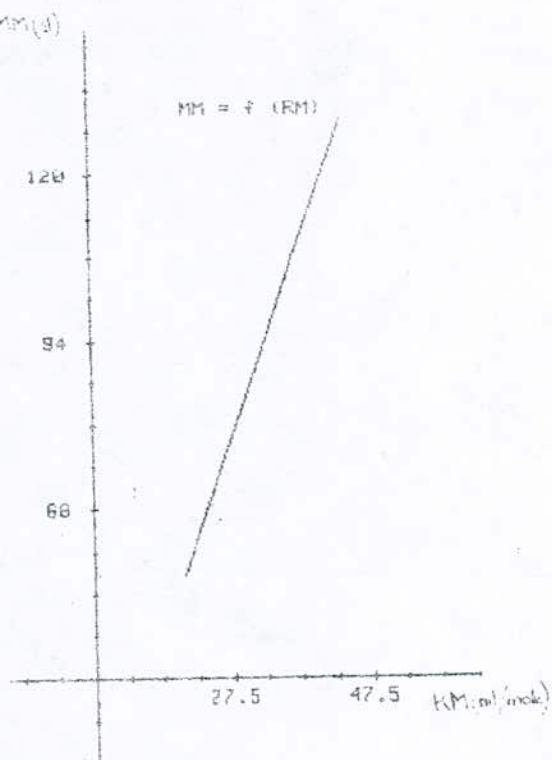
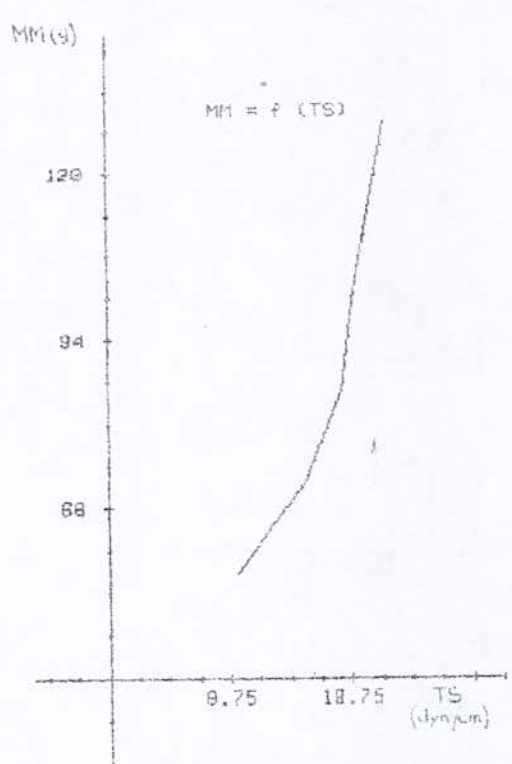


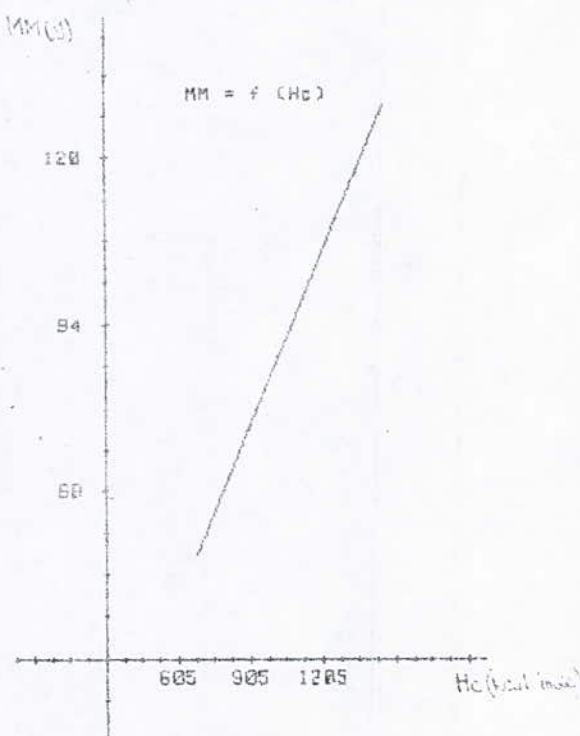
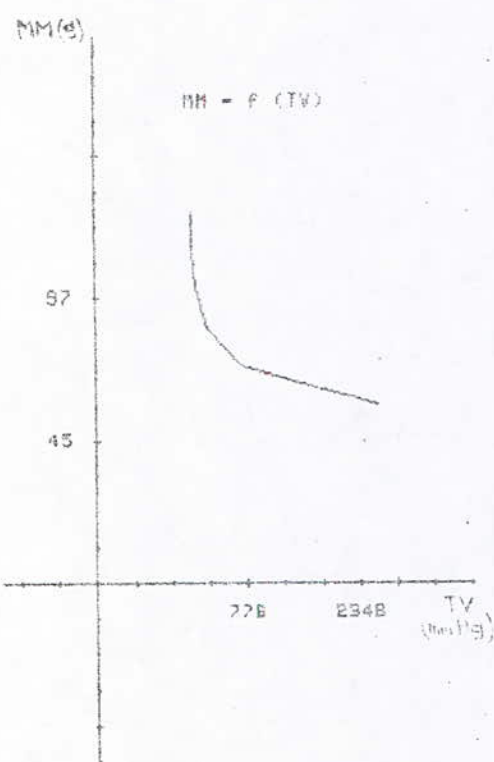
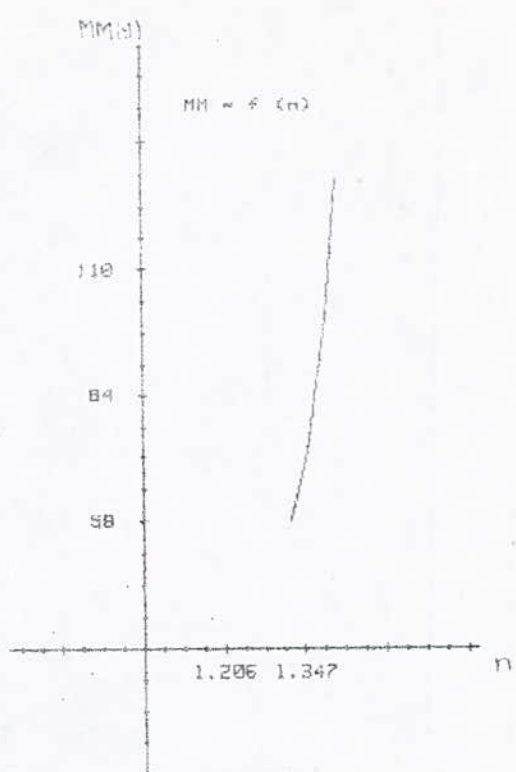
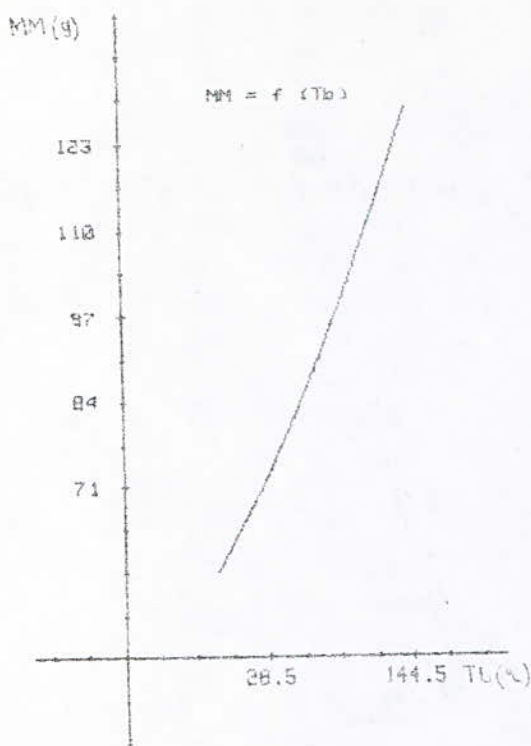


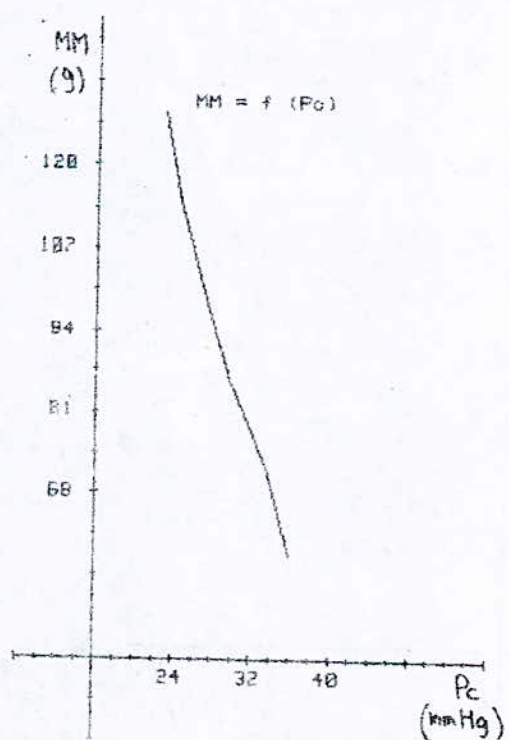
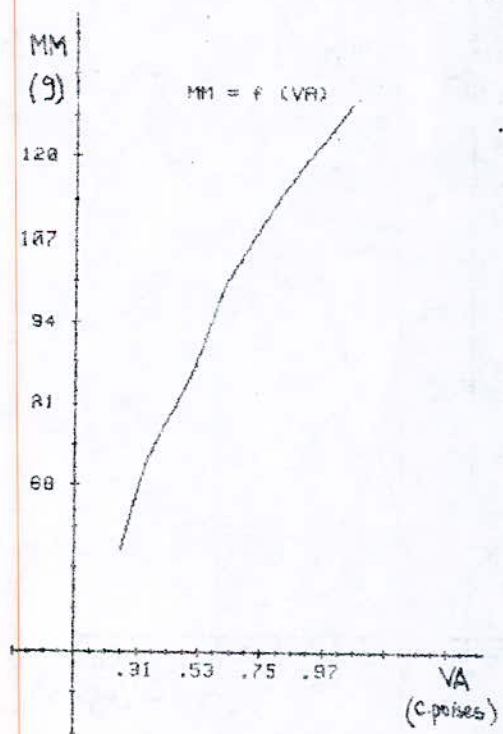
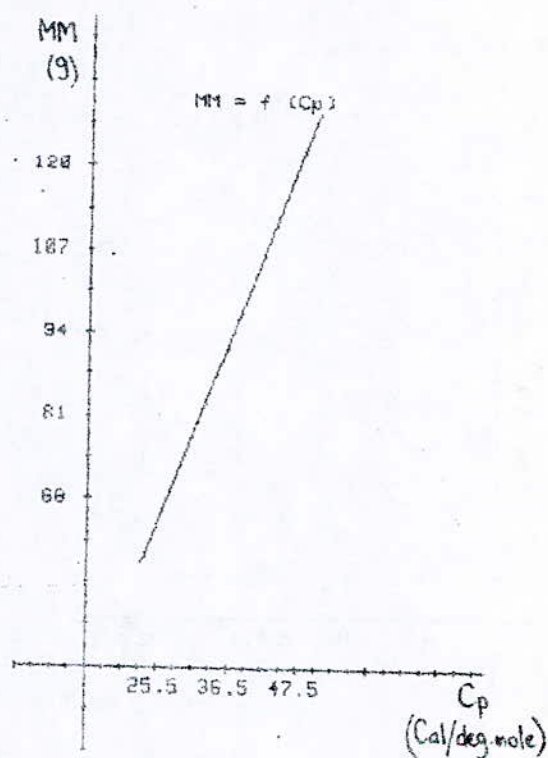
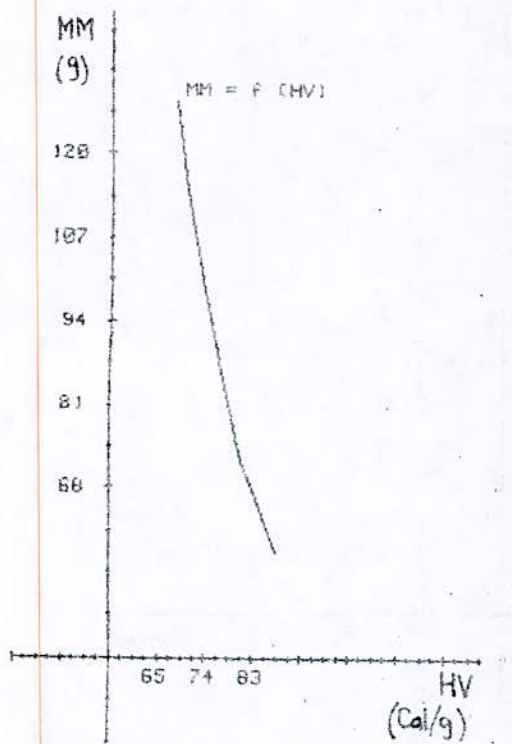


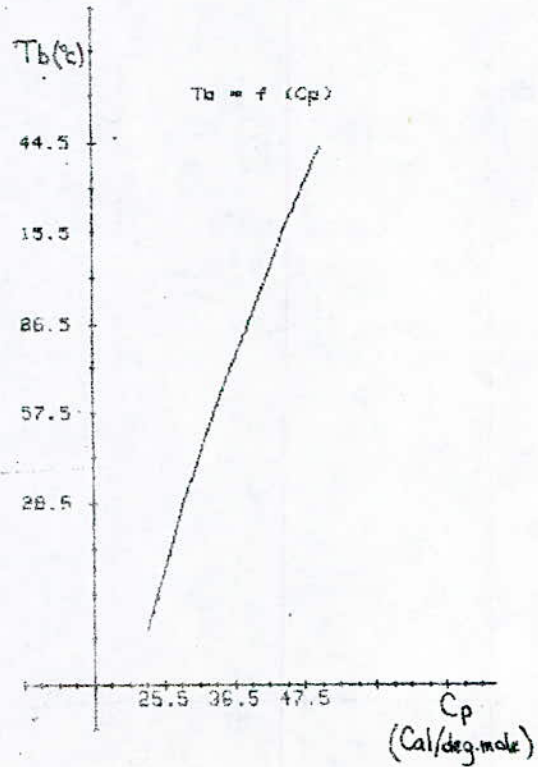
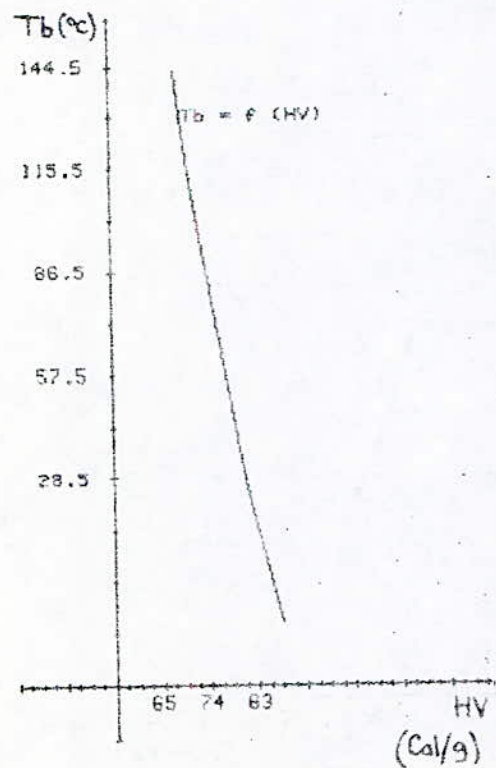
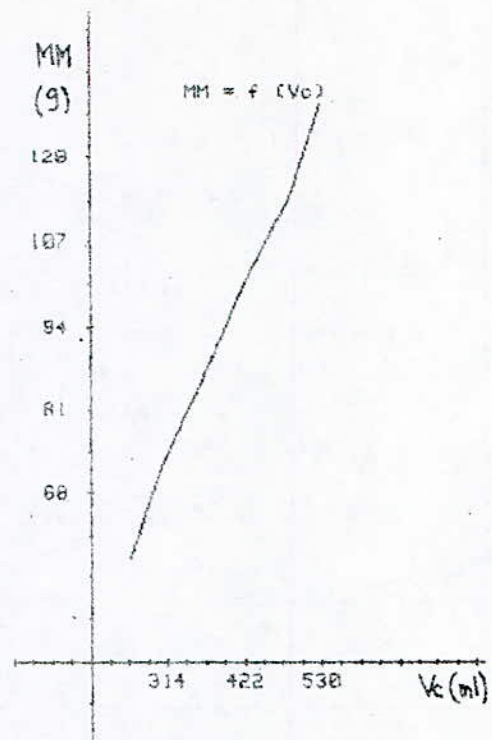
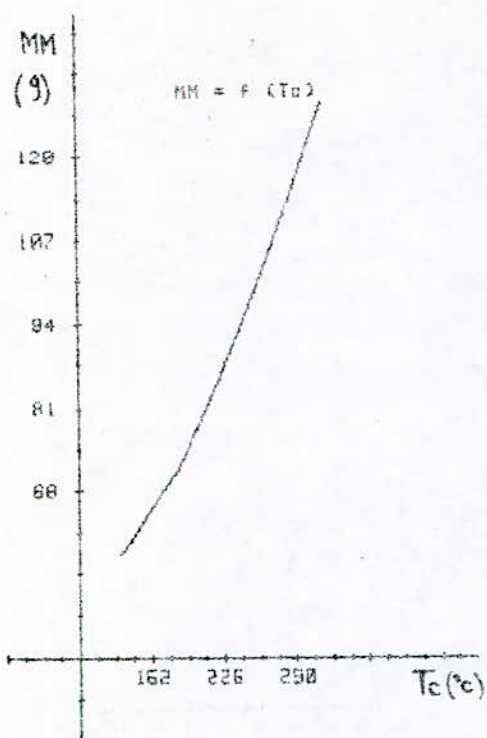


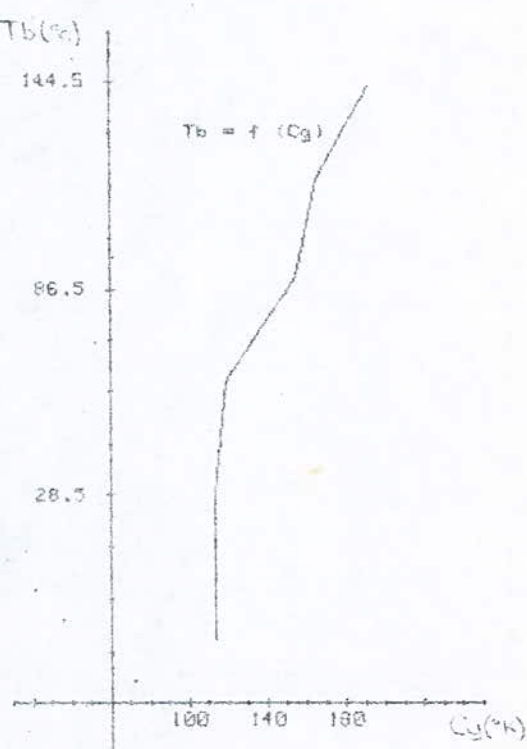
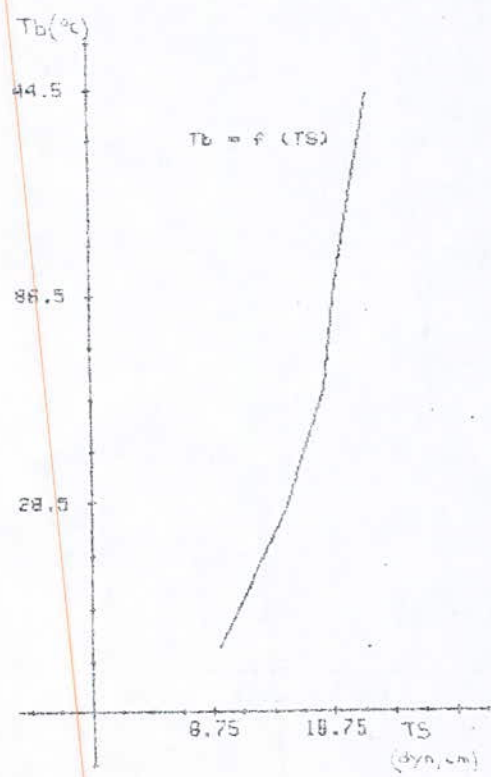
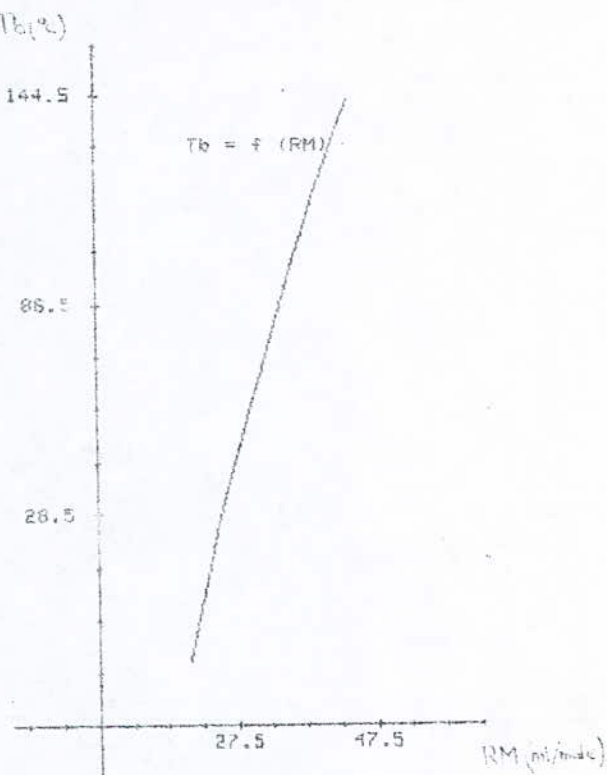
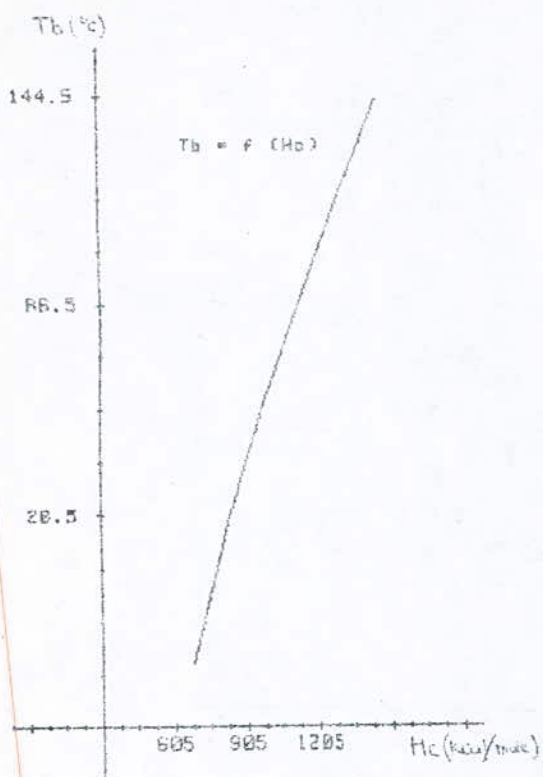


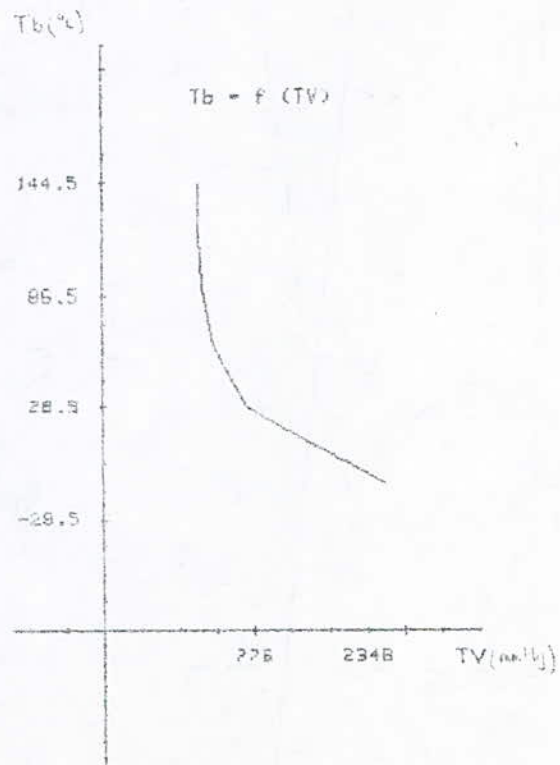
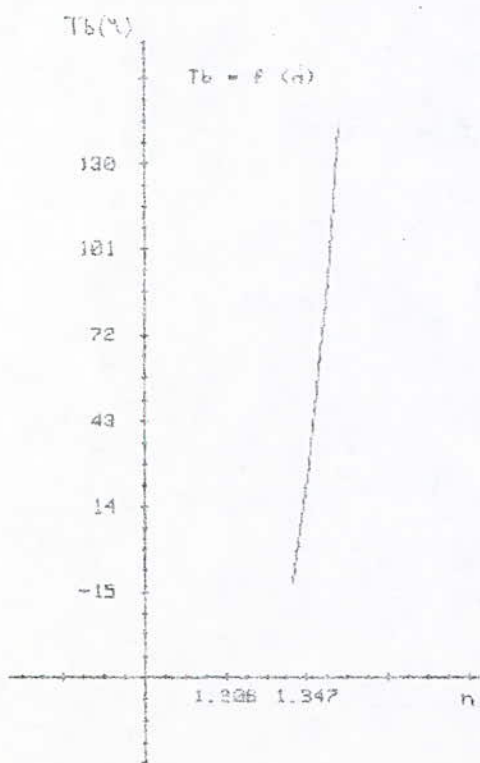
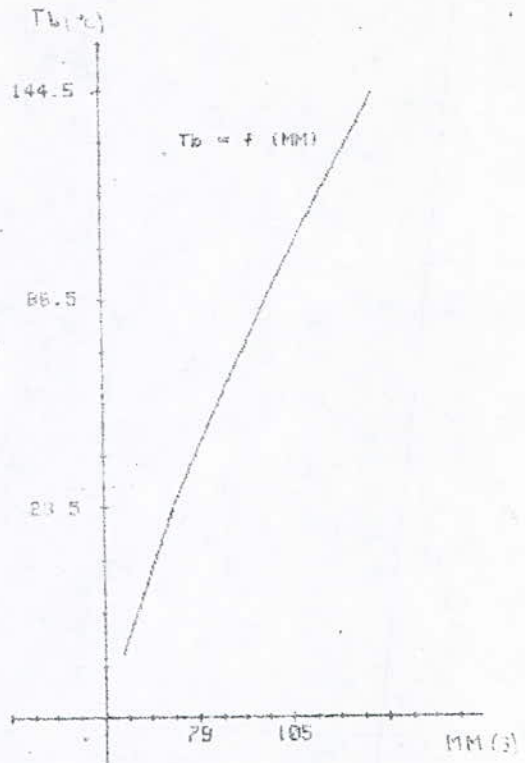
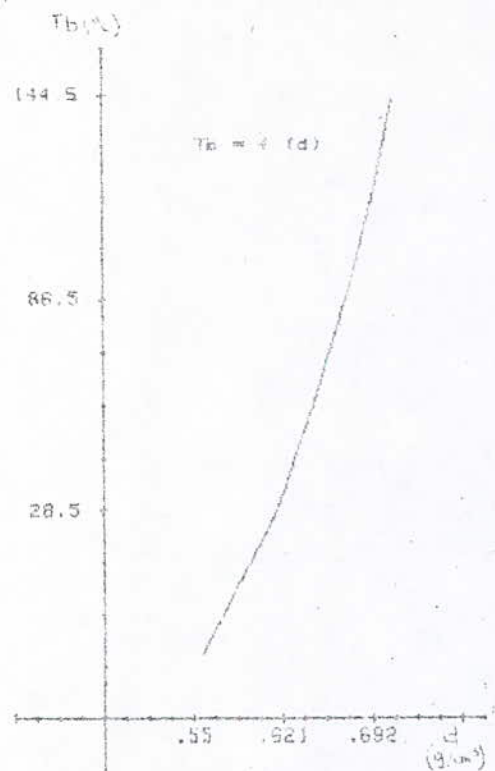


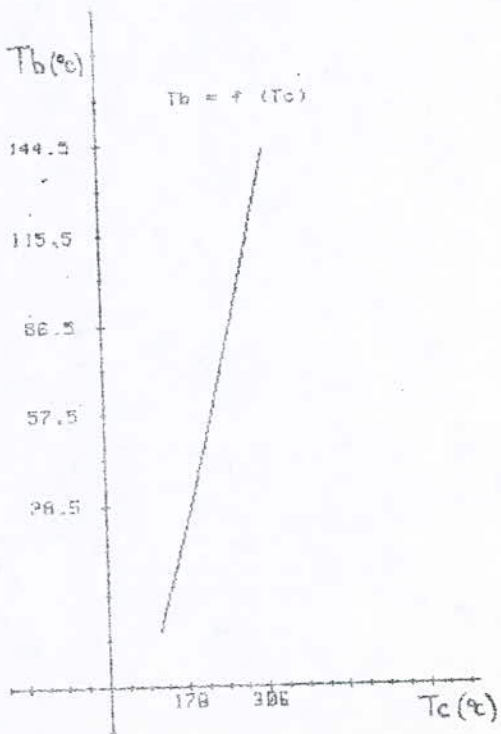
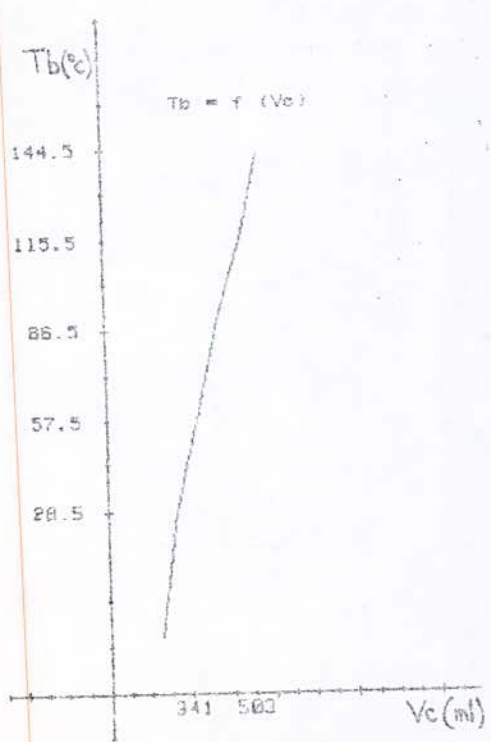
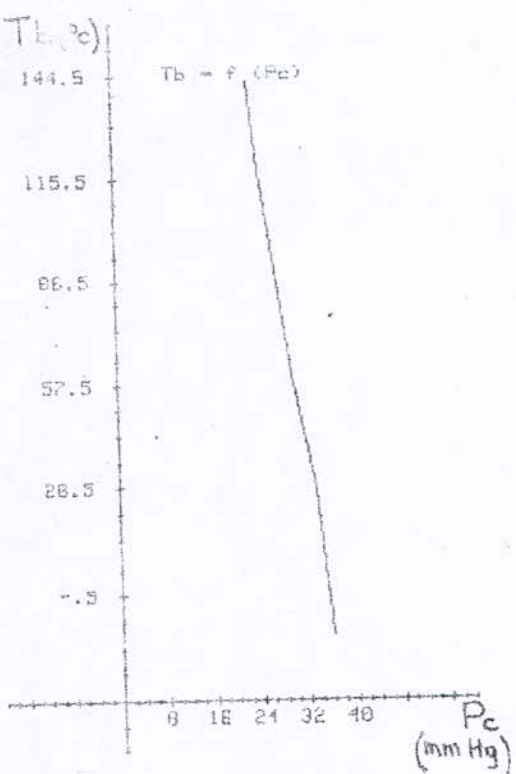
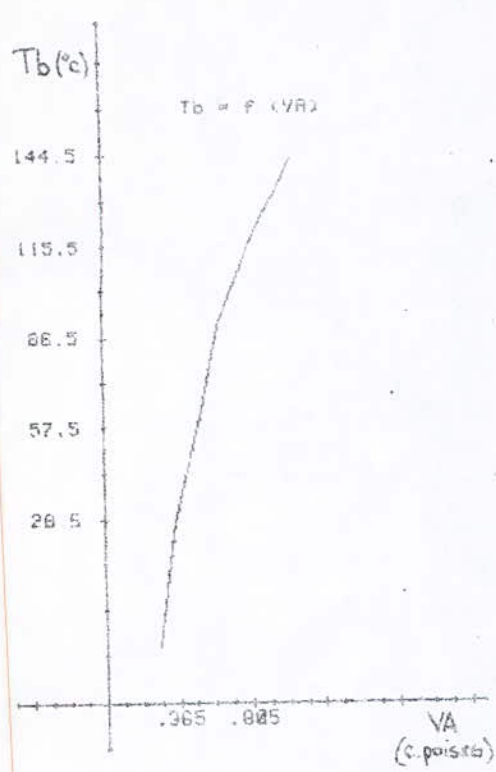


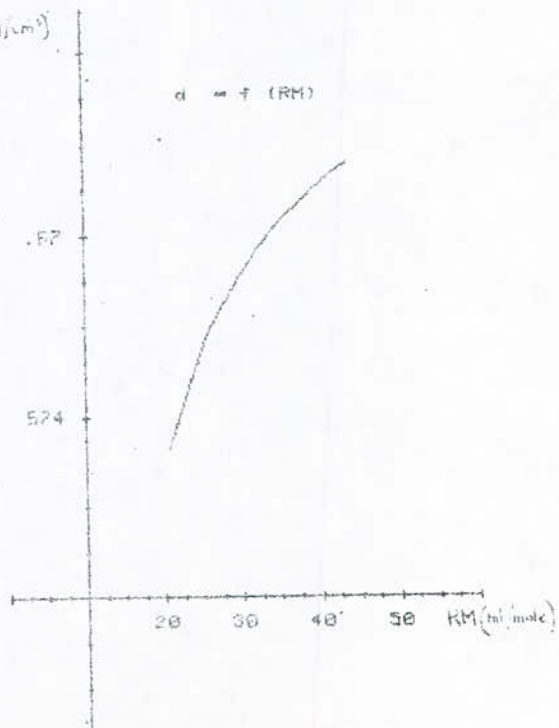
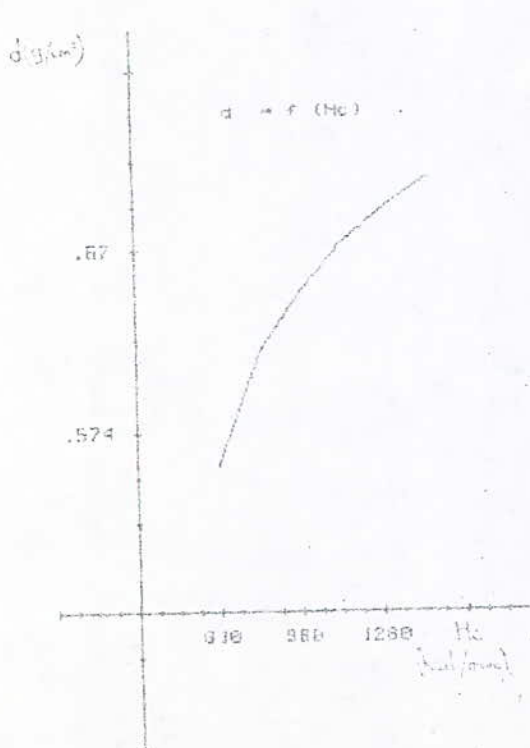
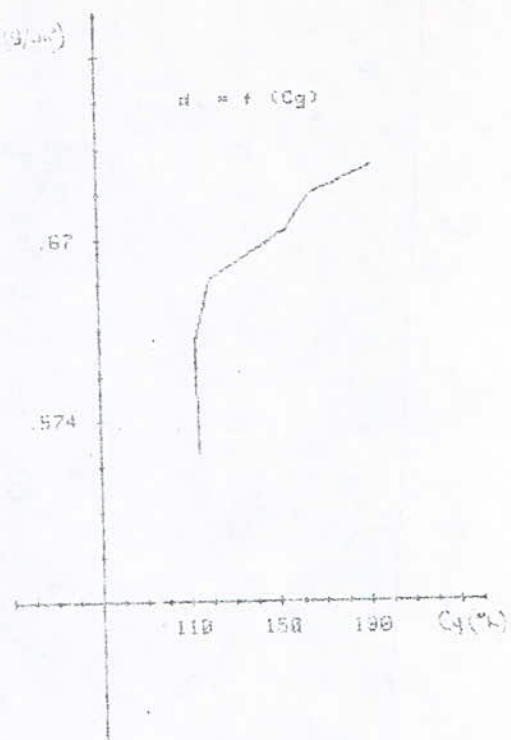
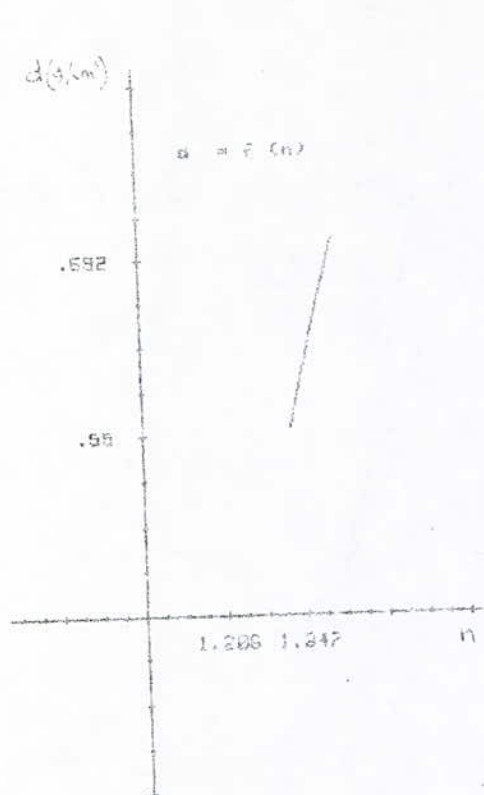


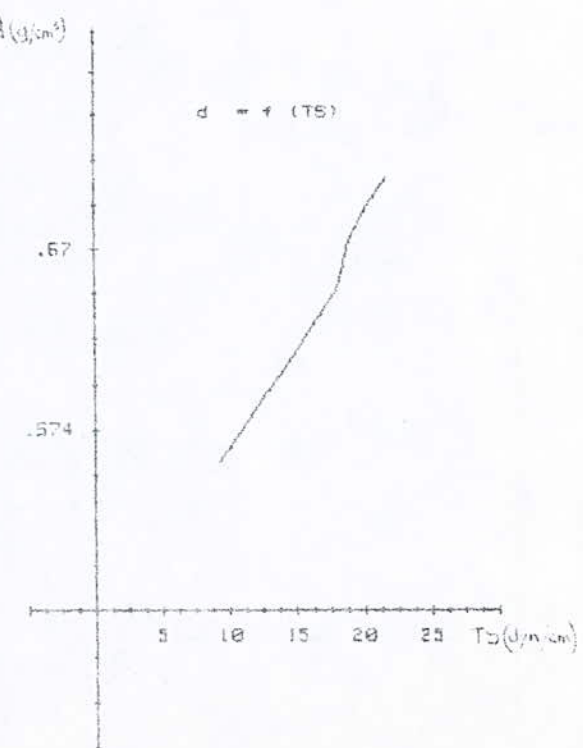
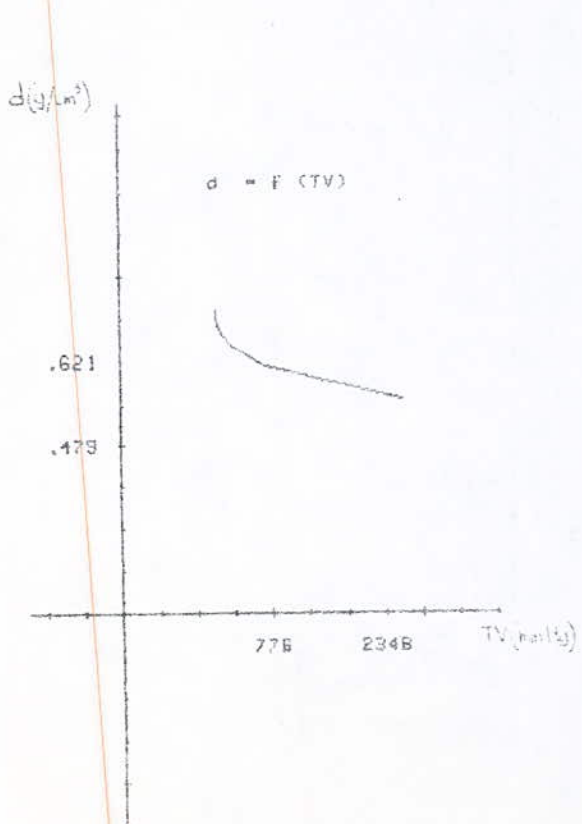
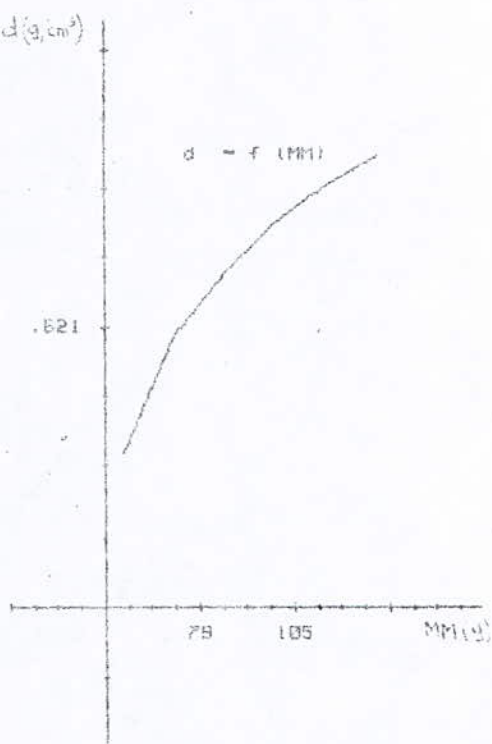
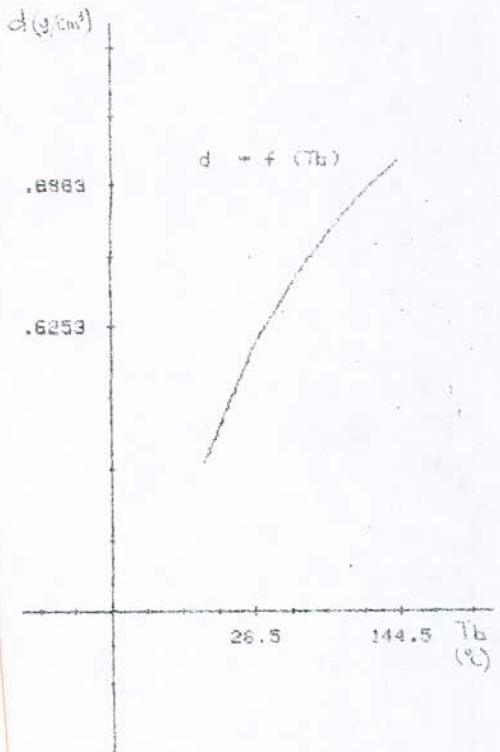


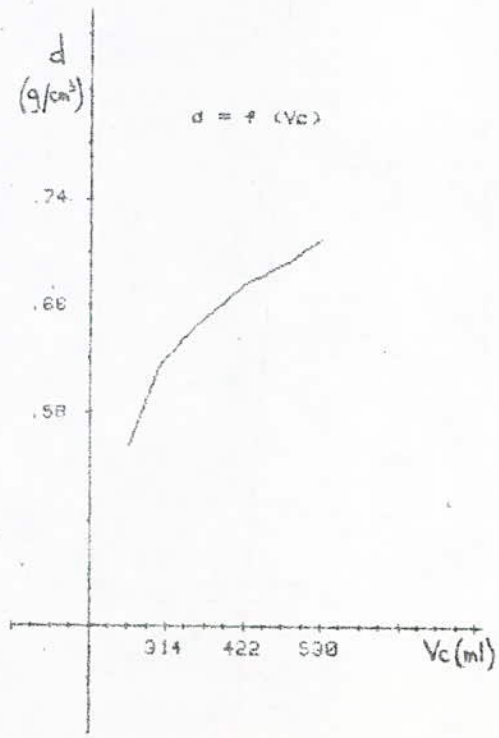
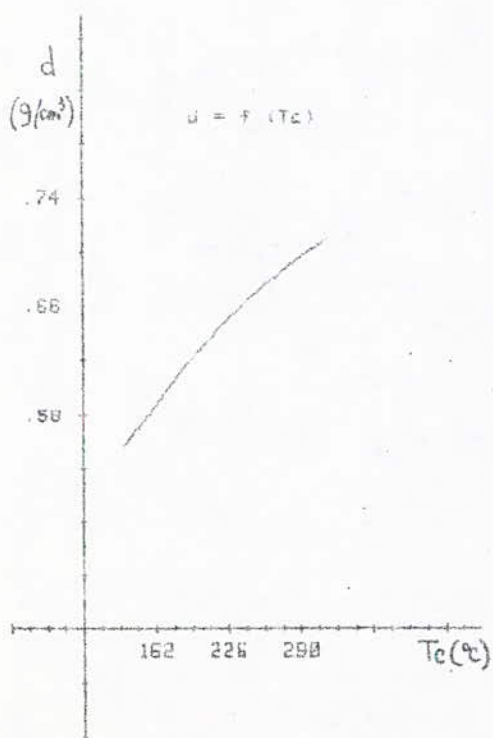
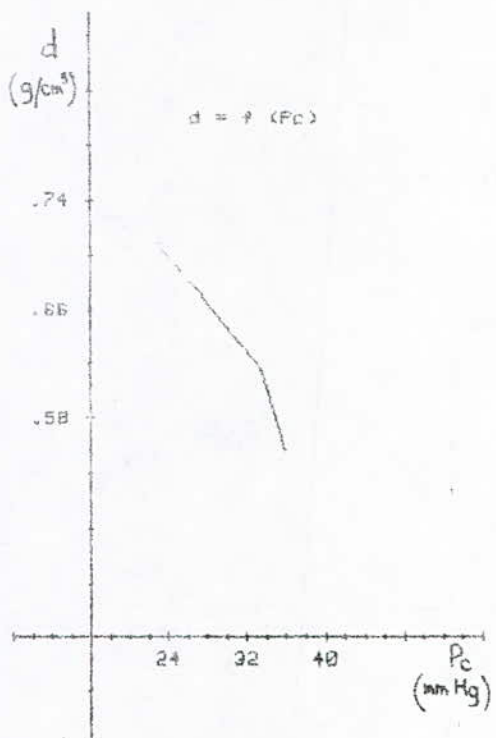
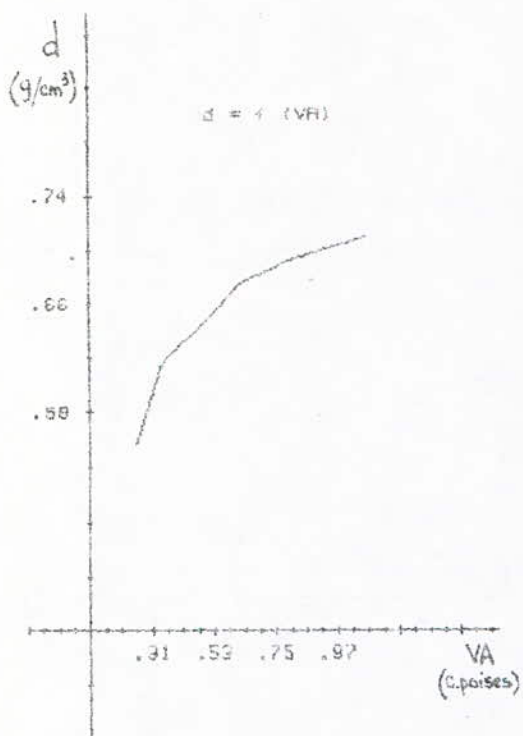


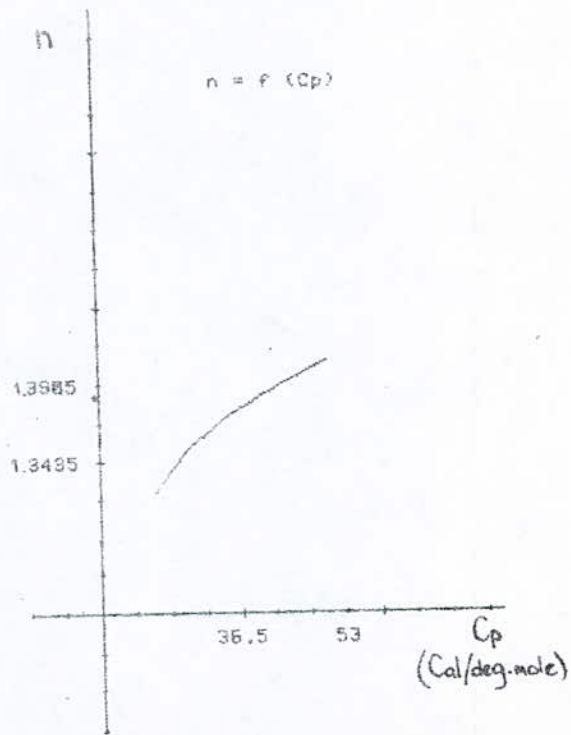
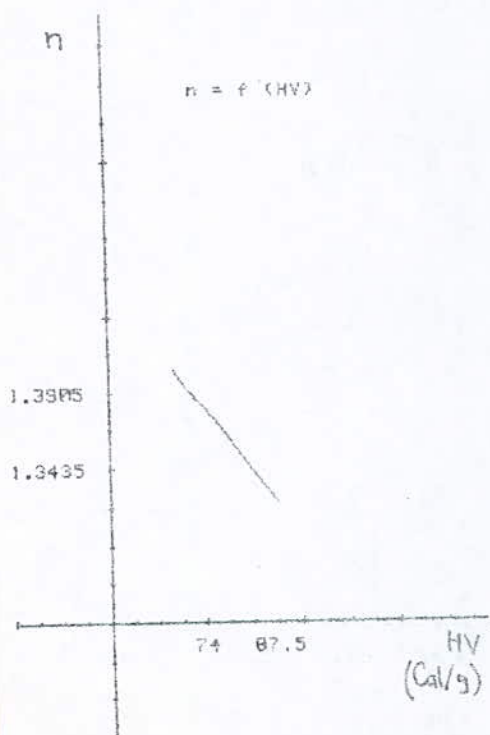
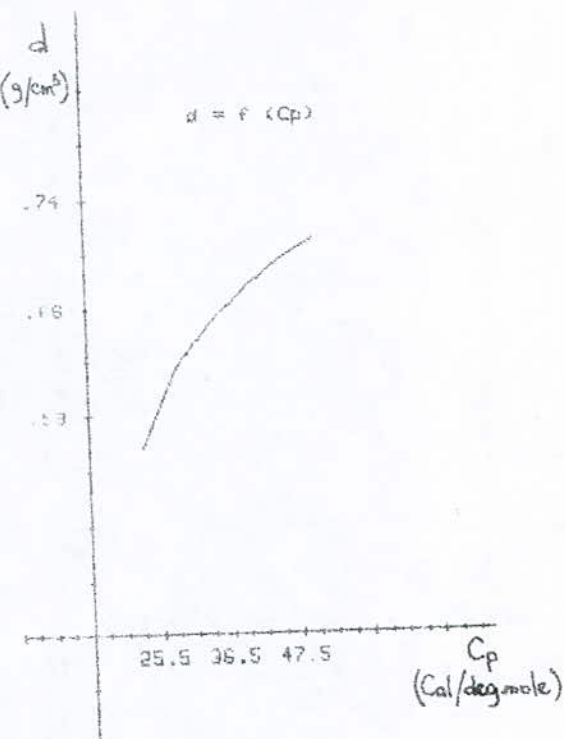
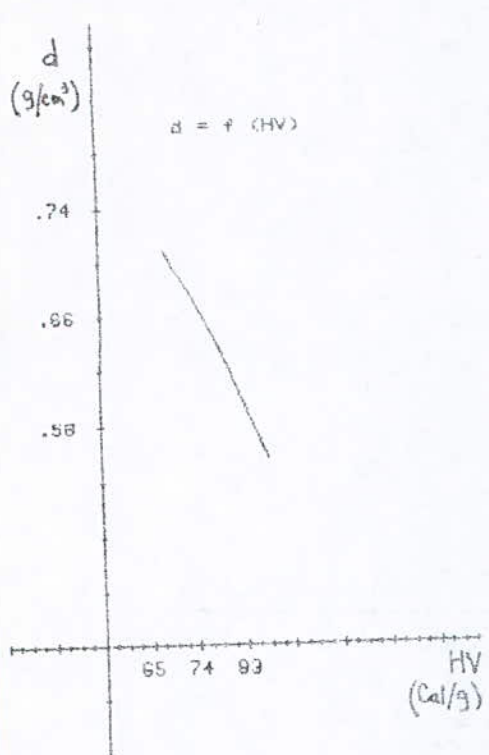


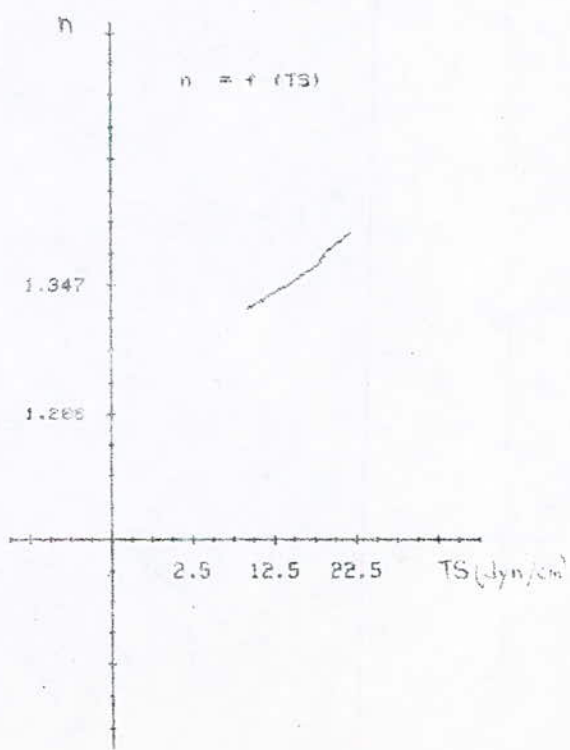
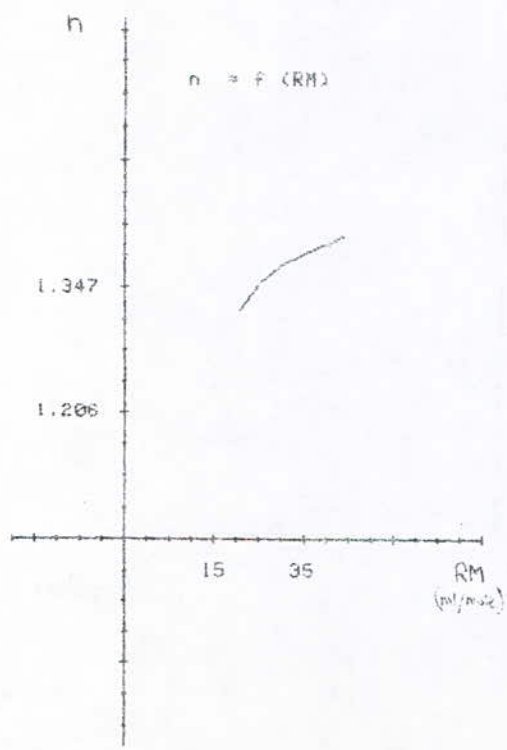
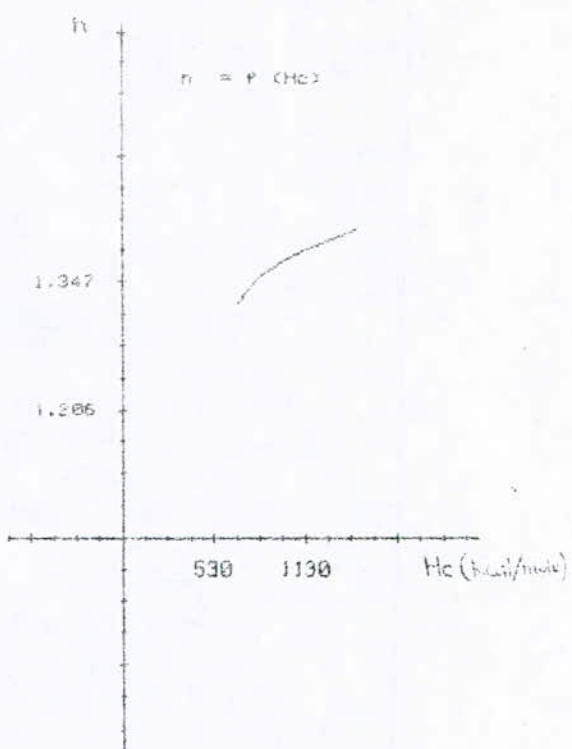
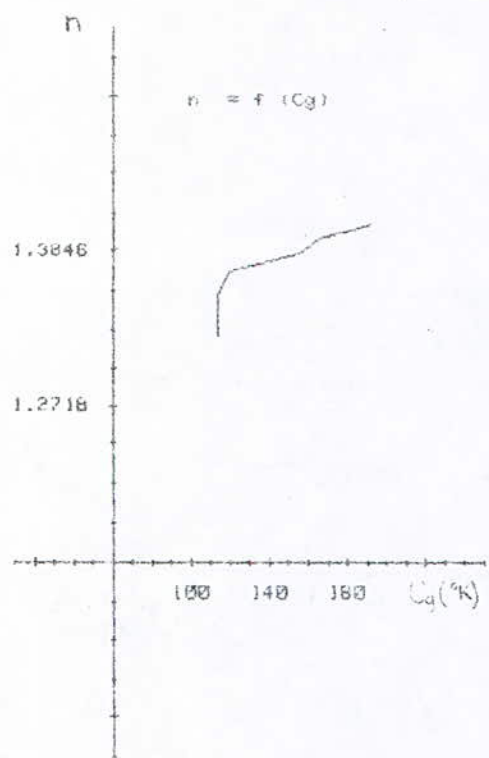


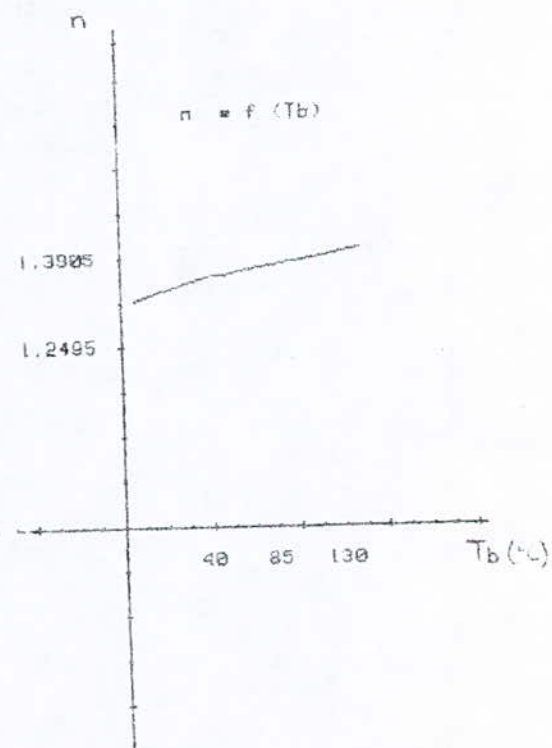
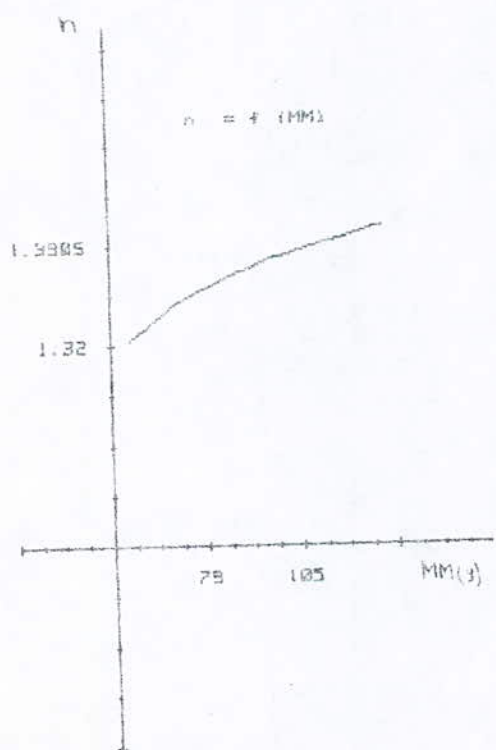
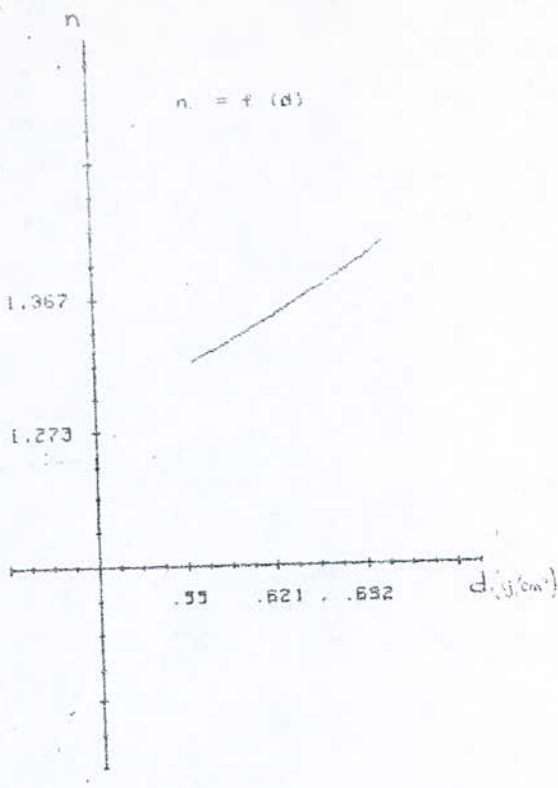
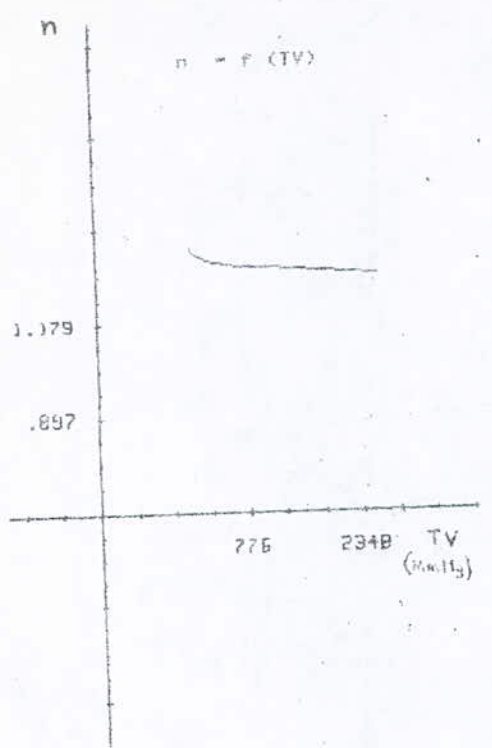


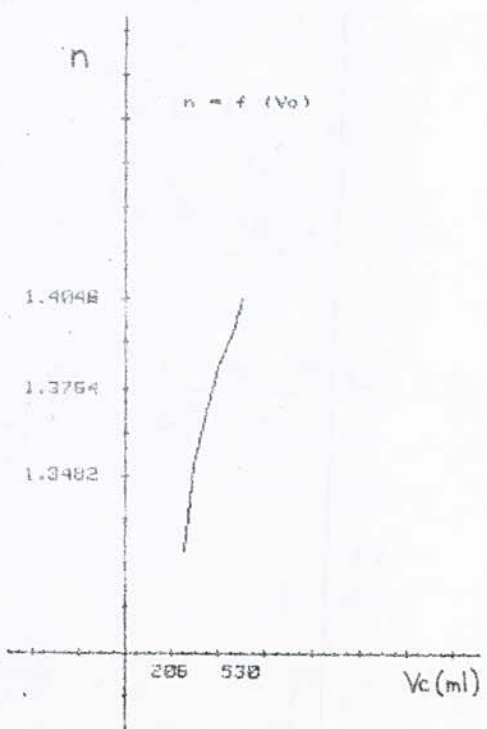
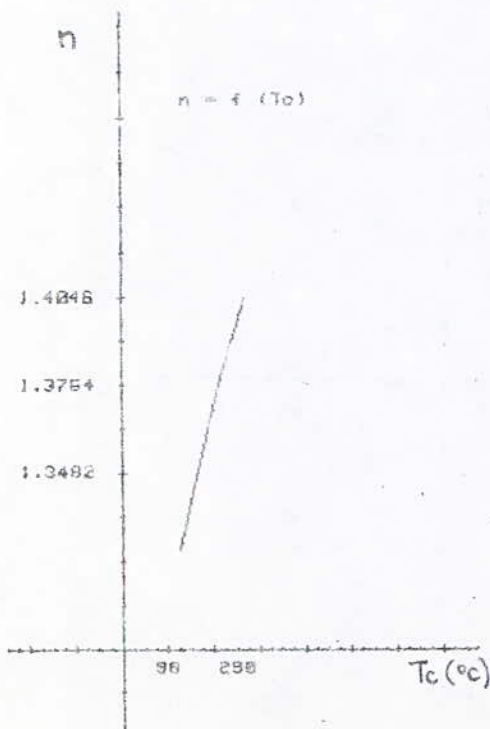
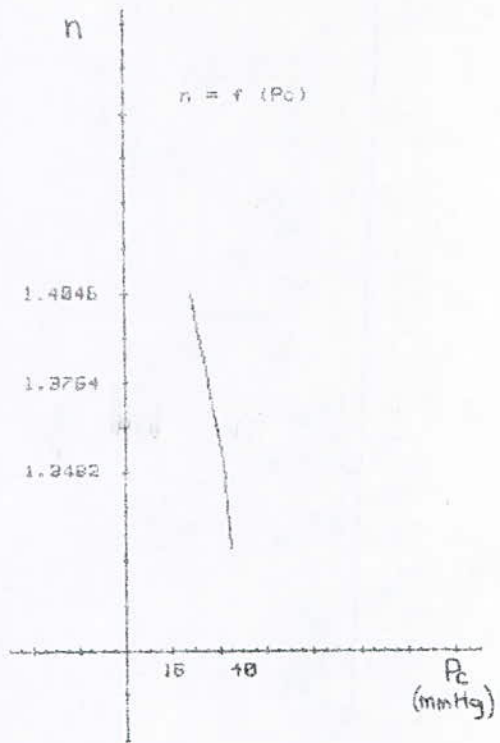
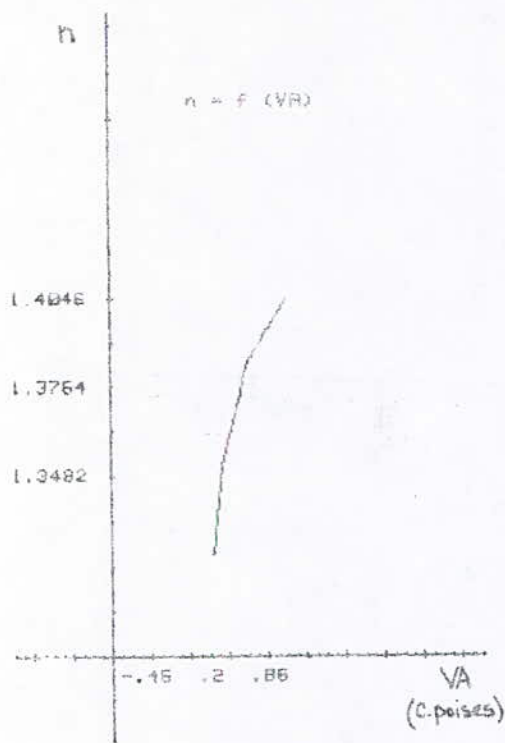


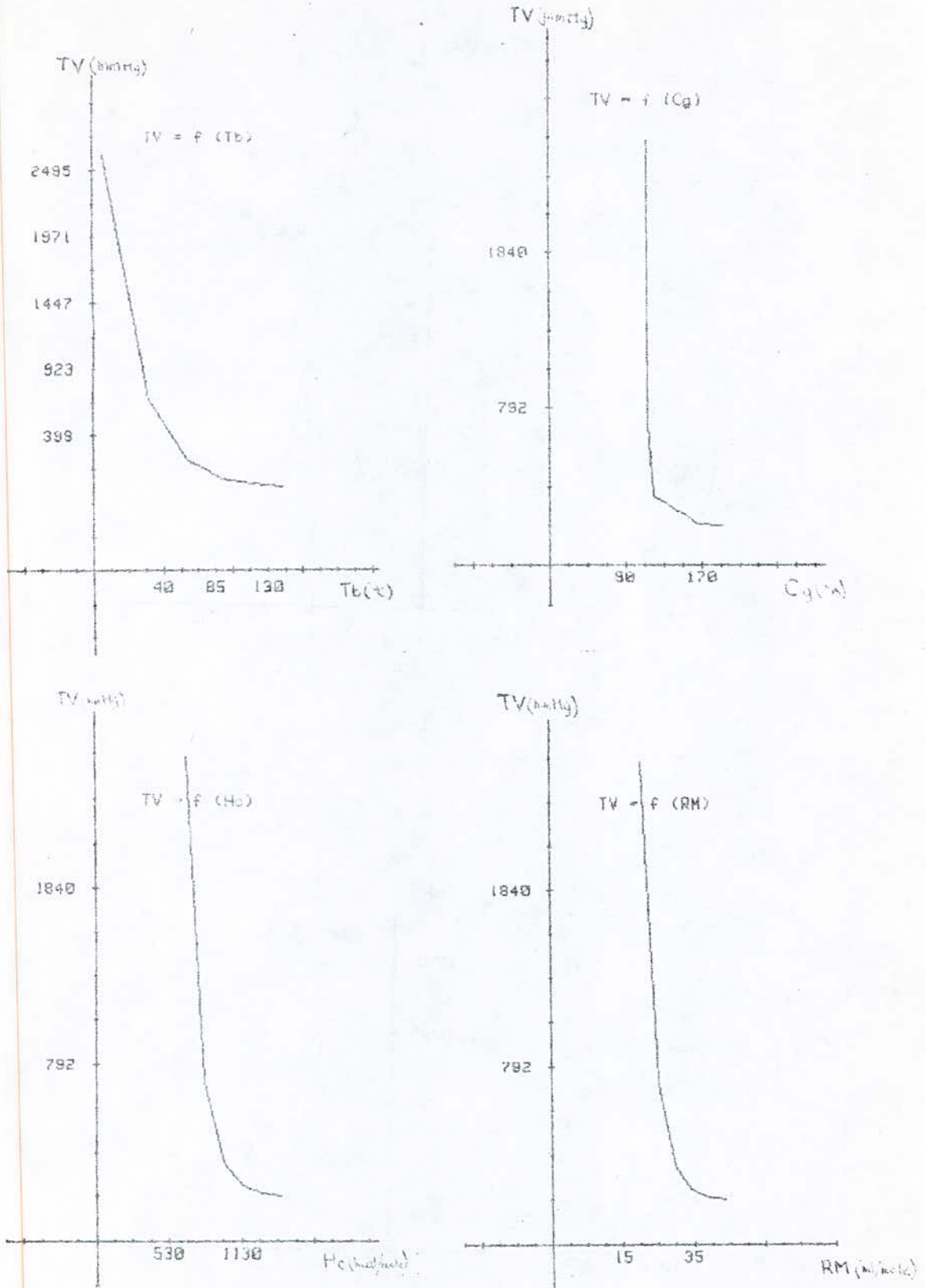


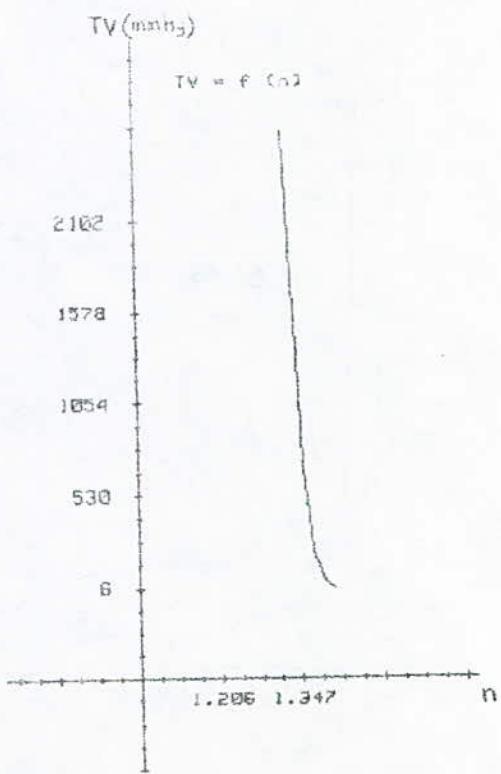
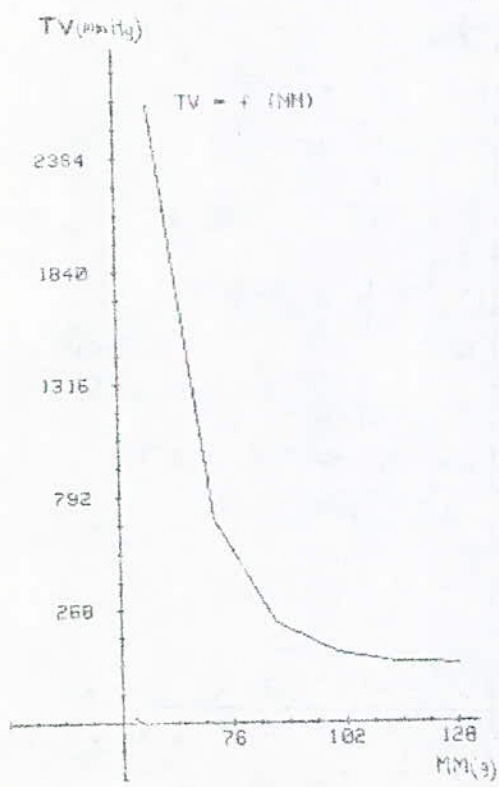
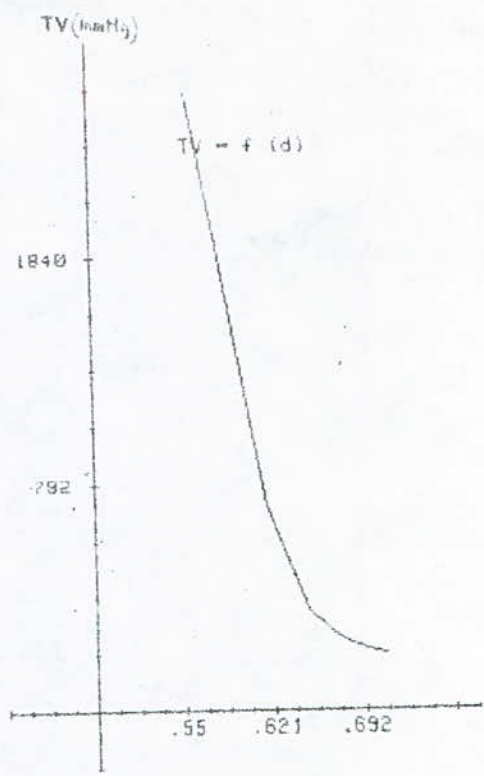
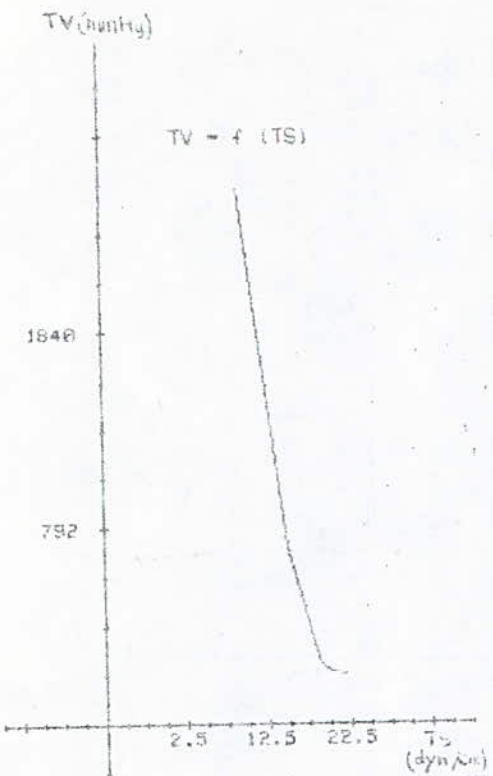


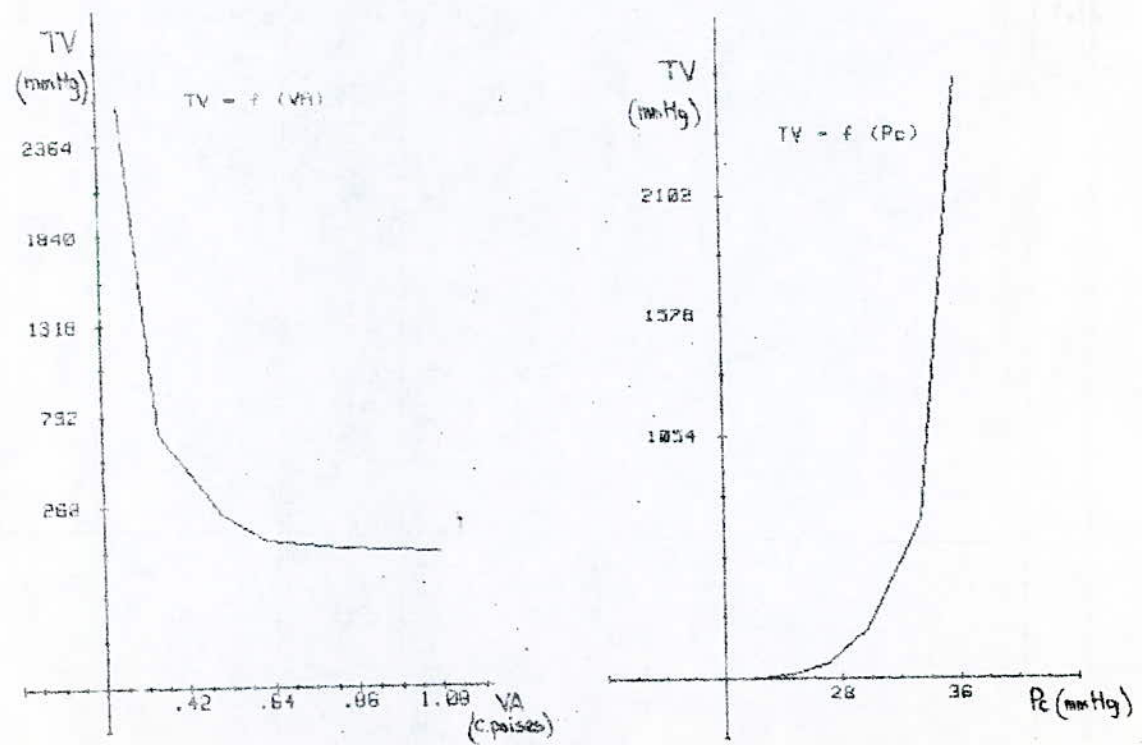
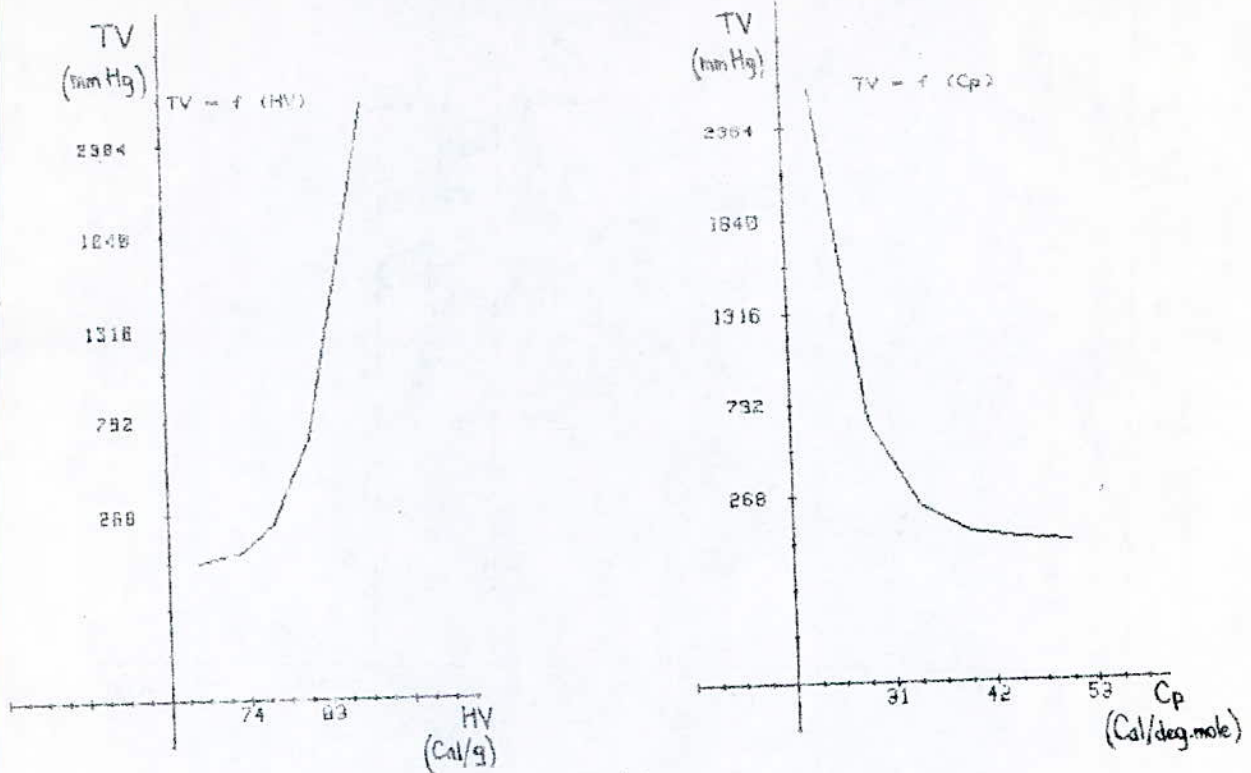


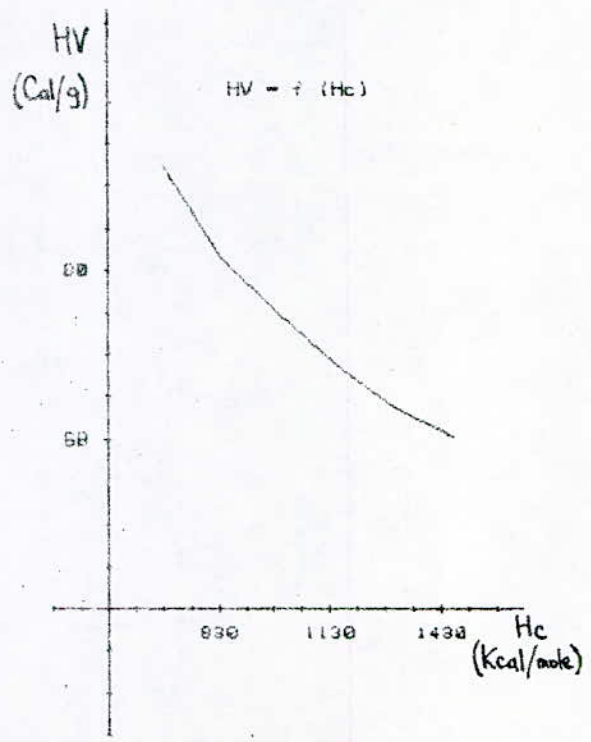
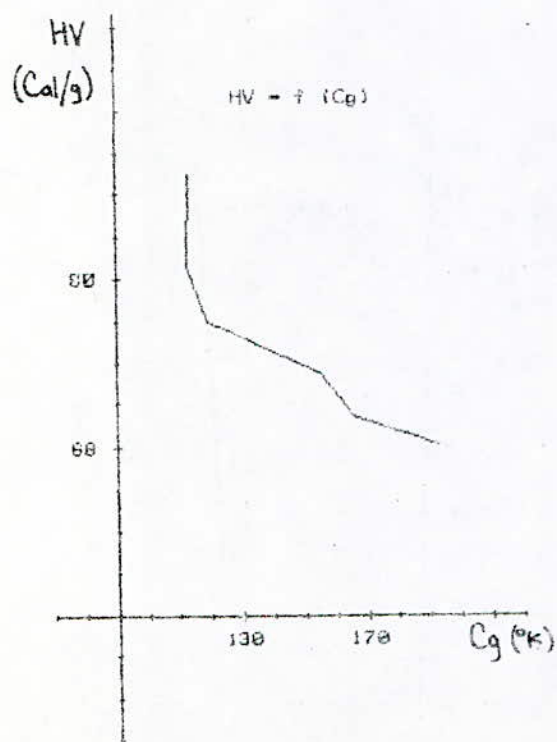
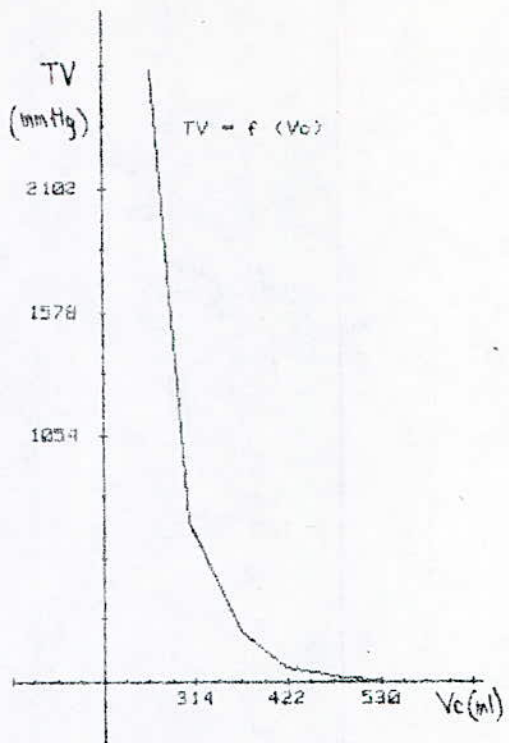
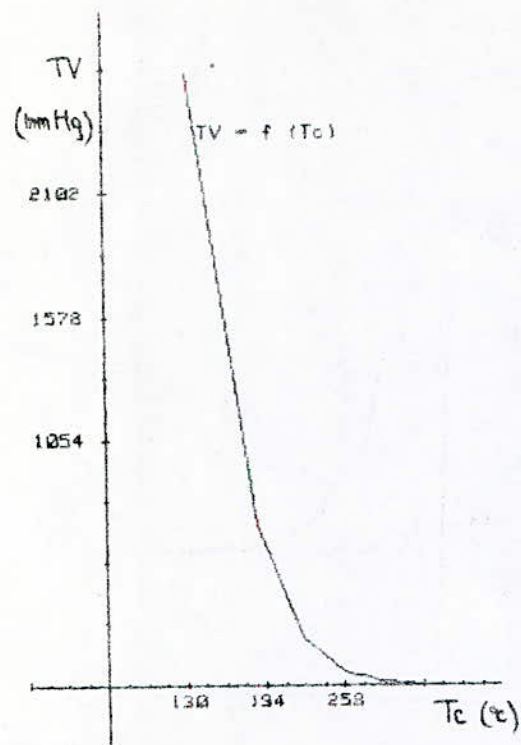


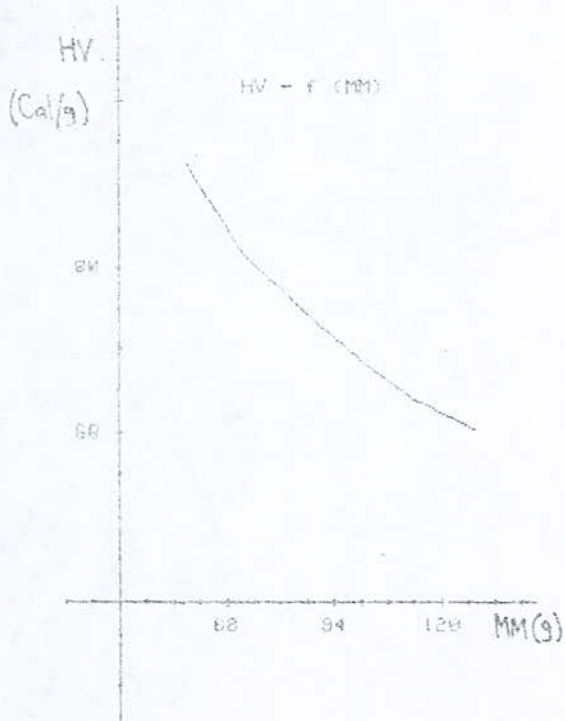
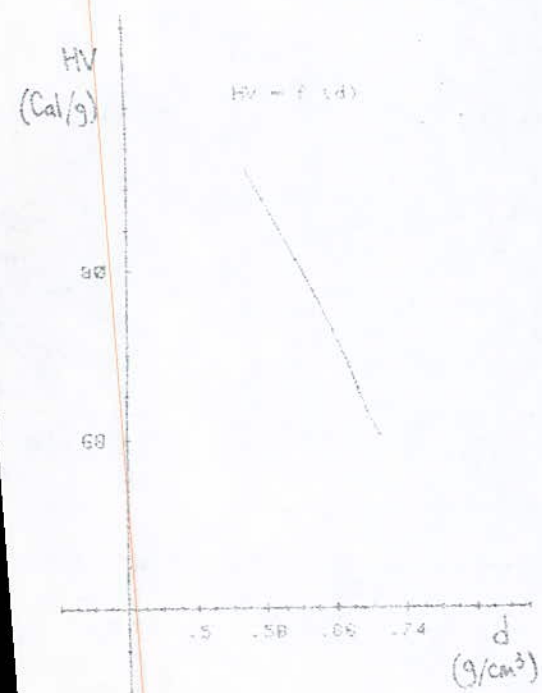
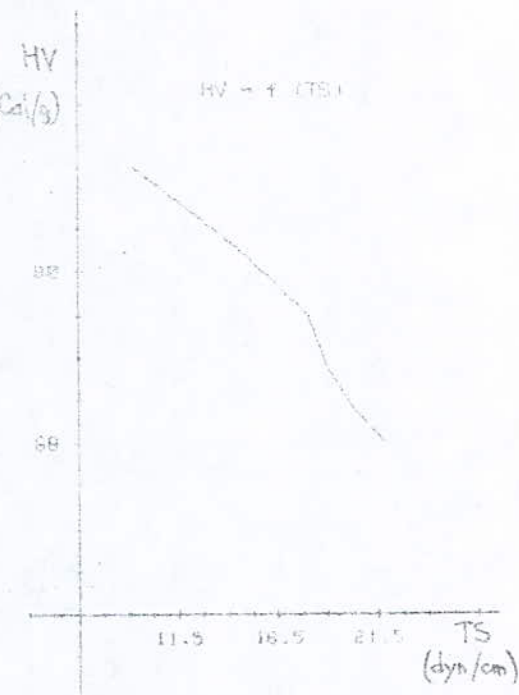
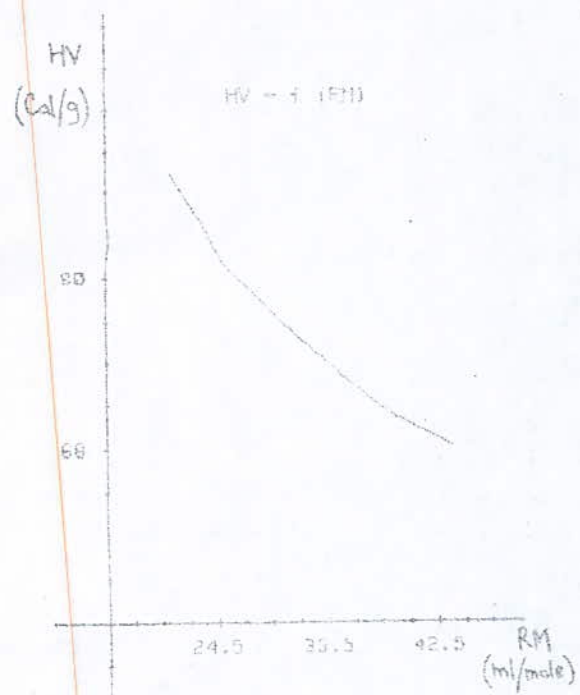


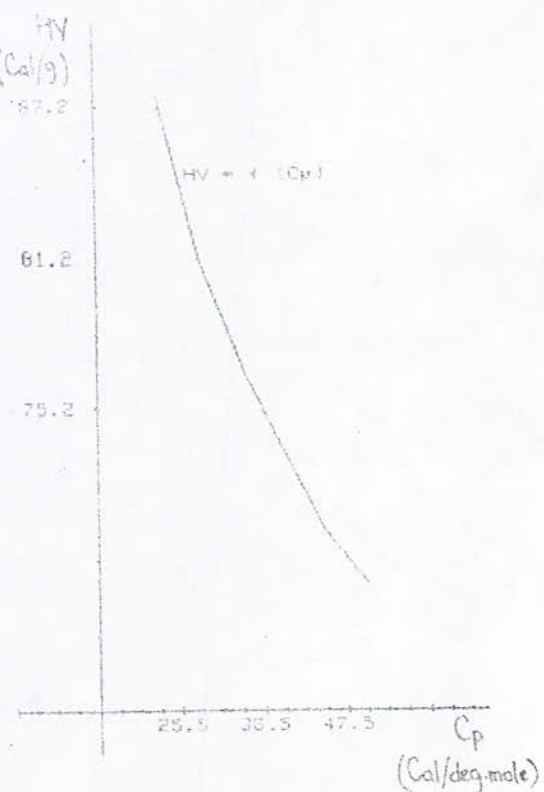
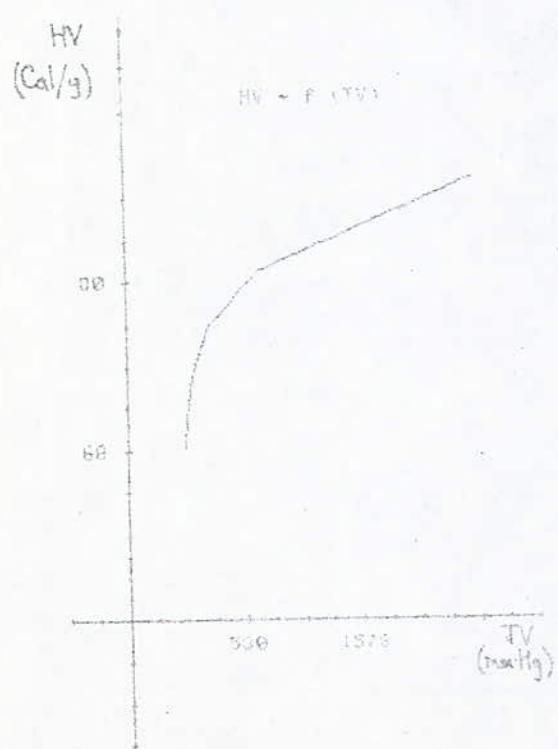
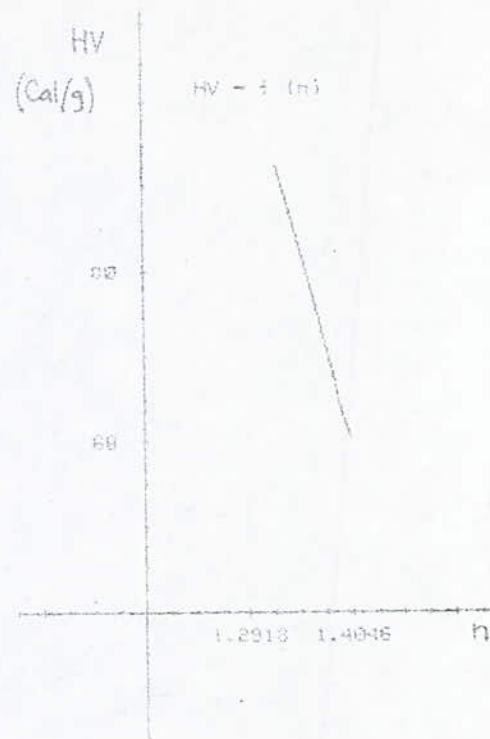
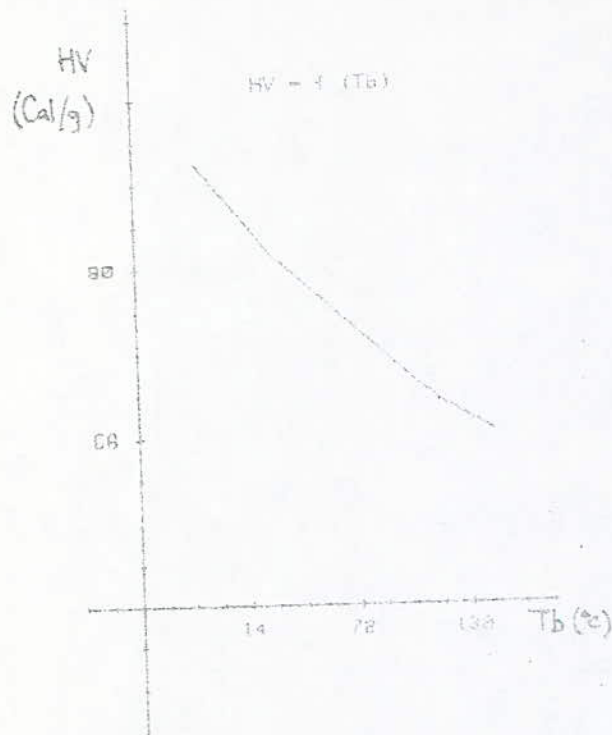


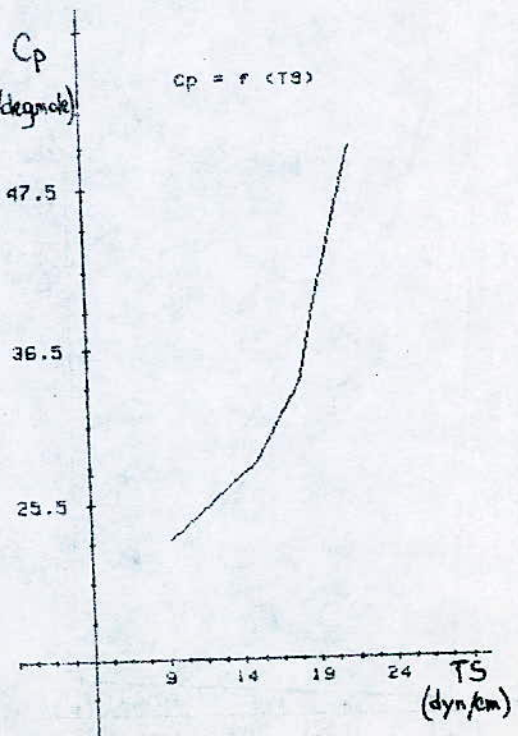
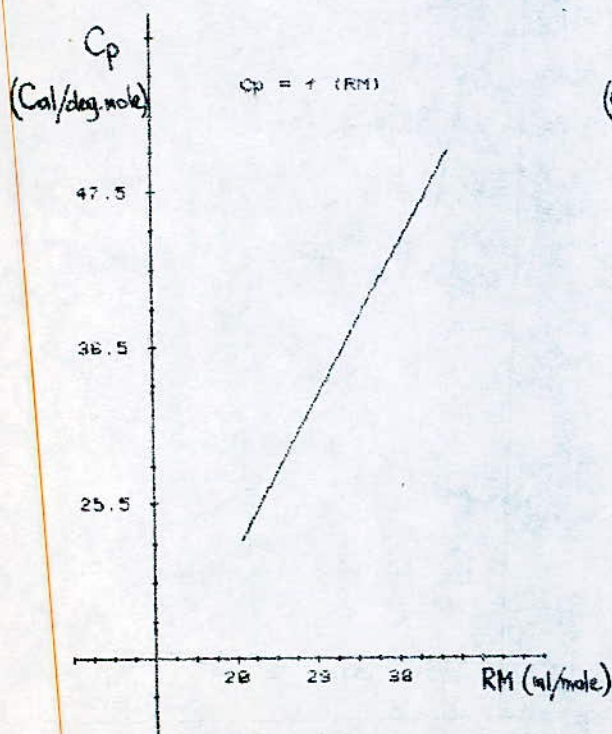
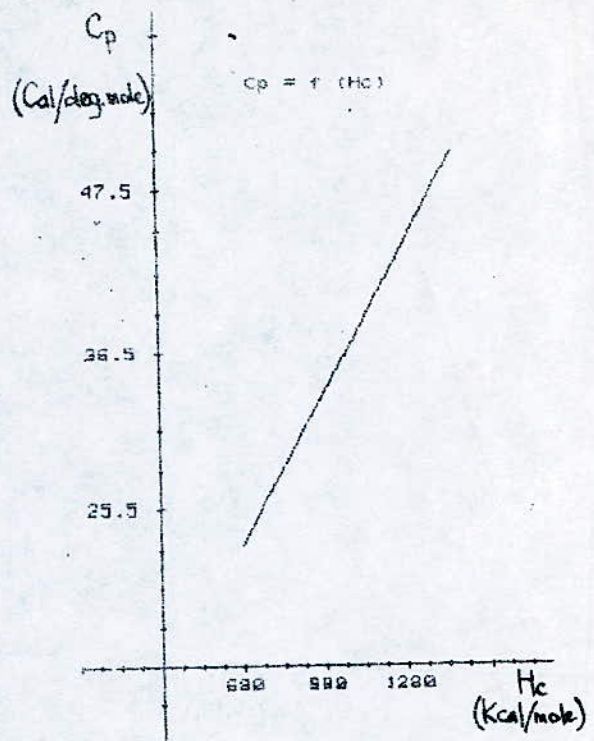
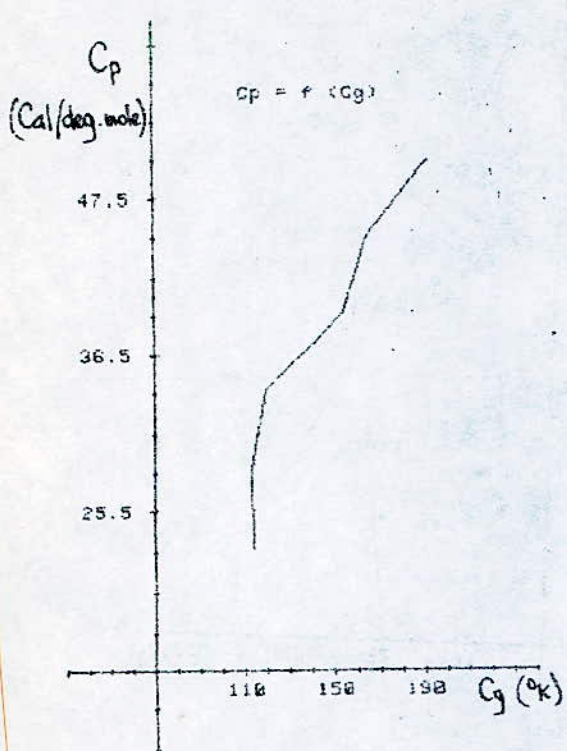


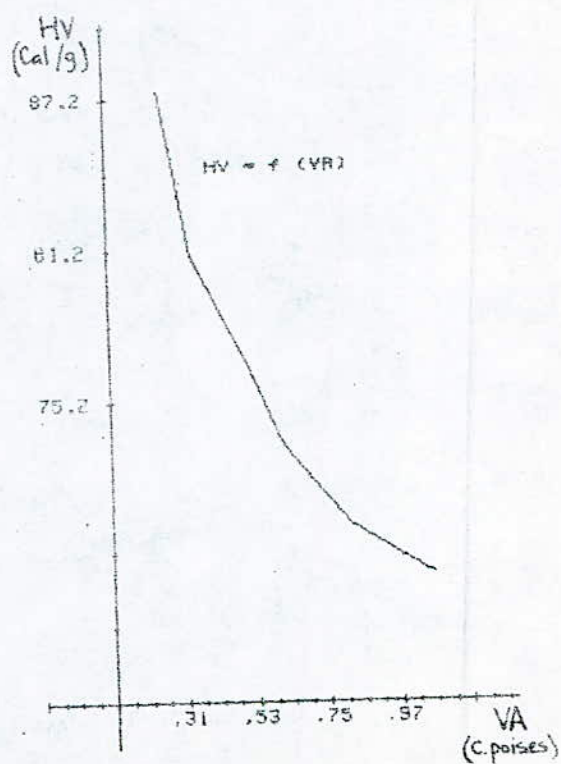
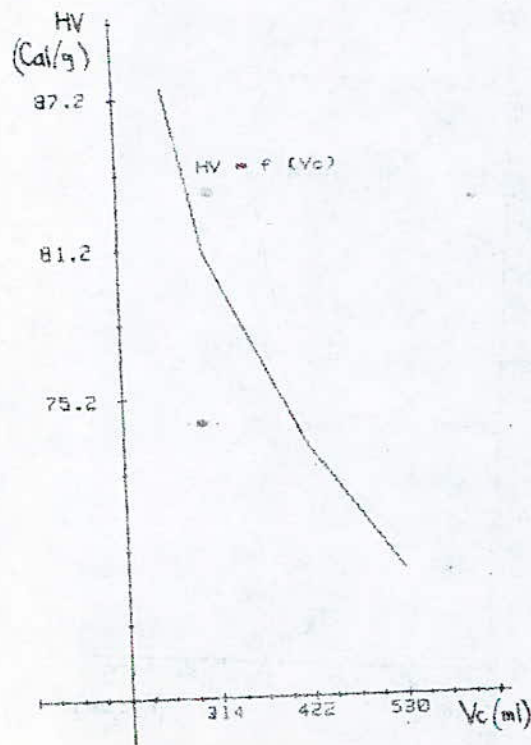
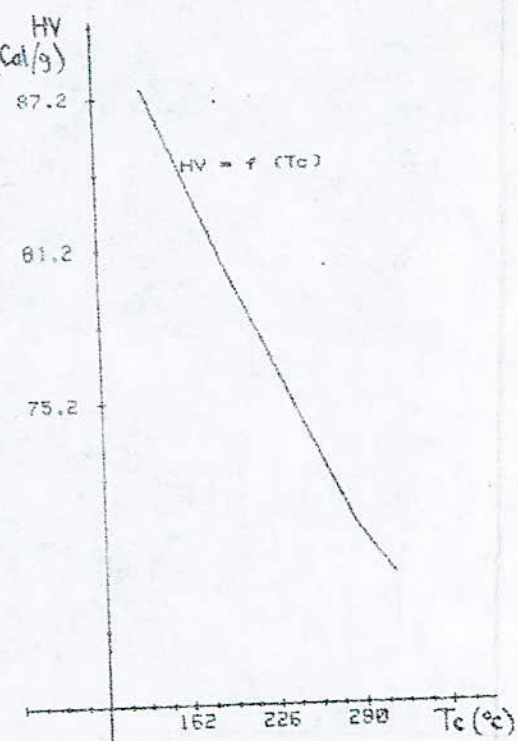
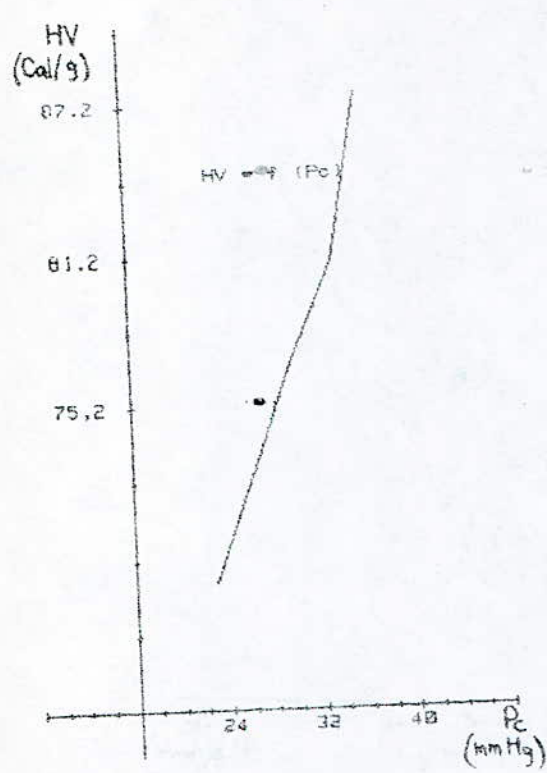


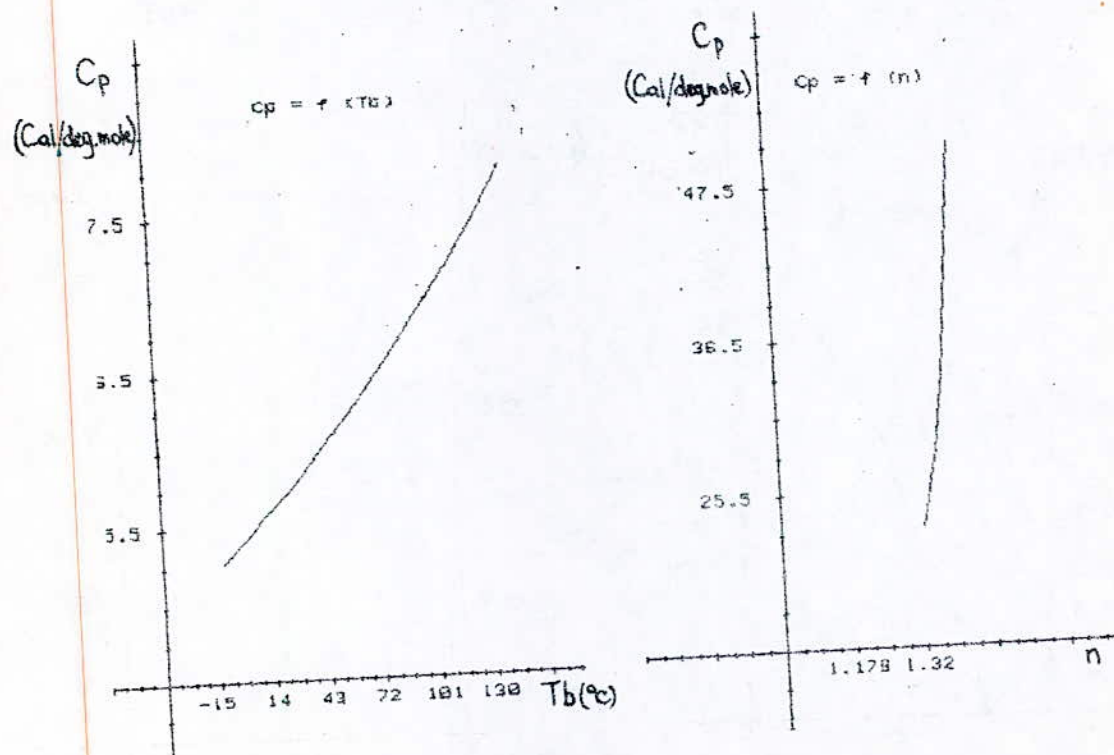
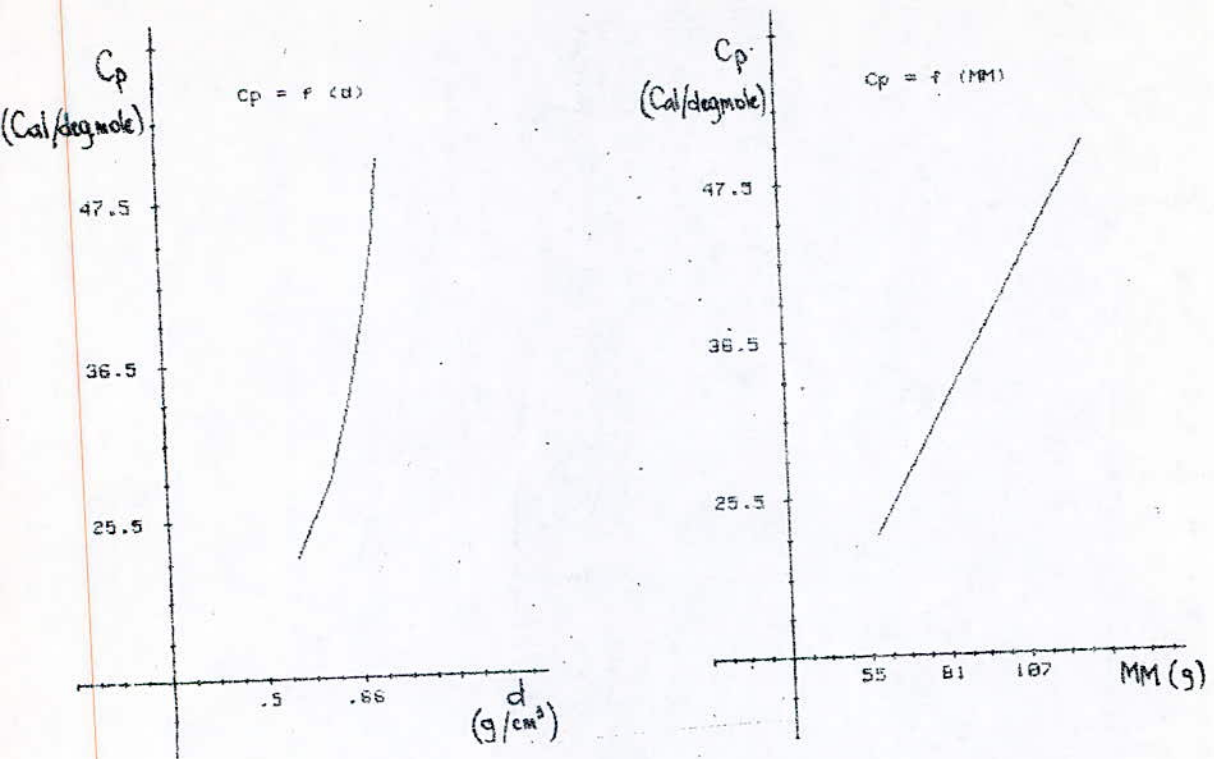


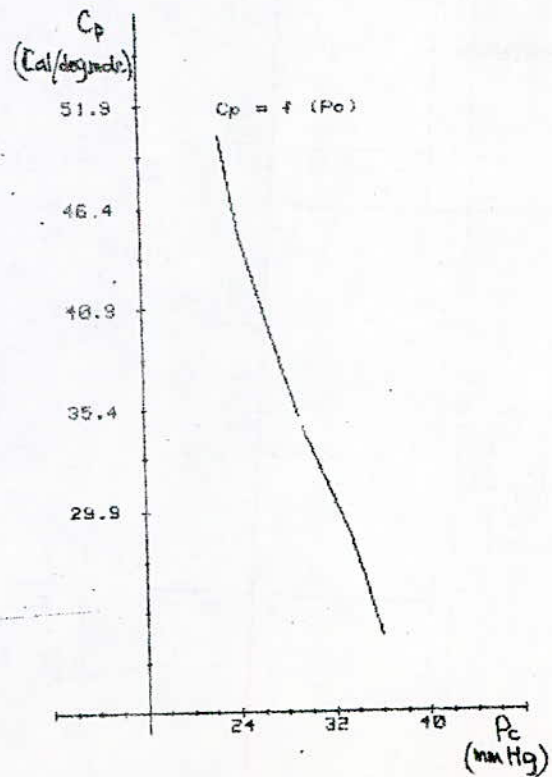
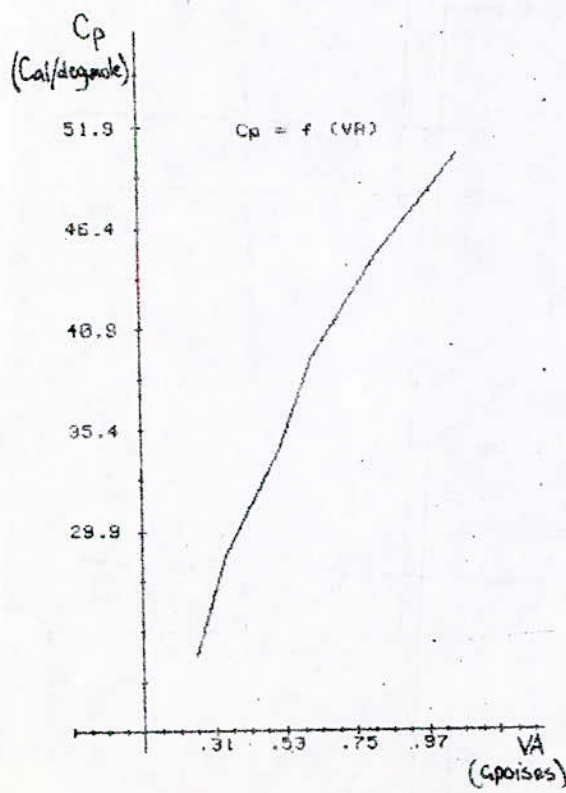
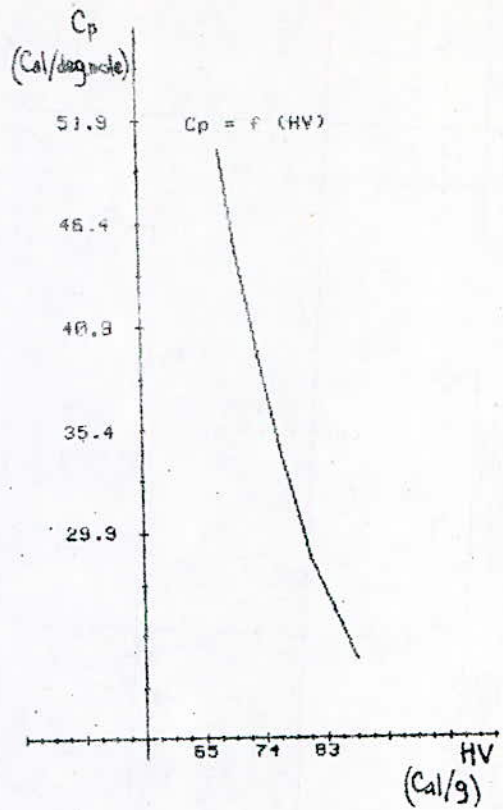
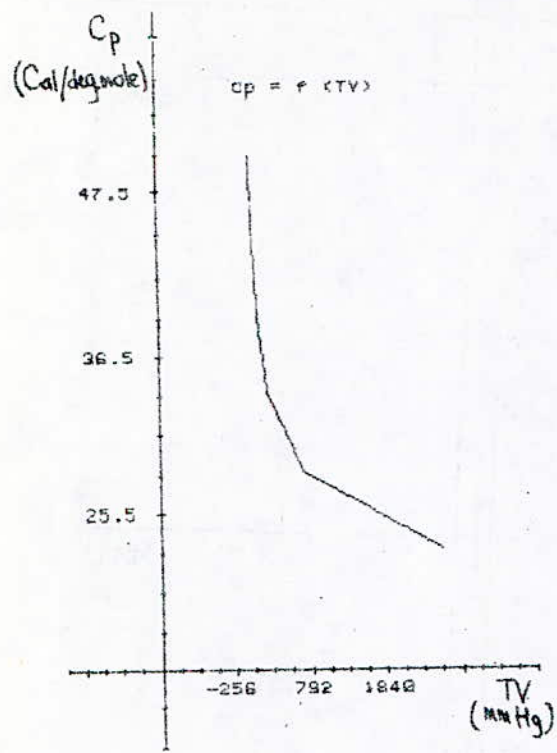


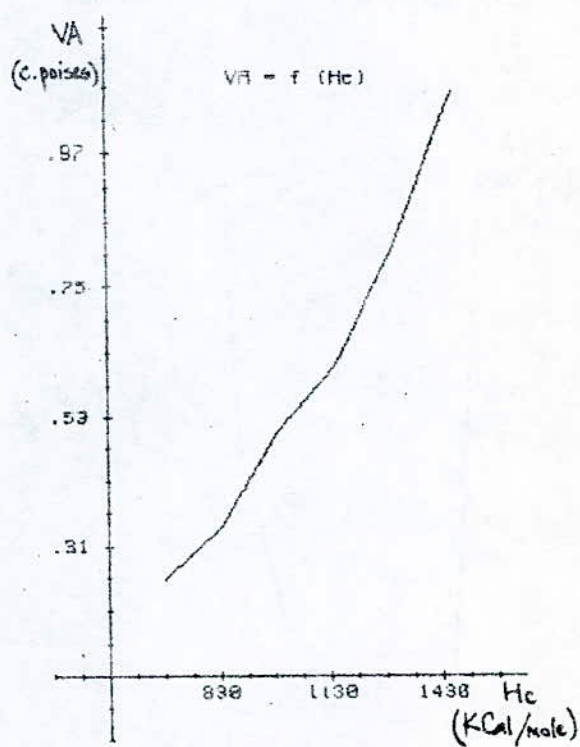
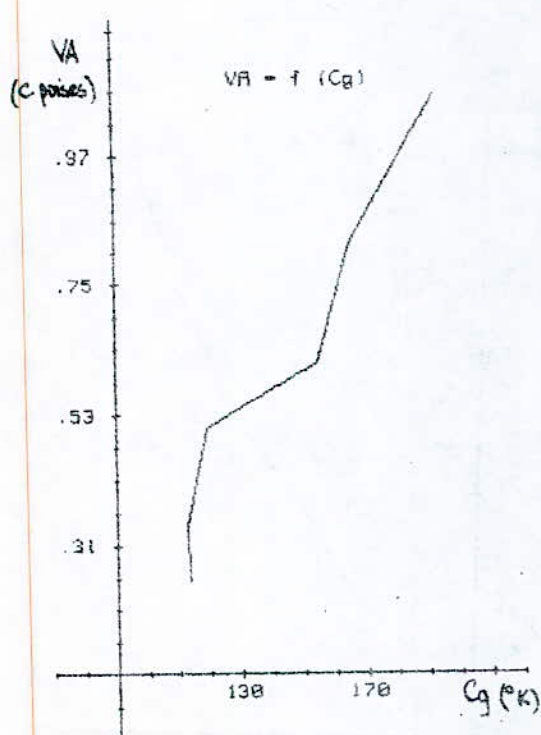
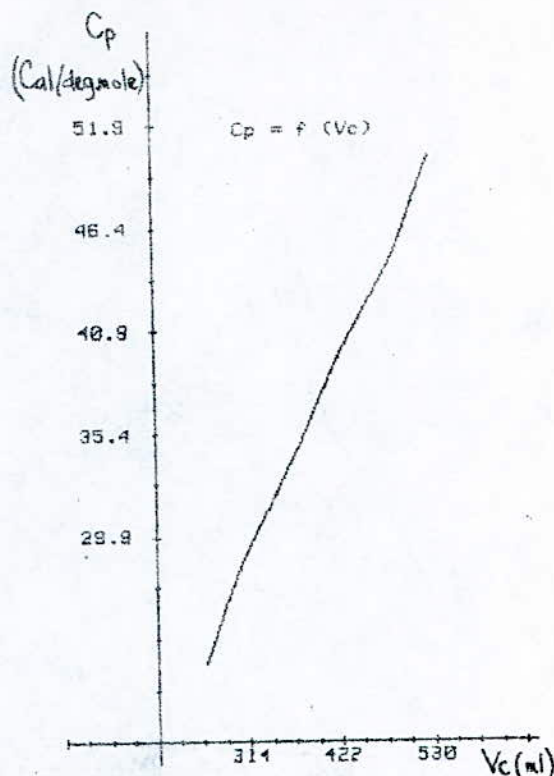
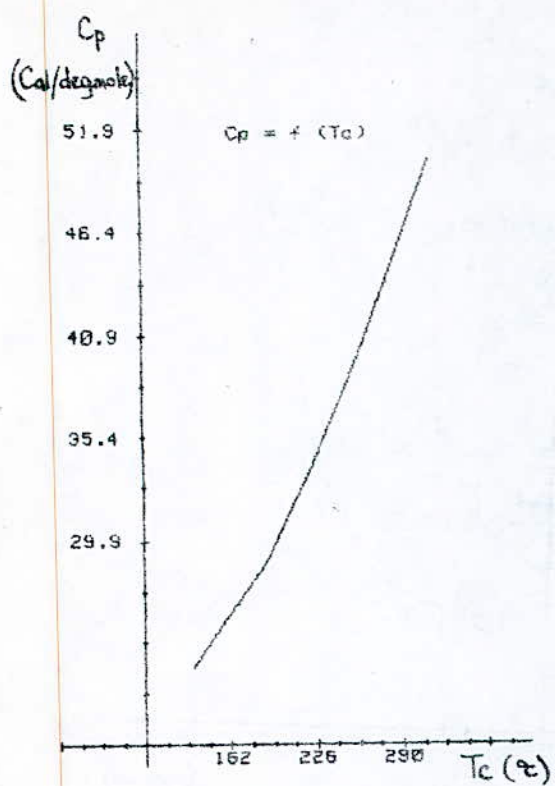


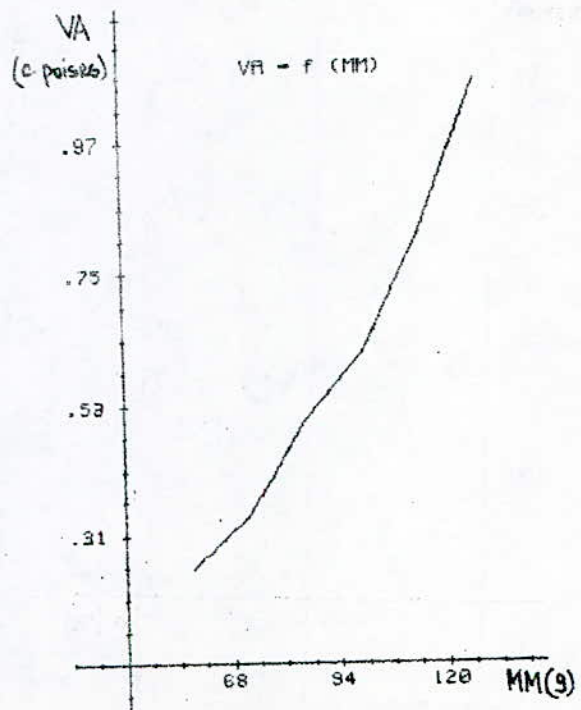
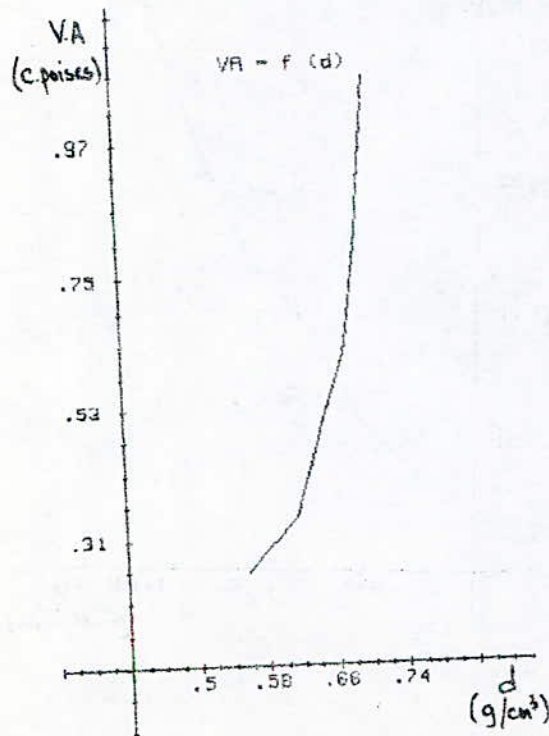
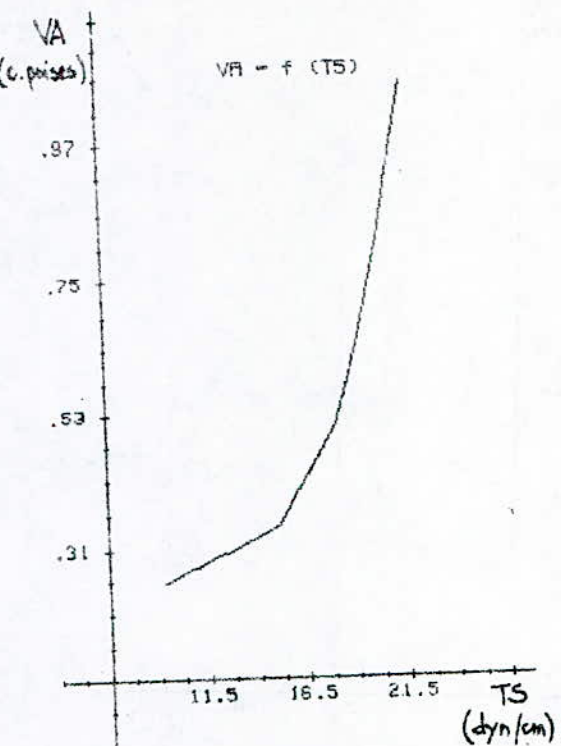
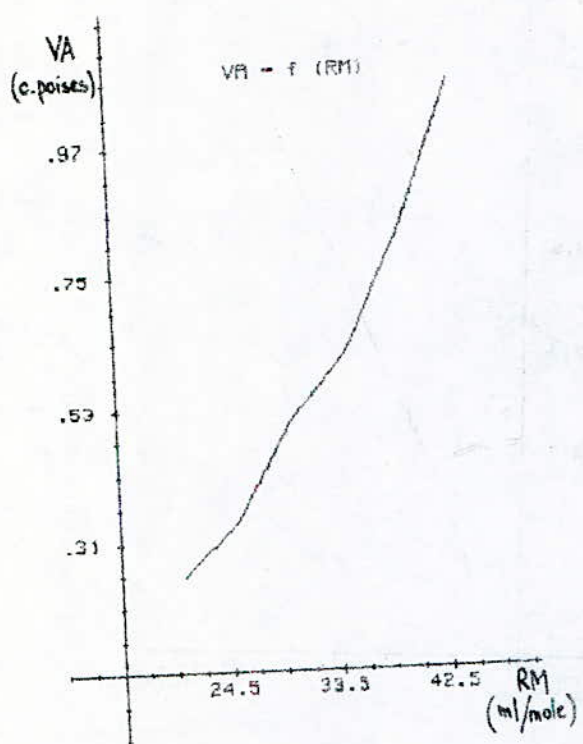


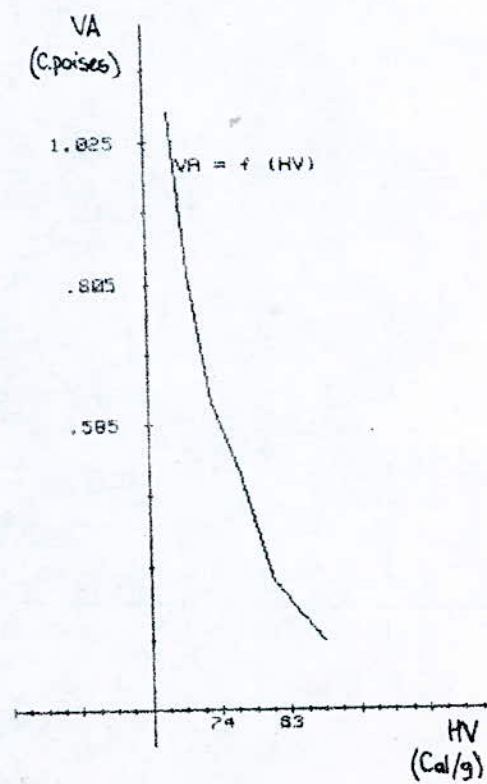
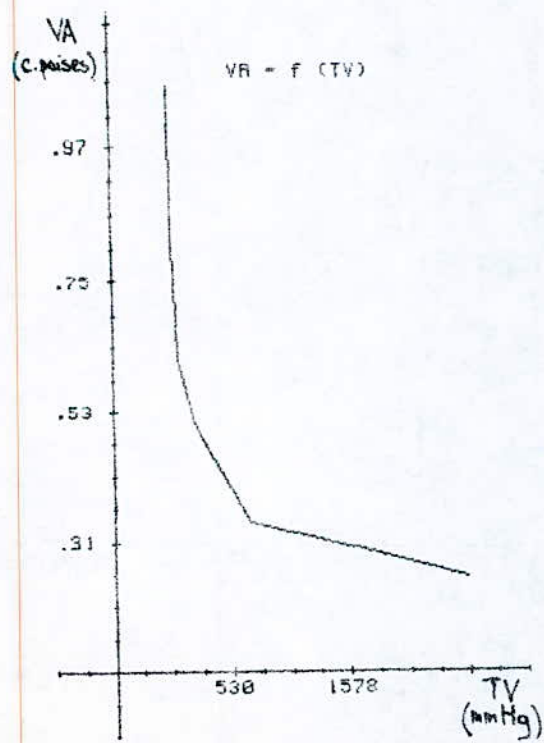
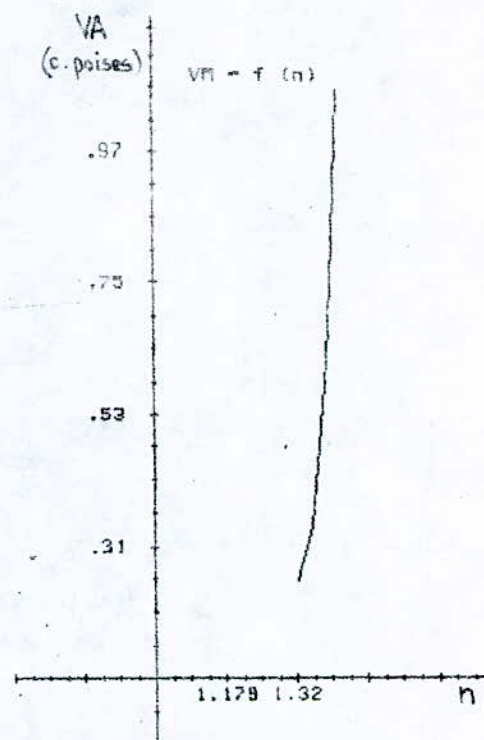
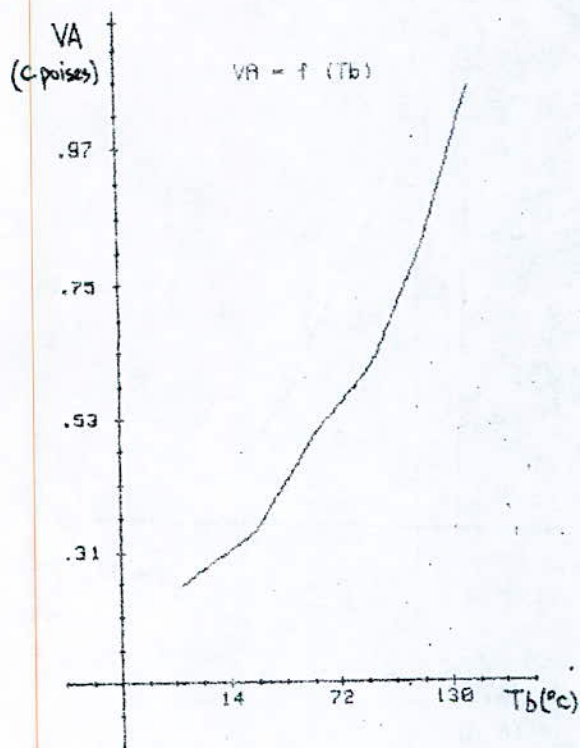


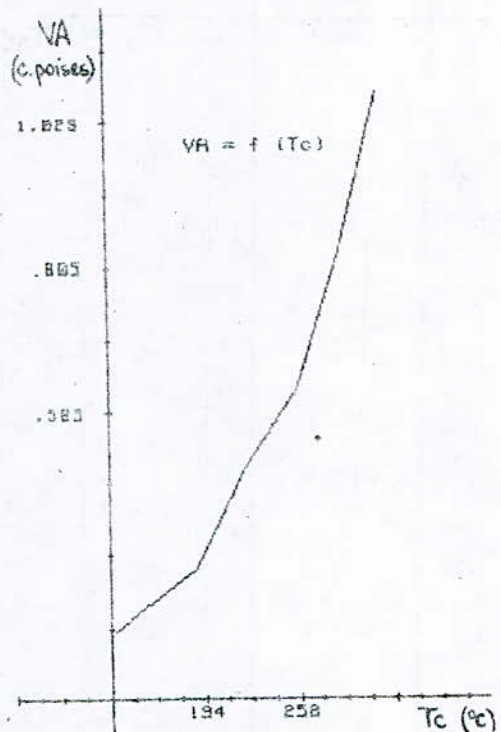
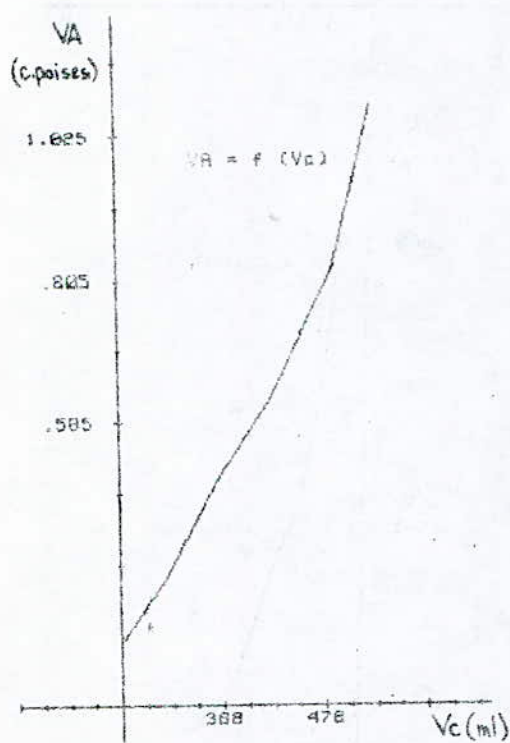
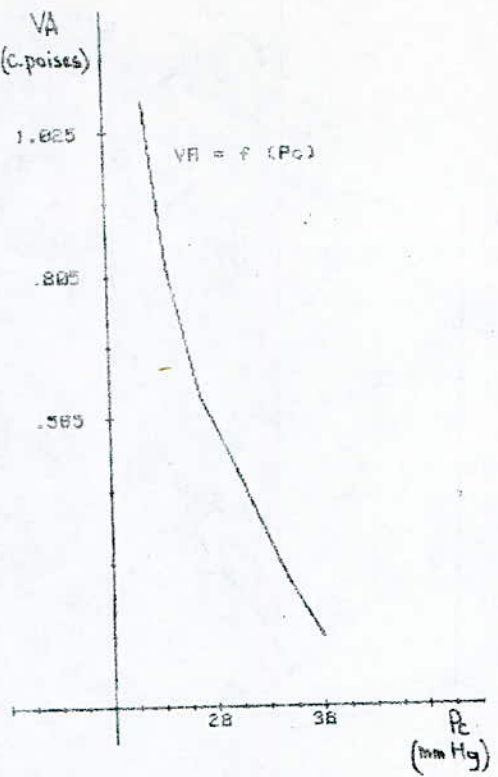
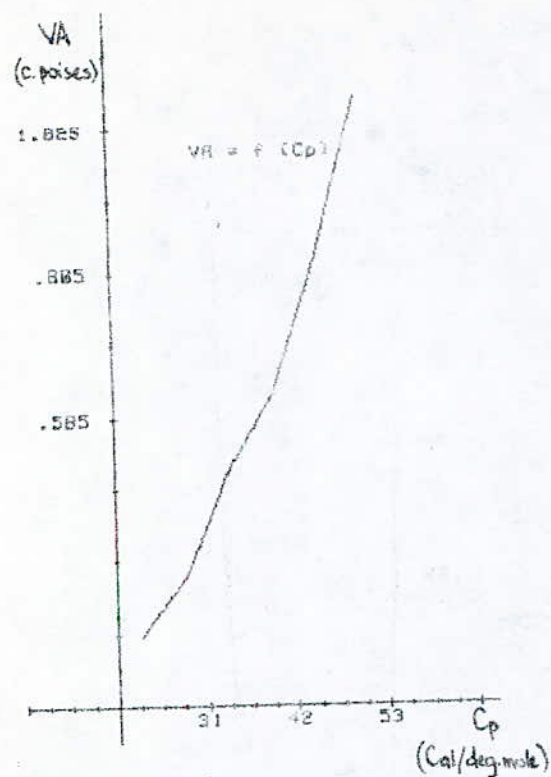


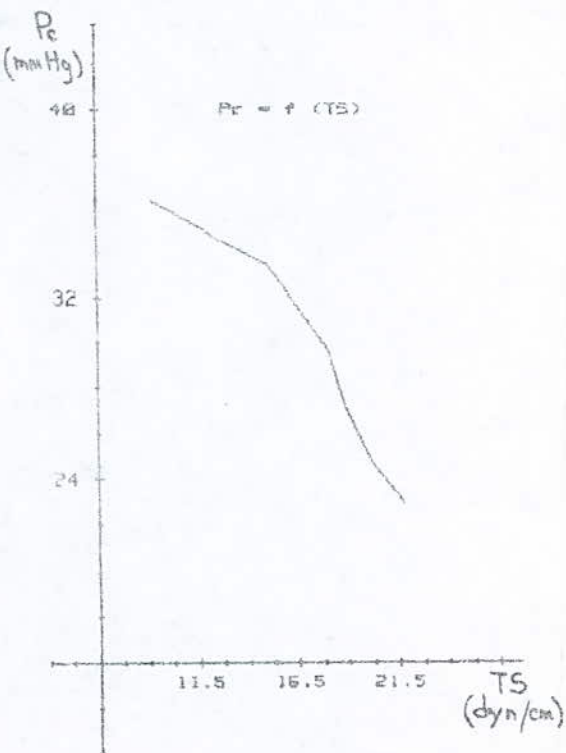
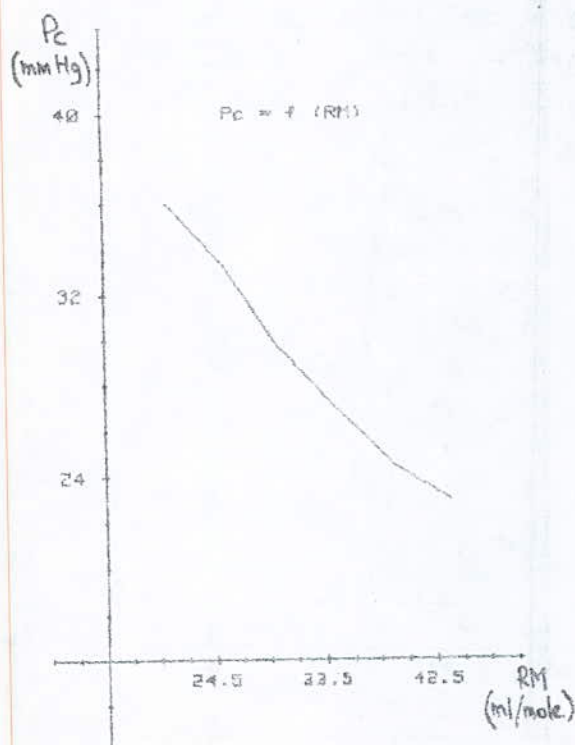
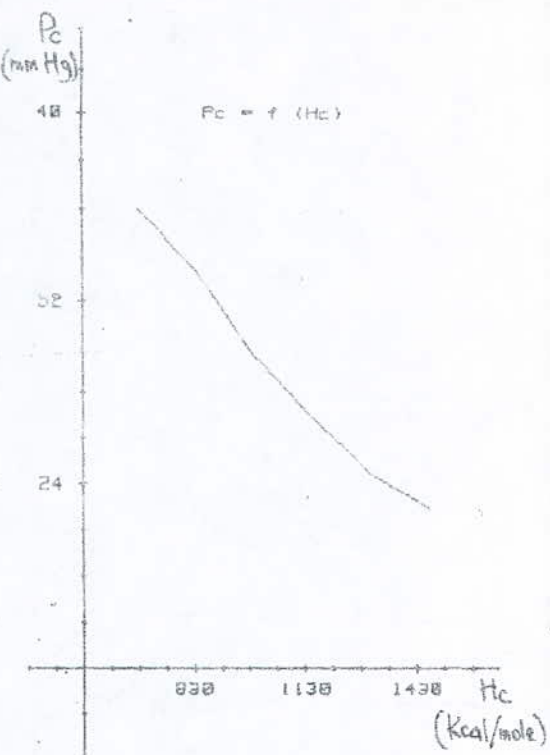
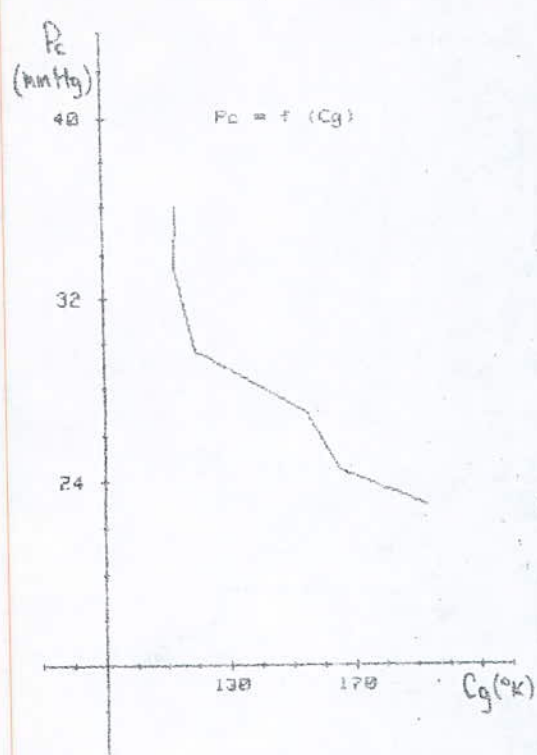


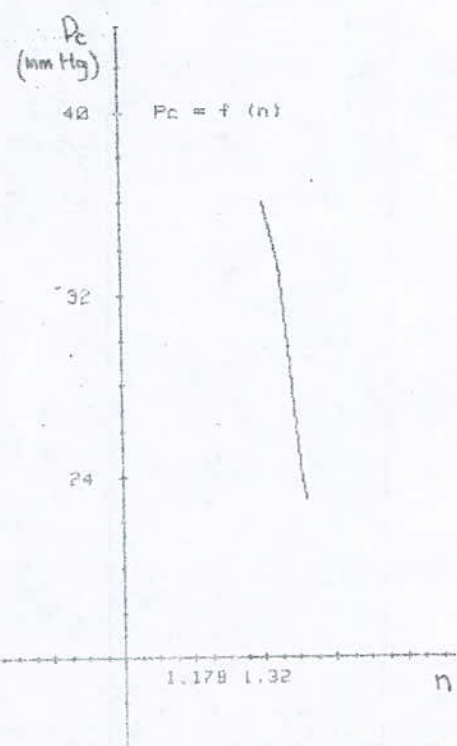
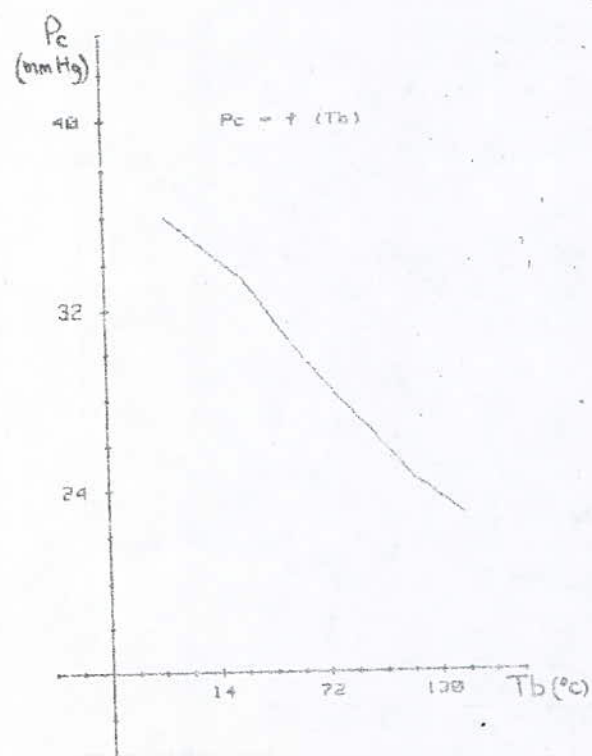
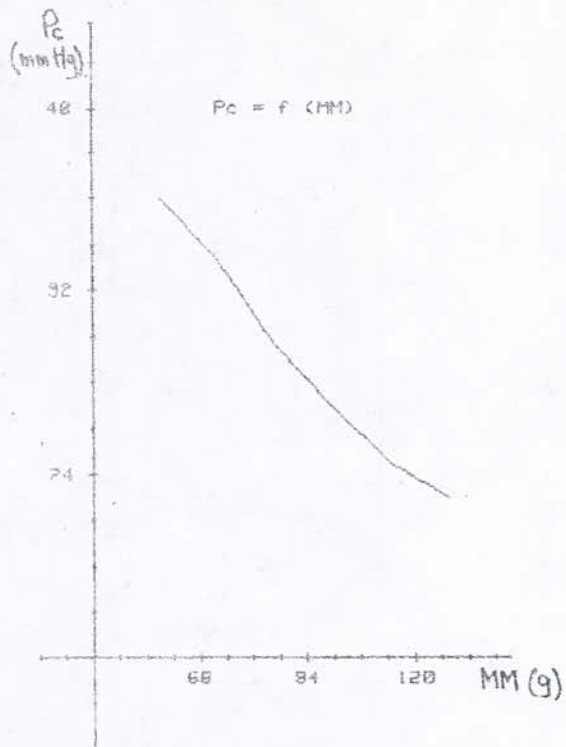
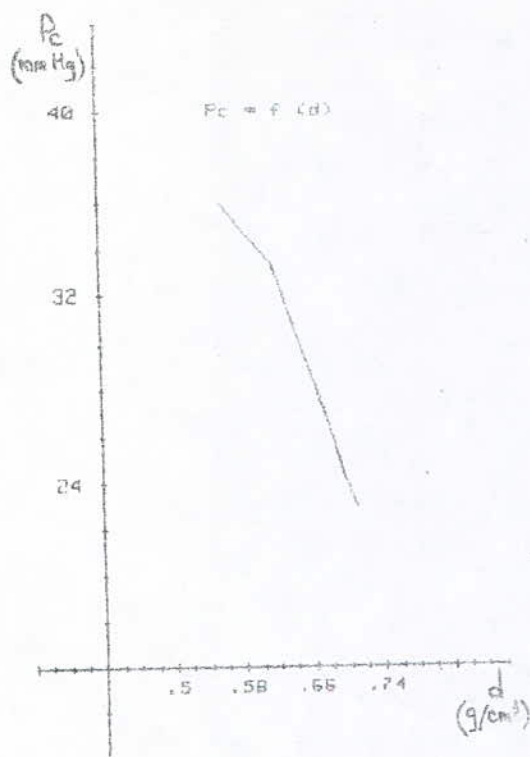


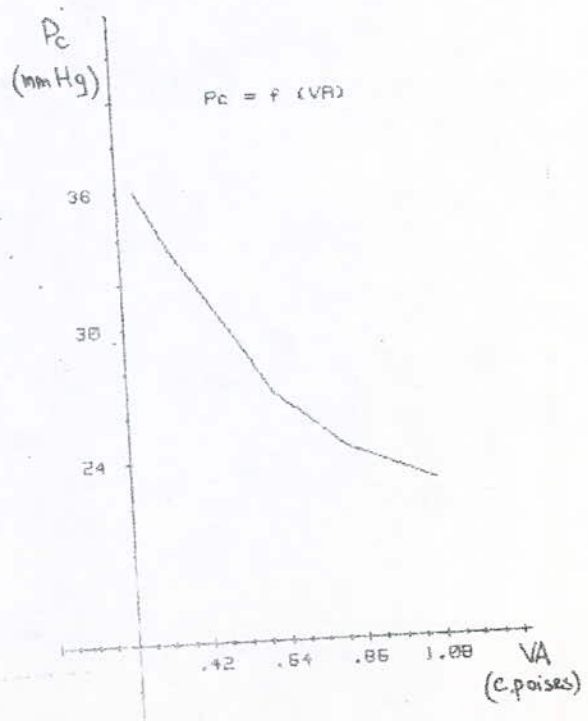
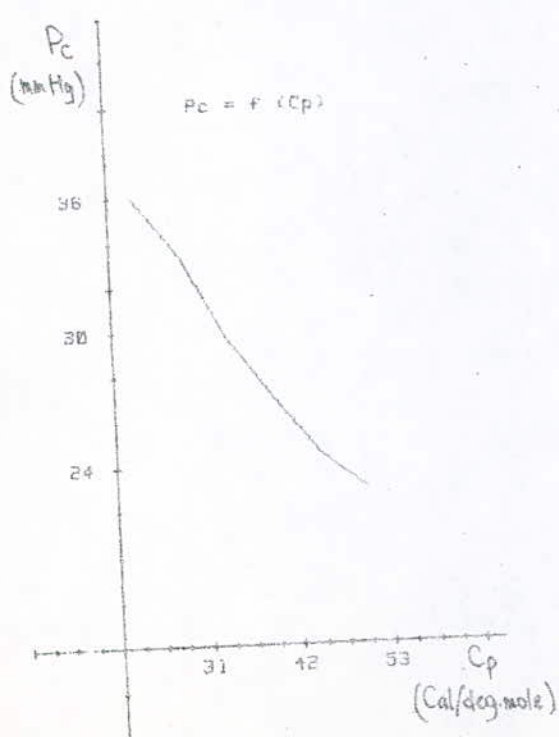
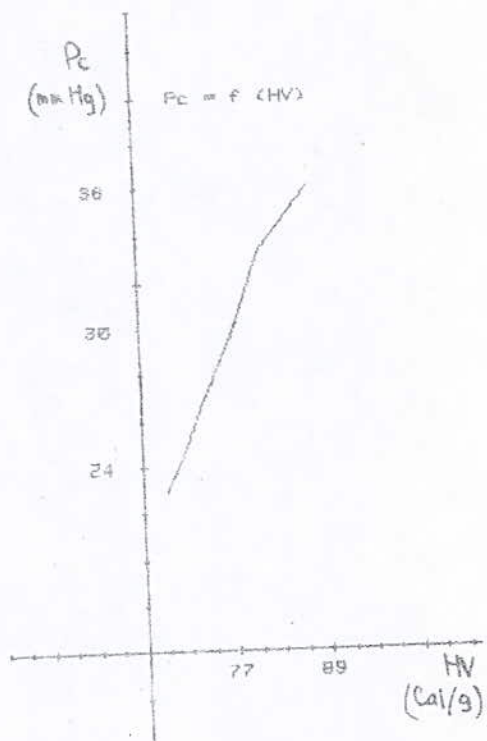
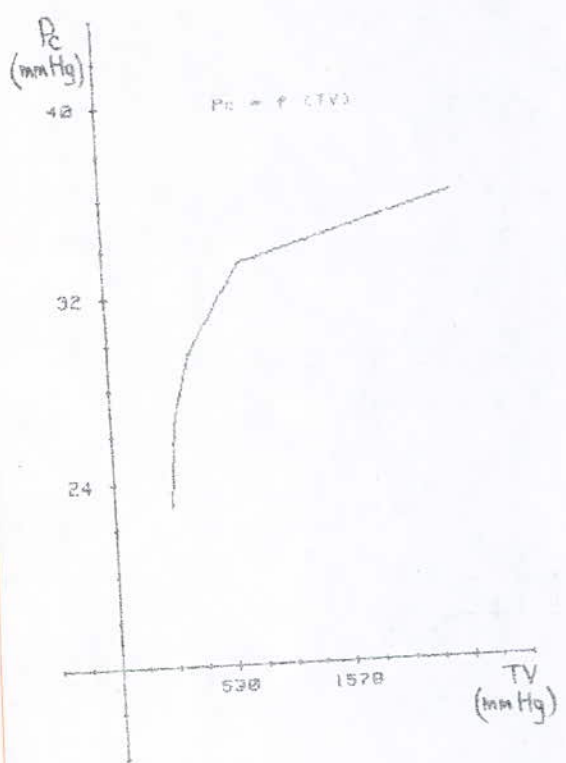


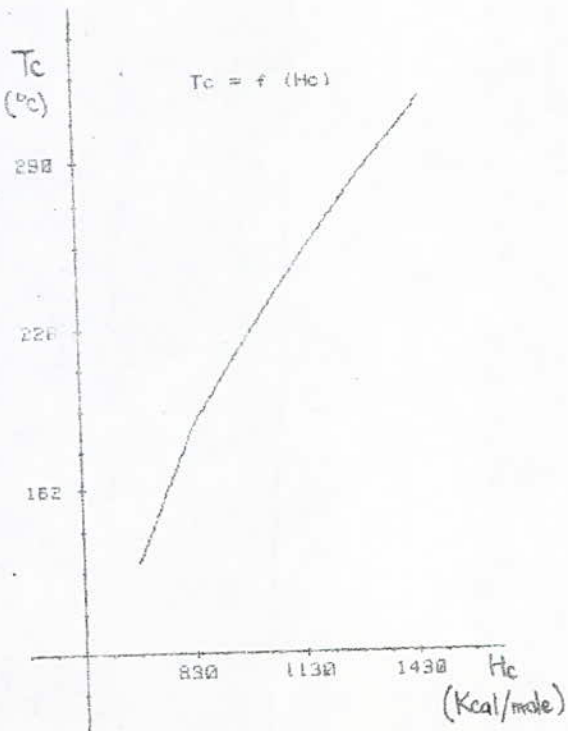
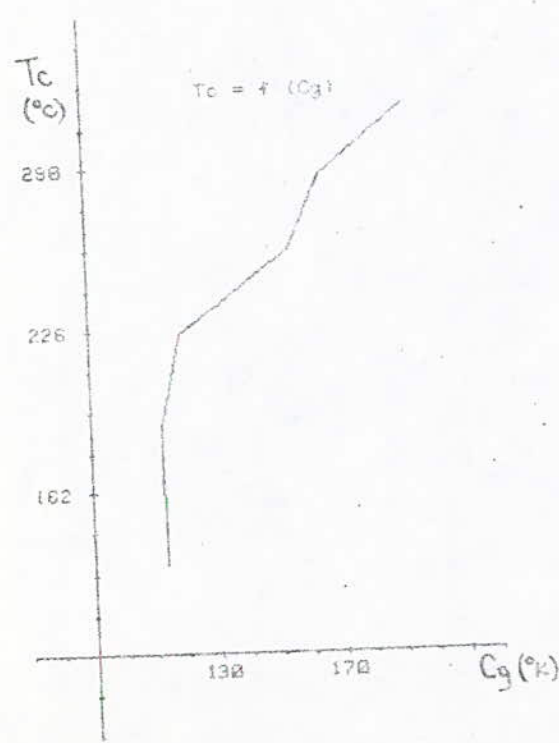
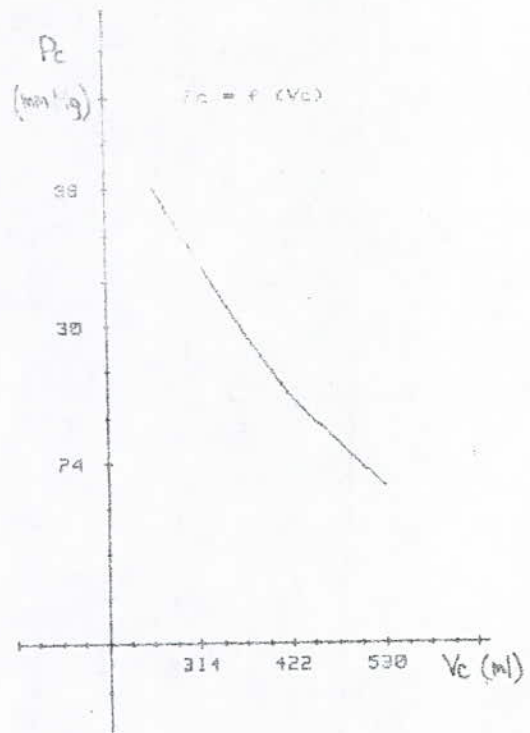
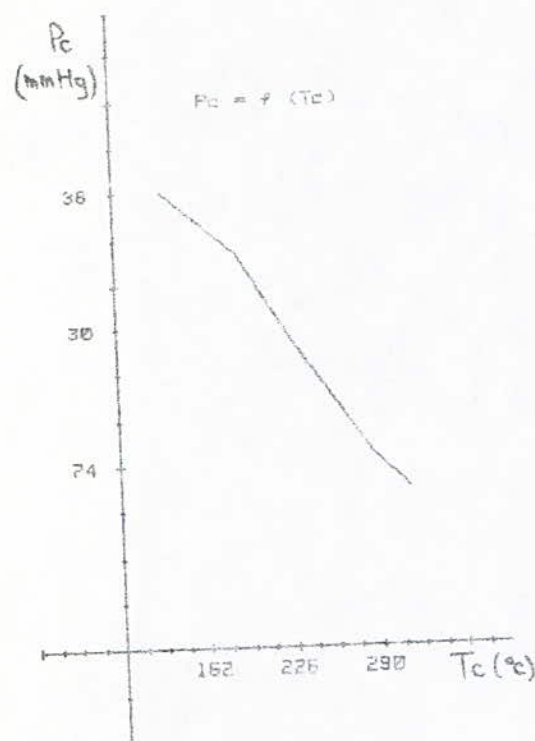


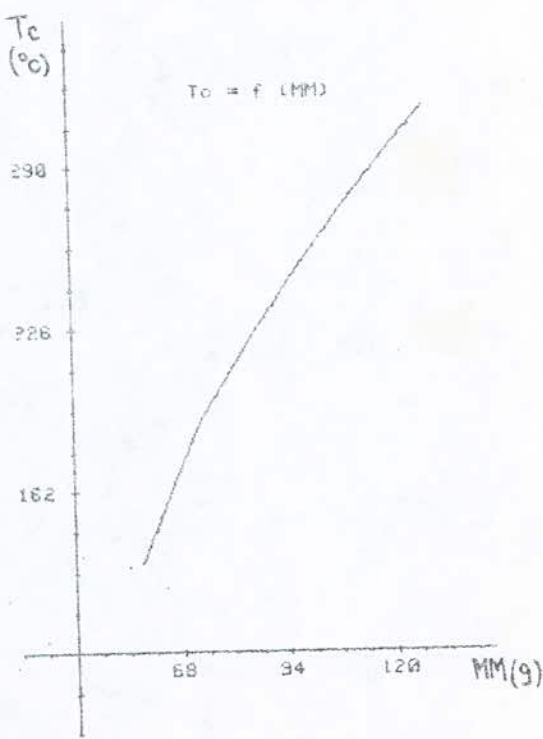
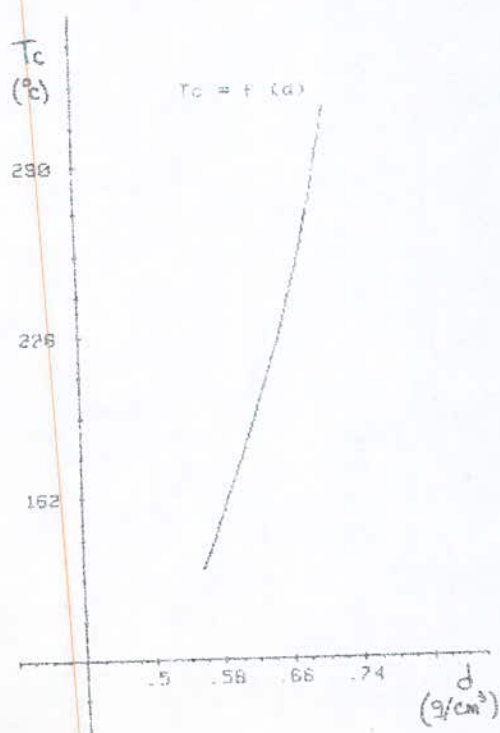
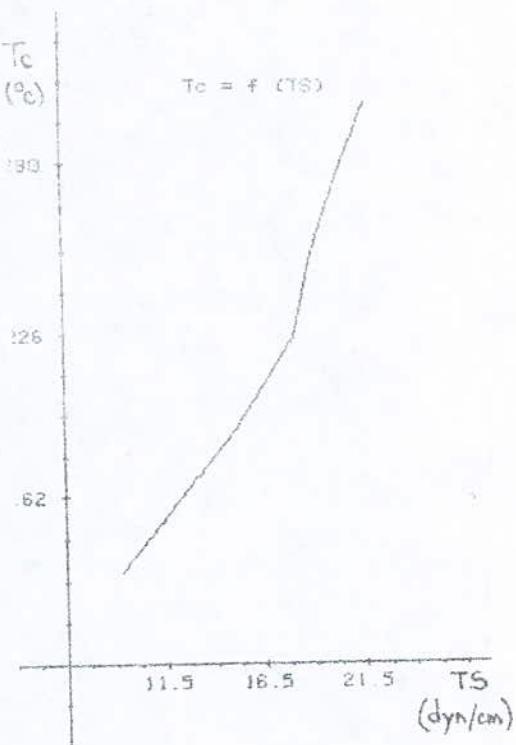
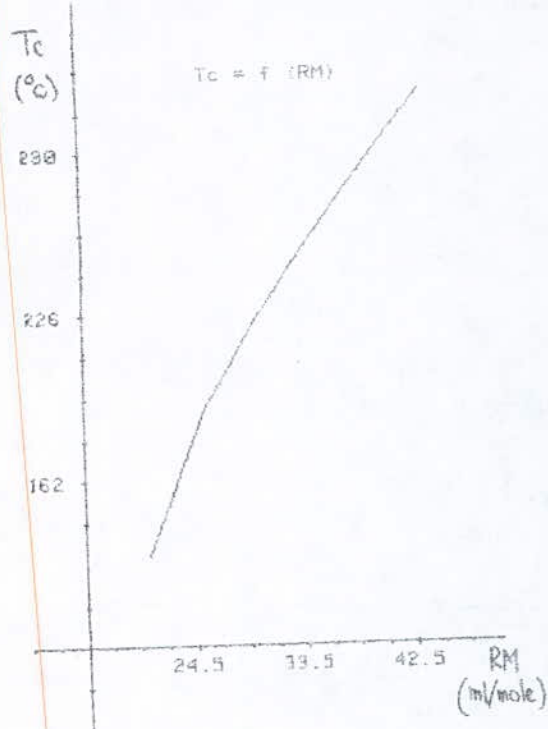


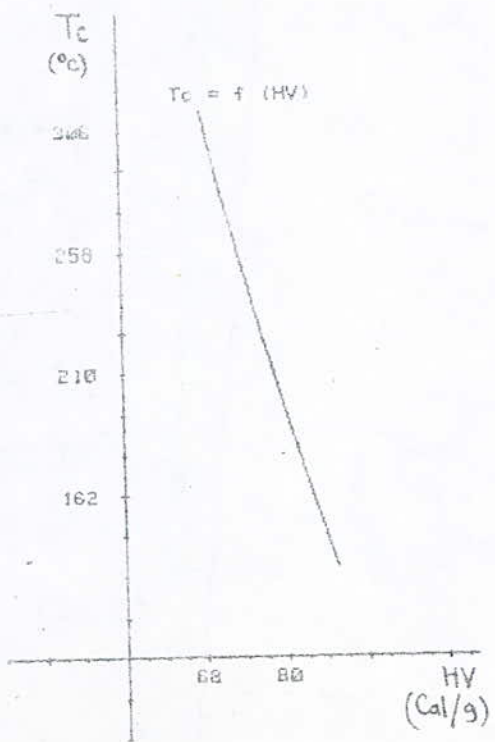
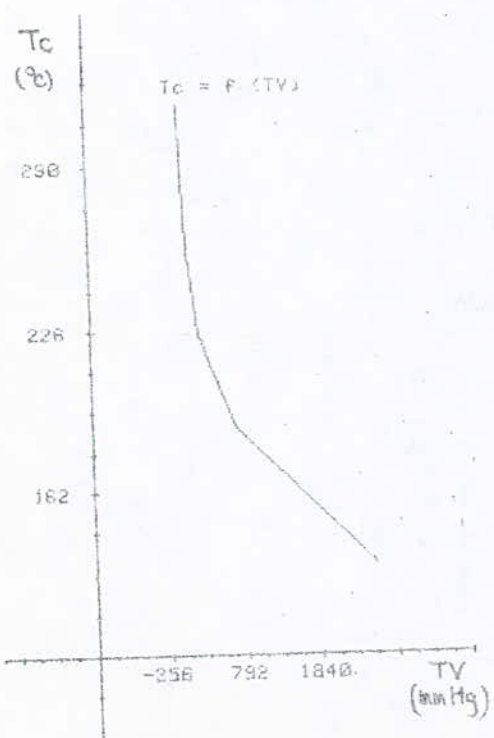
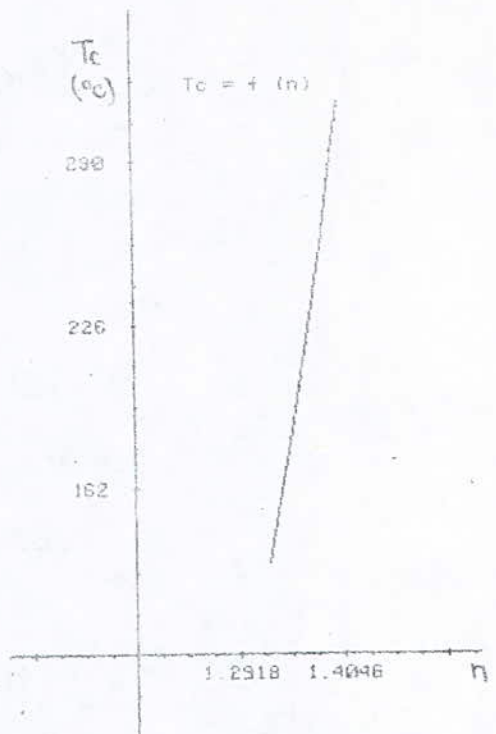
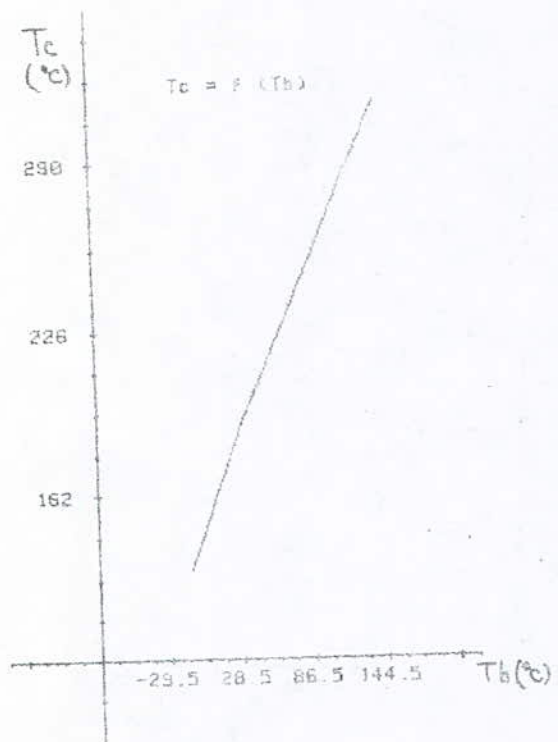


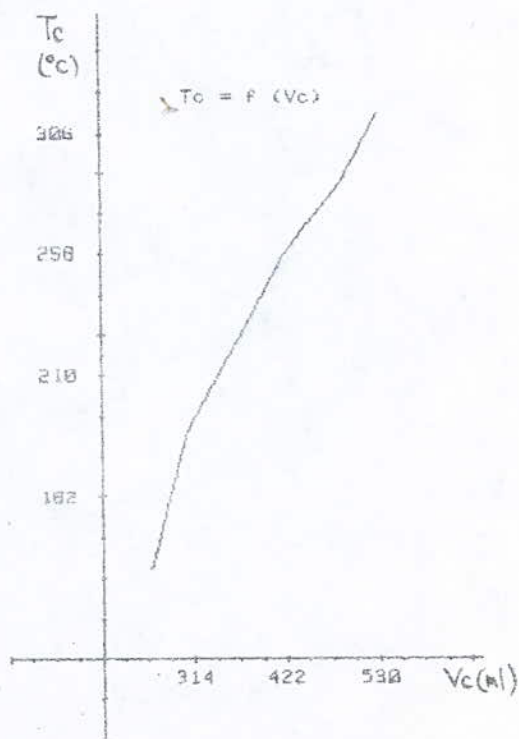
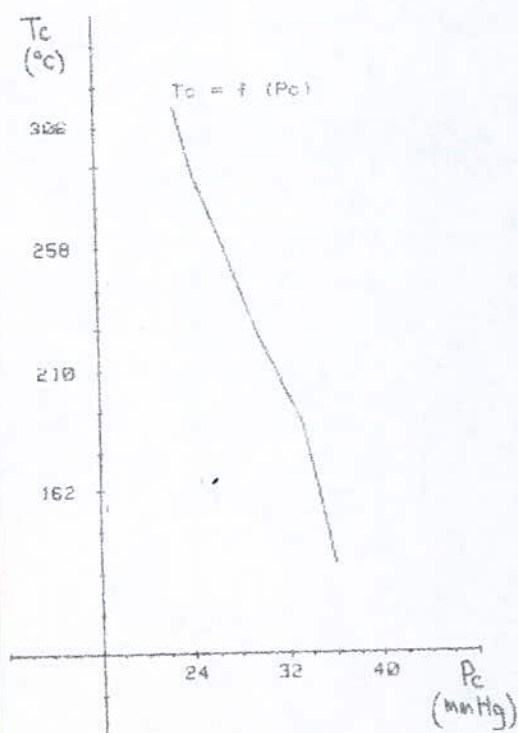
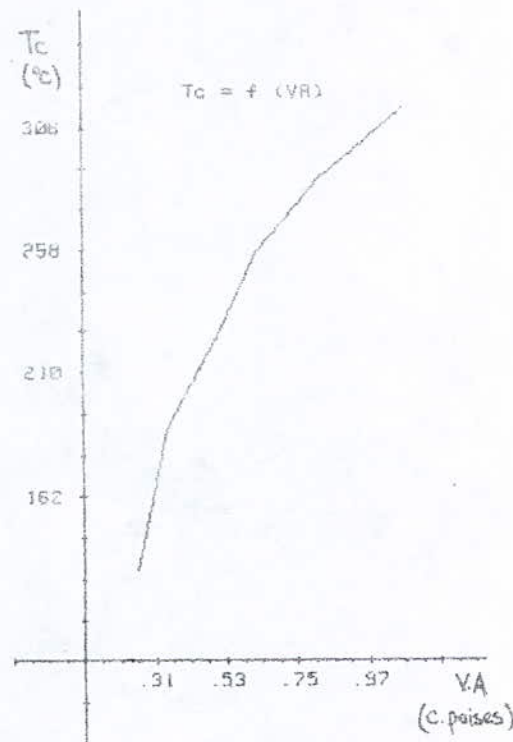
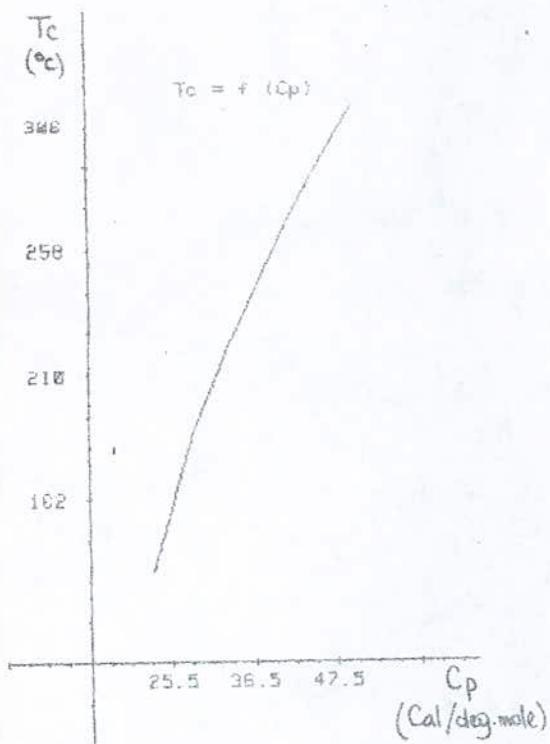


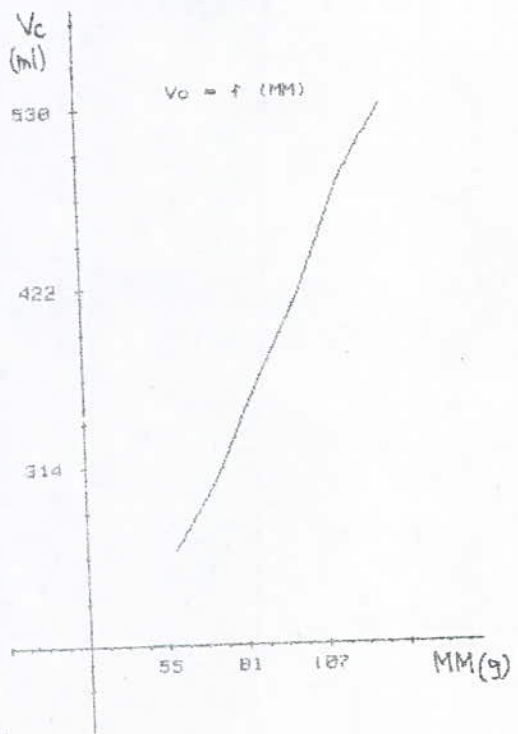
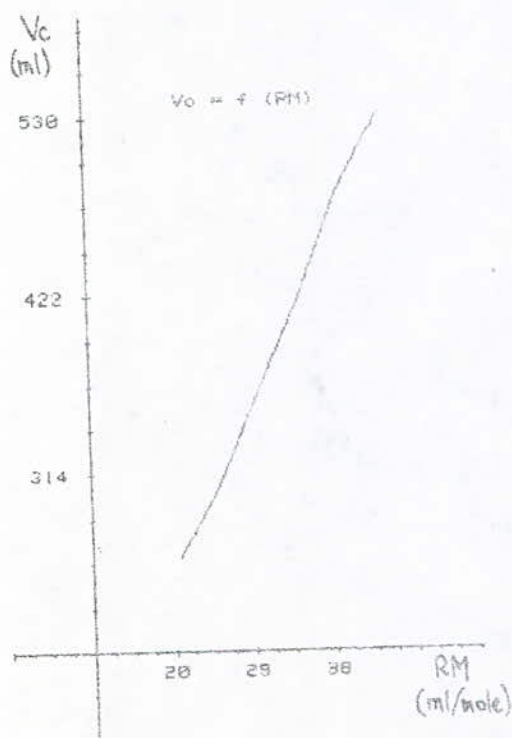
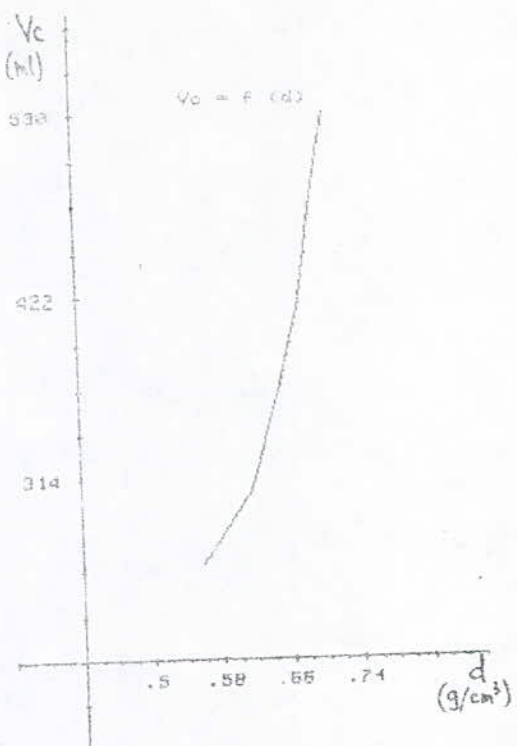
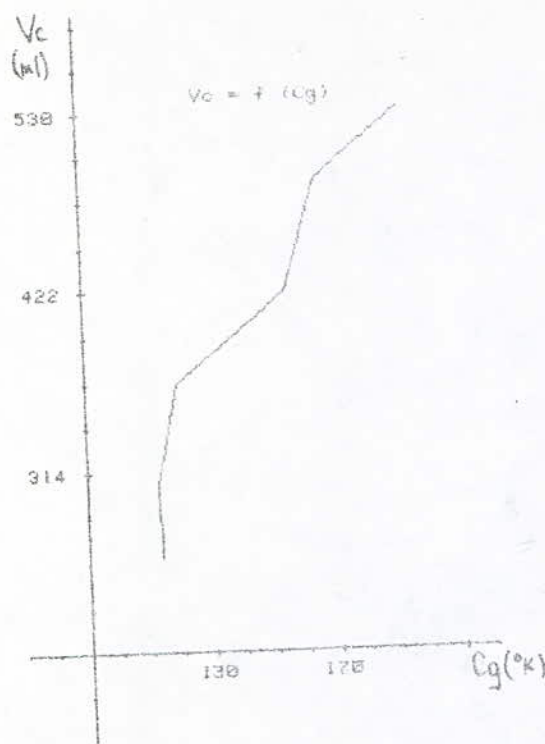


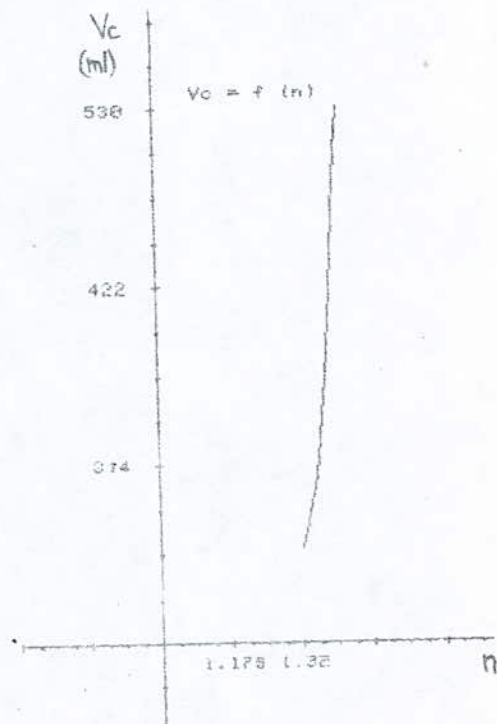
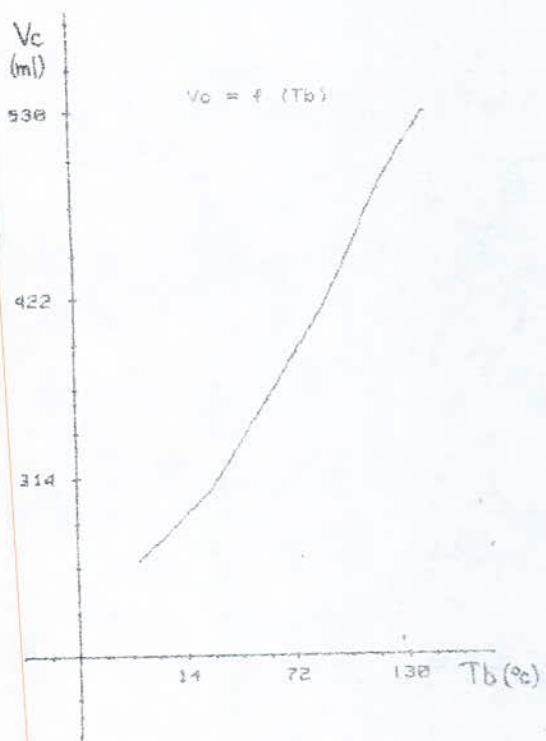
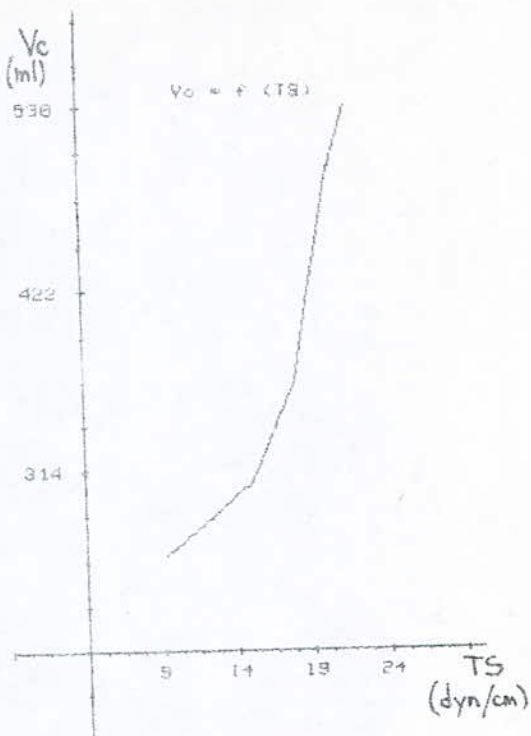
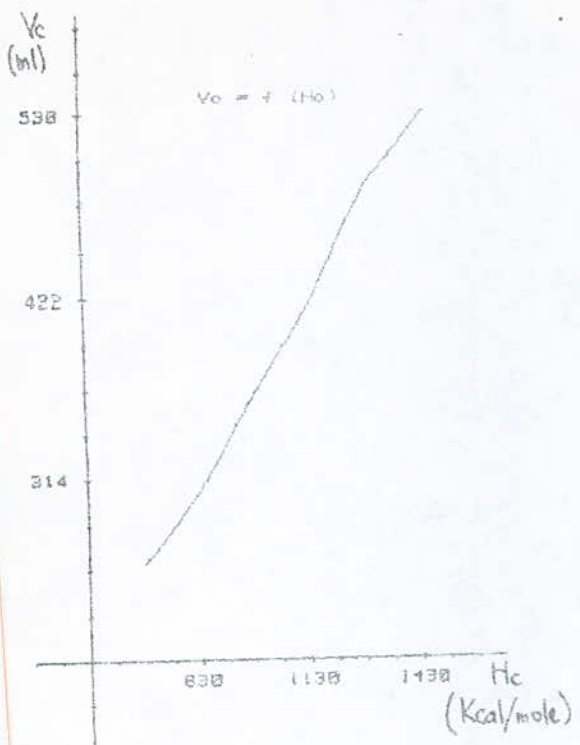


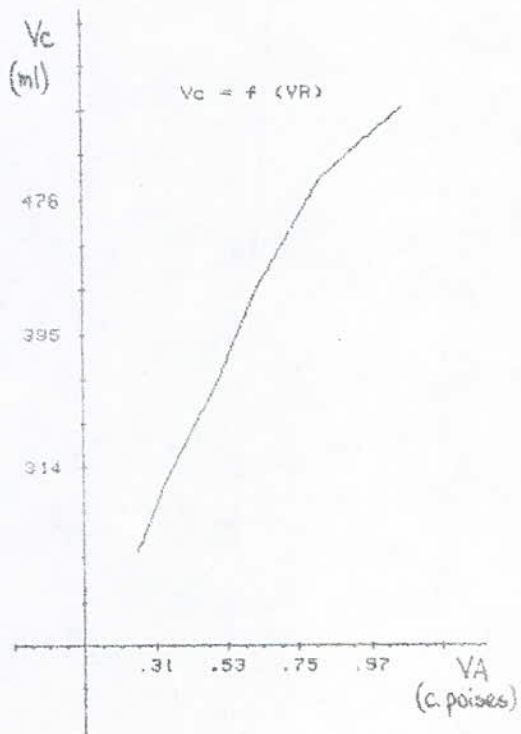
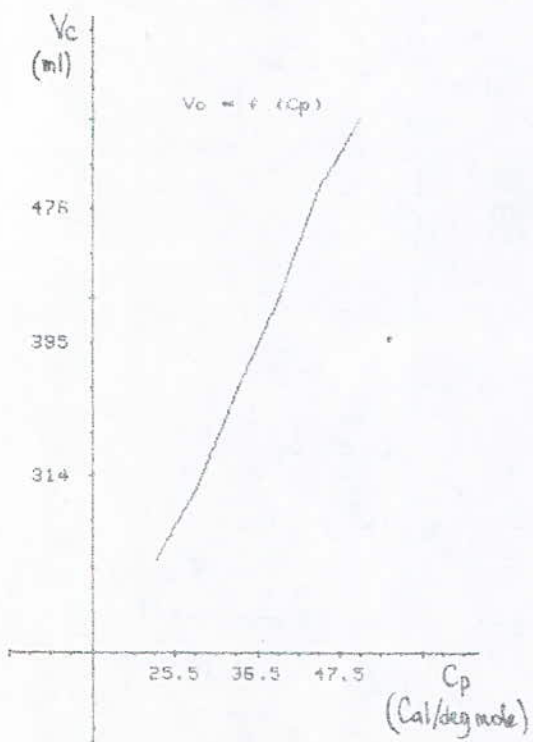
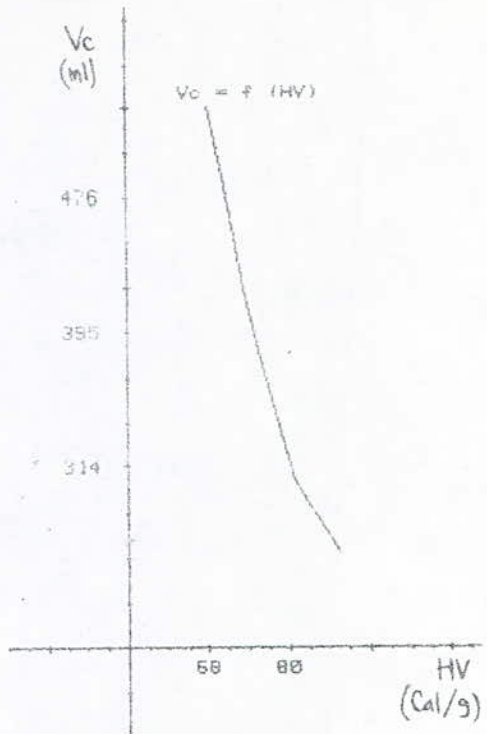
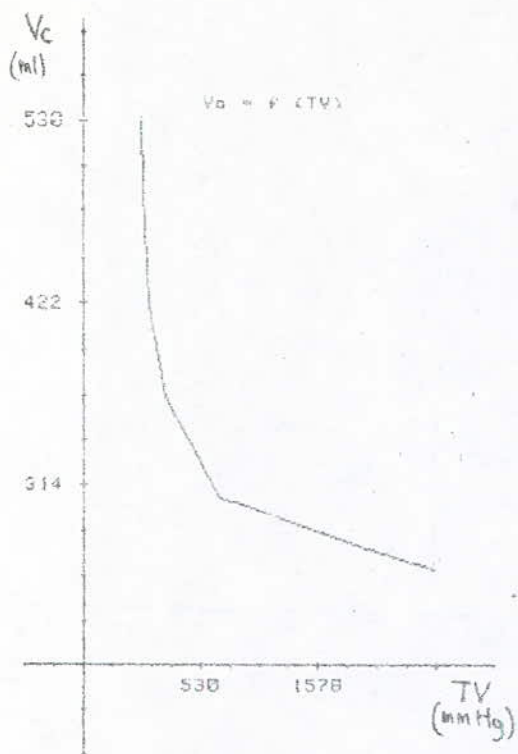


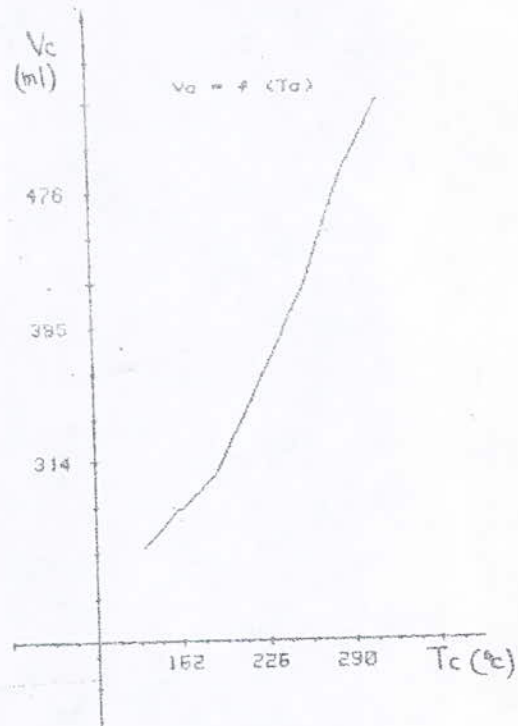
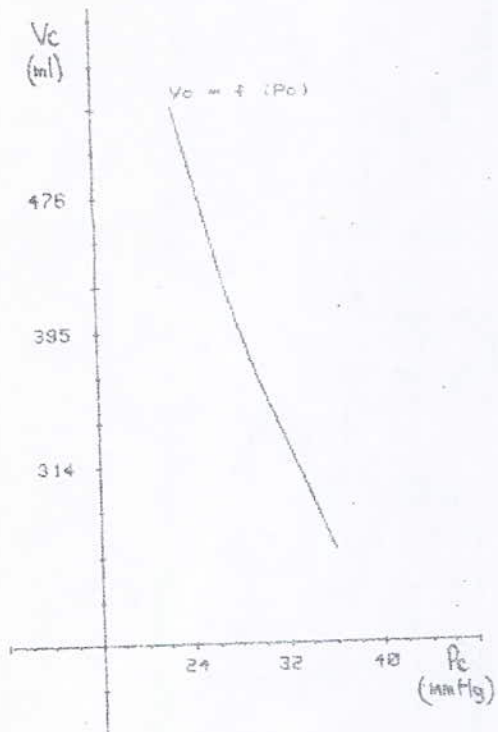












$Cg = 1.52236949453E-11 *Hc^{5+} - 8.09720394631E-8 *Hc^{4+} .000168977138924 *Hc^{3+}$   
 $- .172657546807 *Hc^{2+} .863490932644 *Hc^{+} 16799.837265$   
 $Cg = .000678492765701 *RM^{5+} -.108442974993 *RM^{4+} 6.8051241087 *RM^{3+}$   
 $- 209.256356035 *RM^{2+} 3151.97299362 *RM^{+} 18495.4954095$   
 $Cg = .141275953906 *TS^{5+} - 12.0007481238 *TS^{4+} 400.814605339 *TS^{3+} - 6597.40721715$   
 $*TS^{2+} 52321.4974184 *TS^{+} - 161780.77553$   
 $Cg = 1.2802532624F+B *d^{5+} - 4.13304720871E+8 *d^{4+} 5.32579673339E+8 *d^{3+}$   
 $- 3.42519390587E+8 *d^{2+} 1.09936038396E+8 *d^{+} - 1.40865385781E+7$   
 $Cg = 2.62416343204E-6 *MM^{5+} -.00121273912964 *MM^{4+} .219622610426 *MM^{3+}$   
 $- 19.4450585016 *MM^{2+} 841.375756728 *MM^{+} - 14122.9633718$   
 $Cg = 5.9920195875E-8 *Tb^{5+} - 2.06474531308E-5 *Tb^{4+} .00236009807023 *Tb^{3+}$   
 $- .0900232209534 *Tb^{2+} .335664359645 *Tb^{+} 134.03056265$   
 $Cg = 2.5587220929E+9 *n^{5+} - 1.75169957293E+10 *n^{4+} 4.796314742759E+10 *n^{3+}$   
 $- 6.56563710975E+10 *n^{2+} 4.49331457825E+10 *n^{+} - 1.22989239586E+10$   
 $Cg = -7.8256899962E-11 *TV^{5+} 2.81206861127E-7 *TV^{4+} -.000218233388095 *TV^{3+}$   
 $.0467612687578 *TV^{2+} - 3.06064476962 *TV^{+} 210.677094615$   
 $Cg = -.00306560712713 *HV^{5+} 1.1771532871 *HV^{4+} - 180.445012510 *HV^{3+} 13803.324047$   
 $*HV^{2+} - 526964.816153 *HV^{+} 6.03272819717E+6$   
 $Cg = .000294368712152 *Cp^{5+} -.0539370258312 *Cp^{4+} 3.84870222154 *Cp^{3+}$   
 $- 134.352184295 *Cp^{2+} 2293.57144153 *Cp^{+} - 15207.9833738$   
 $Cg = 22400.1650916 *VA^{5+} - 67789.5260807 *VA^{4+} 76613.7567316 *VA^{3+} - 40049.3100688$   
 $*VA^{2+} 9711.28209752 *VA^{+} - 765.787738566$   
 $Cg = -.0116292715906 *Pc^{5+} 1.70399447027 *Pc^{4+} - 99.0622187004 *Pc^{3+}$   
 $2061.54500723 *Pc^{2+} - 41061.9407755 *Pc^{+} 234428.736859$   
 $Cg = 3.43880428812E-8 *Tc^{5+} - 3.97102418794E-5 *Tc^{4+} .0179775690816 *Tc^{3+}$   
 $- 3.97700034412 *Tc^{2+} 428.97280452 *Tc^{+} - 17896.0454018$   
 $Cg = 2.85663593536E-9 *Vc^{5+} - 5.59213985038E-6 *Vc^{4+} .00430364907311 *Vc^{3+}$   
 $- 1.62546335543 *Vc^{2+} 301.260608137 *Vc^{+} - 21815.5715535$   
  
 $Hc = -.000303953844153 *Cg^{5+} .226291697866 *Cg^{4+} - 66.7193483083 *Cg^{3+}$   
 $9736.446466018 *Cg^{2+} - 703191.328473 *Cg^{+} 2.01095760977E+7$   
 $Hc = -2.97584546356E-7 *RM^{5+} .000148239891707 *RM^{4+} -.0146462901603 *RM^{3+}$   
 $.635752223703 *RM^{2+} 21.3219121023 *RM^{+} 74.0724340225$   
 $Hc = .267432594548 *TS^{5+} - 22.9484711885 *TS^{4+} 723.87921791 *TS^{3+} - 12771.0294314$   
 $*TS^{2+} 102690.500316 *TS^{+} - 319187.33386$   
 $Hc = -2.19554778804E+7 *d^{5+} 7.27349450261E+7 *d^{4+} - 9.59868850326E+7 *d^{3+}$   
 $6.31100569714E+7 *d^{2+} - 2.06778680168E+7 *d^{+} 2.70184358125E+6$   
 $Hc = -1.15094887406E-9 *MM^{5+} 1.620656097E-6 *MM^{4+} -.000492129583563 *MM^{3+}$   
 $.0618051422473 *MM^{2+} 7.62927467309 *MM^{+} 108.26219589$   
 $Hc = -1.26377195425E-9 *Tb^{5+} 7.90421161519E-7 *Tb^{4+} -.00016055523925 *Tb^{3+}$   
 $.0211690257701 *Tb^{2+} 3.66043621773 *Tb^{+} 721.28203539$   
 $Hc = -4.23052086632E+8 *n^{5+} 2.88500351636E+9 *n^{4+} - 7.86873495093E+9 *n^{3+}$   
 $1.02295838022E+10 *n^{2+} - 7.31447185269E+9 *n^{+} 1.99433259244E+9$   
 $Hc = -3.12891245713E-10 *TV^{5+} 1.12894412712E-6 *TV^{4+} -.000896936527109 *TV^{3+}$   
 $206462177483 *TV^{2+} - 16.2748932584 *TV^{+} 1561.65591938$   
 $Hc = -.00212538265612 *HV^{5+} .029223229481 *HV^{4+} - 129.194583822 *HV^{3+}$   
 $10048.897208 *HV^{2+} - 390292.854829 *HV^{+} 6.05845199201E+6$   
 $Hc = -1.29906277261E-7 *Cp^{5+} 7.14317922303E-5 *Cp^{4+} -.00852919120246 *Cp^{3+}$   
 $.421764961953 *Cp^{2+} 19.2314066643 *Cp^{+} 98.823134483$   
 $Hr = 59445.8368359 *VA^{5+} - 185863.933553 *VA^{4+} 219773.596754 *VA^{3+} - 122855.016284$   
 $*VA^{2+} 33585.7868371 *VA^{+} - 2008.11522289$   
 $Hr = -.014684412461 *Pc^{5+} 2.14582680501 *Pc^{4+} - 124.88512735 *Pc^{3+} 3620.04309939$   
 $*Pc^{2+} - 52342.881623 *Pc^{+} 303835.241674$   
 $Hr = -4.66927343036E-9 *Tc^{5+} 5.63961634719E-6 *Tc^{4+} -.00269100836963 *Tc^{3+}$   
 $.642600813953 *Tc^{2+} - 72.9535560498 *Tc^{+} 3779.05002351$   
 $Hr = -4.42595118954E-9 *Vc^{5+} - 8.71552837022E-6 *Vc^{4+} .00678376666233 *Vc^{3+}$   
 $- 2.6800105076 *Vc^{2+} 498.323291443 *Vc^{+} - 3214.7463897$

TS=-1.05982427938E-5 \*Cg^5+ .00789509696331 \*Cg^4+-2.32922715572 \*Cg^3+  
 340.125081462 \*Cg^2+-24580.7579684 \*Cg+ 703409.439434  
 TS=-4.04880022587E-13 \*Hc^5+ 2.13158971897E-9 \*Hc^4+-4.35591874088E-6 \*Hc^3+  
 .00428448900642 \*Hc^2+-1.99374685284 \*Hc+ 356.581841919  
 TS=-1.81328183582E-5 \*RM^5+ .00287191029138 \*RM^4+-1.76777426559 \*RM^3+  
 5.24731285401 \*RM^2+-73.9394925365 \*RM+ 401.055874214  
 TS=-3.09489536881E+6 \*d^5+ 1.00864247853E+7 \*d^4+-1.31205340909E+7 \*d^3+  
 8.51459300877E+6 \*d^2+-2.75630320336E+6 \*d+ 356034.24282  
 TS=-7.01311513921E-8 \*MM^5+ 3.21023204733E-5 \*MM^4+-0.00569355577161 \*MM^3+  
 .48477086982 \*MM^2+-19.4330842811 \*MM+ 299.222987436  
 TS=-1.75085256203E-9 \*Tb^5+ 6.29004690362E-7 \*Tb^4+-7.17620249128E-5 \*Tb^3+  
 .00207396799617 \*Tb^2+-144936800595 \*Tb+ 10.5847476382  
 TS=-6.89759066605E+7 \*n^5+ 4.72838050934E+8 \*n^4+-1.29637741216E+9 \*n^3+  
 1.77690434338E+9 \*n^2+-1.21761407276E+9 \*n+ 3.33701152857E+8  
 TS=-2.69384143258E-12 \*TV^5+ 9.76025023103E-9 \*TV^4+-7.79393697355E-6 \*TV^3+  
 .00181090041139 \*TV^2+-142675608492 \*TV+ 22.5878057171  
 TS= 5.55179855032E-5 \*HV^5+ .020938277873 \*HV^4+ 3.1490374664 \*HV^3+  
 -236.075249361 \*HV^2+ 8822.10928276 \*HV+ -131447.261814  
 TS=-7.92049716102E-6 \*Cp^5+ .00142794605076 \*Cp^4+-0.0998319909103 \*Cp^3+  
 3.35498994247 \*Cp^2+-53.2116516062 \*Cp+ 324.338339858  
 TS= 568.028308183 \*VA^5+-1990.55863958 \*VA^4+ 2726.13044457 \*VA^3+-1832.32290776  
 \*VA^2+ 614.784449559 \*VA+ 65.4419549774  
 TS= 1.21009391226E-5 \*Pc^5+-0.0222354550702 \*Pc^4+ 1.43104226072 \*Pc^3+  
 -4.20556242818 \*Pc^2+ 56.6511894204 \*Pc+-253.379588268  
 TS=-1.08255788259E-9 \*Tc^5+ 1.27445334525E-6 \*Tc^4+-0.000986589717621 \*Tc^3+  
 .131367319861 \*Tc^2+-14.1816743185 \*Tc+ 598.0728046548  
 TS= 1.14269546992E-11 \*Vc^5+-2.89988035086E-8 \*Vc^4+ 2.95243320993E-5 \*Vc^3+  
 -0.0149506979541 \*Vc^2+ 3.76564823541 \*Vc+ -359.668896407

RM=-9.01134781361E-6 \*Cg^5+ .00670891327696 \*Cg^4+-1.97804865782 \*Cg^3+  
 288.661091402 \*Cg^2+-20847.9049248 \*Cg+ 596203.181872  
 RM= 2.61725742436E-16 \*Hc^5+-3.46701468681E-12 \*Hc^4+ 1.15964447725E-8 \*Hc^3+  
 -1.64598497139E-5 \*Hc^2+ .0402217184129 \*Hc+-2.05927436347  
 RM= .00787768226489 \*TS^5+-67613146779 \*TS^4+ 22.8040610699 \*TS^3+  
 -376.382043469 \*TS^2+ 3026.8498004 \*TS+-9408.64837058  
 RM=-721647.156752 \*d^5+ 2.38106162111E+6 \*d^4+-3.10080019072E+6 \*d^3+  
 2.05159540269E+6 \*d^2+-670134.460854 \*d+ 87312.0675275  
 RM= -6.0941056103E-22 \*MM^5+ 2.81864273957E-19 \*MM^4+-5.10450741612E-17 \*MM^3+  
 4.52169309185E-15 \*MM^2+ .329222214301 \*MM+ 1.53628801597  
 RM=-4.67744893128E-11 \*Tb^5+ 2.48741596815E-8 \*Tb^4+-4.72271238746E-6 \*Tb^3+  
 .00061120817049 \*Tb^2+ .108808824289 \*Tb+ 21.0533546373  
 RM=-1.33733500729E+7 \*n^5+ 9.11907299362E+7 \*n^4+-2.48695629522E+8 \*n^3+  
 3.39082742162E+8 \*n^2+-2.3113506891E+8 \*n+ 6.30145493098E+7  
 RM= -9.10306607367E-12 \*TV^5+ 3.29313375415E-8 \*TV^4+-2.61703414172E-5 \*TV^3+  
 .00602909231804 \*TV^2+-476558282103 \*TV+ 46.6280776358  
 RM=-6.13869557022E-5 \*HV^5+ .0239486959527 \*HV^4+-3.73100473244 \*HV^3+  
 290.182747992 \*HV^2+-11269.8493077 \*HV+ 174933.180755  
 RM=-7.65536301068E-20 \*Cp^5+ 1.37456251941E-17 \*Cp^4+-9.68003581202E-16 \*Cp^3+  
 3.34138302971E-14 \*Cp^2+ .847339449541 \*Cp+ 1.12387889909  
 RM= 1762.17581098 \*VA^5+-5511.2983589 \*VA^4+ 6519.06952556 \*VA^3+-3645.70105075  
 \*VA^2+ 996.972608839 \*VA+-62.9383897112  
 RM=-.000429655417553 \*Pc^5+ .0627498136098 \*Pc^4+-3.64989266489 \*Pc^3+  
 105.238966423 \*Pc^2+-1528.05843161 \*Pc+ 8866.4963882  
 RM=-1.45173491565E-10 \*Tc^5+ 1.73998697362E-7 \*Tc^4+-8.24617422265E-5 \*Tc^3+  
 .0195495552426 \*Tc^2+-2.20746752906 \*Tc+ 114.024137933  
 RM= 1.30714831662E-10 \*Vc^5+-2.57571997231E-7 \*Vc^4+ .000200615005236 \*Vc^3+

MM=-2.73716274971E-5 \*Cg^5+ .0203780698432 \*Cg^4+-6.0002478396 \*Cg^3+  
 876.7797126267 \*Cg^2+-63324.7211737 \*Cg+-1.81093990528E+6  
 MM= 7.94982024512E-16 \*Hc^5+-1.05309257281E-11 \*Hc^4+ 3.5223761547E-8 \*Hc^3+  
 -4.99961697569E-5 \*Hc^2+ .12217194547 \*Hc+-10.921384473  
 MM= 4.88230855528E-19 \*RM^5+-7.80828768956E-17 \*RM^4+ 4.89943017871E-15 \*RM^3+  
 -1.50699382151E-13 \*RM^2+ 3.03746210481 \*RM+-4.66641663059  
 MM= .0239281613533 \*TS^5+-2.0536680619 \*TS^4+ 69.2664713355 \*TS^3+-1143.24862394  
 \*TS^2+ 919.3.94156566 \*TS+-28583.0792997  
 MM=-2.19197589168E+6 \*d^5+ 7.23238444332E+6 \*d^4+-9.50968693703E+6 \*d^3+  
 6.23164329006E+6 \*d^2+-2.03550802997E+6 \*d+-265202.429991  
 MM=-5.42075738759E-10 \*Tb^5+ 7.55543174214E-8 \*Tb^4+-1.43450599088E-5 \*Tb^3+  
 .00185652165601 \*Tb^2+ .330502681965 \*Tb+-61.712319943  
 MM=-4.06210440609E+7 \*n^5+ 2.76988386491E+8 \*n^4+-7.55403550305E+8 \*n^3+  
 1.02995097971E+9 \*n^2+-7.02064012908E+8 \*n+-1.91404300914E+8  
 MM=-2.76502182363E-11 \*TV^5+ 1.00027609843E-7 \*TV^4+-7.94914203247E-5 \*TU^3+  
 .0183131394424 \*TU^2+-1.44752772262 \*TV+-136.964602208  
 MM=-.000186460551675 \*HV^5+ .0722743256416 \*HV^4+-11.3327854877 \*HV^3+  
 881.419100495 \*HV^2+-34231.7401989 \*HV+ 531348.241  
 MM=-3.35577591701E-20 \*Cp^5+ 5.4711731607E-18 \*Cp^4+-3.48203969273E-16 \*Cp^3+  
 1.08982356633E-14 \*Cp^2+ 2.57376146789 \*Cp+-1.25267706422  
 MM= 5352.54224786 \*VA^5+-16740.3356138 \*VA^4+ 19801.4266425 \*VA^3+-11073.6787871  
 \*VA^2+ 3028.26712637 \*VA+-256.588632412  
 MM=-.00130506204894 \*Pc^5+ .190600180924 \*Pc^4+-11.0864106562 \*Pc^3+  
 321.178103511 \*Pc^2+-4641.41952995 \*Pc+-26926.9803649  
 MM=-4.4095897925F-10 \*Tc^5+ 5.28514449524E-7 \*Tc^4+-0.000250474417109 \*Tc^3+  
 .0593810332152 \*Tc^2+-6.70509896712 \*Tc+-341.672581375  
 MM= 3.97038917741E-10 \*Vc^5+-7.82365180848E-7 \*Vc^4+ .000609360476059 \*Vc^3+  
 -.234482932466 \*Vc^2+ 44.8208807038 \*Vc+-3352.44497756

Tb=-7.57708834774E-5 \*Cg^5+ .0564249162764 \*Cg^4+-16.6404849395 \*Cg^3+  
 2429.01641498 \*Cg^2+-175477.208203 \*Cg+-5.01944344113E+6  
 Tb= 3.23856379112E-13 \*Hc^5+-1.98708587117E-9 \*Hc^4+ 4.46047922162E-6 \*Hc^3+  
 -.00522345780816 \*Hc^2+ 3.27046081383 \*Hc+-862.618553562  
 Tb= 1.36872728301E-5 \*RM^5+-0.0244316912562 \*RM^4+ 170980383829 \*RM^3+  
 -.99938735273 \*RM^2+ 112.579971978 \*RM+-891.902985689  
 Tb= .0527169010552 \*TS^5+-4.5225611464 \*TS^4+ 152.450081431 \*TS^3+-2514.71846843  
 \*TS^2+ 2021.3.9296384 \*TS+-62963.879386  
 Tb=-5.93228036497E+6 \*d^5+ 1.9302484468E+7 \*d^4+-2.52357025291E+7 \*d^3+  
 1.63889677466E+7 \*d^2+-5.38984361109E+6 \*d+-686190.22042  
 Tb= 5.32109474557E-8 \*MM^5+-2.74486727275E-9 \*MM^4+ .00507213424564 \*MM^3+  
 -.568540679475 \*MM^2+ 31.3821146298 \*MM+-732.500893086  
 Tb=-7.16271592927E+2 \*n^5+ 4.8750802235E+8 \*n^4+-1.32708826953E+9 \*n^3+  
 1.80610212993E+9 \*n^2+-1.22880660026E+9 \*n+-3.34425646317E+8  
 Tb=-4.81741596044E-11 \*TV^5+ 1.74175403159E-7 \*TV^4+-0.0001386523224 \*TV^3+  
 .0321359041449 \*TV^2+-2.61064724384 \*TV+-159.037595571  
 Tb=-.000324153172934 \*HV^5+ .126478033063 \*HV^4+-19.7052741558 \*HV^3+  
 1532.50084583 \*HV^2+-59506.7696739 \*HV+-923316.310891  
 Tb= 6.06602627212E-6 \*Cp^5+-0.0121922795194 \*Cp^4+ .9974451447493 \*Cp^3+  
 -3.90671135199 \*Cp^2+ 84.5042633488 \*Cp+-772.715732976  
 Tb= 12926.5911266 \*VA^5+-40837.6993385 \*VA^4+ 49015.6075197 \*VA^3+-28005.0913131  
 \*VA^2+ 7852.2923949 \*VA+-844.88767779  
 Tb=-.00284181041293 \*Pc^5+ .411252985509 \*Pc^4+-23.7028687091 \*Pc^3+  
 680.295768912 \*Pc^2+-9736.14946646 \*Pc+-55794.6539744  
 Tb= 9.1676495178E-10 \*Tc^5+ 1.08459294052E-6 \*Tc^4+-0.000508064752946 \*Tc^3+  
 .118194333498 \*Tc^2+-12.8020021705 \*Tc+-493.843171707  
 Tb= 9.34724422133E-10 \*Vc^5+-1.8670996707E-6 \*Vc^4+ .00147605741741 \*Vc^3+  
 -.577340880465 \*Vc^2+ 112.493621407 \*Vc+-8737.5916429

$n = -5.29595224845E-8 * Cg^{5+} 3.9448176884E-5 * Cg^{4+-} .0116369724584 * Cg^{3+}$   
 $1.69912399019 * Cg^{2+-} .122.783114263 * Cg^+ 3514.50574062$   
  
 $n = 3.60055759167E-16 * Hc^{5+} -2.09547153739E-12 * Hc^{4+-} 4.91197374283E-9 * Hc^{3+}$   
 $-5.84333454714E-6 * Hc^{2+-} .00362751938853 * Hc^+ 1409358962220$   
  
 $n = 1.554743964107E-8 * RM^{5+} -2.69032996109E-6 * RM^{4+-} .000189730289653 * RM^{3+}$   
 $-1.00677436594338 * RM^{2+-} .126211831035 * RM^+ .367463993797$   
  
 $n = 2.61101128071F-5 * TS^{5+} -.00223229407191 * TS^{4+-} .0749950045113 * TS^{3+}$   
 $-1.23327469015 * TS^{2+-} 9.88057290034 * TS^+ -29.414986372$   
  
 $n = -1122.60459552 * d^{5+} 3816.69104242 * d^{4+-} 5160.84999806 * d^{3+} 3469.35270803 * d^+$   
 $21.1159.9668812 * d^+ 155.575135834$   
  
 $n = 5.98493414506E-11 * MM^{5+} -3.03089034974E-8 * MM^{4+-} 6.19175712476E-6 * MM^{3+}$   
 $-1.00643554296962 * MM^{2+-} .0351280077077 * MM^+ 1.546046062519$   
  
 $n = 2.39029002975E-13 * Tb^{5+} -6.56027140301E-11 * Tb^{4+-} 1.31809102855E-8 * Tb^{3+}$   
 $-3.04929055439E-6 * Tb^{2+-} .000750128361425 * Tb^+ 1.3260991166$   
  
 $n = -1.97136512140E-14 * TV^{5+} 7.13048440635E-11 * TV^{4+-} 5.66369651645E-8 * TV^{3+}$   
 $1.30397219439E-5 * TV^{2+-} .0010528008432 * TV^+ 1.41054374014$   
  
 $n = -1.3854639048E-7 * HV^{5+} 5.43497515854E-5 * HV^{4+-} .00851317125365 * HV^{3+}$   
 $.605520935889 * HV^{2+-} -25.9701114842 * HV^+ 406.146298199$   
  
 $n = 6.7592864175E-9 * Cp^{5+} -1.34642305711E-6 * Cp^{4+-} .000108169982494 * Cp^{3+}$   
 $-1.00441909985498 * Cp^{2+-} .0946380494685 * Cp^+ .501019150076$   
  
 $n = 7.27442727033 * VA^{5+} -23.3496379074 * VA^{4+-} 28.6801654901 * VA^{3+} -16.9327207988$   
 $* VA^{2+-} 4.92918703929 * VA^+ .784242216139$   
  
 $n = -1.58648432849E-6 * Pc^{5+} .000228030876342 * Pc^{4+-} .0130606893184 * Pc^{3+}$   
 $.372578212435 * Pc^{2+-} -5.29783337419 * Pc^+ 31.4677912247$   
  
 $n = -3.68224683456E-13 * Tc^{5+} 4.7236056452BE-10 * Tc^{4+-} -2.34515960087E-7 * Tc^{3+}$   
 $5.5605728098E-5 * Tc^{2+-} .00576978851292 * Tc^+ 1.52587366515$   
  
 $n = 5.28955286313E-13 * Vc^{5+} -1.07263451719E-9 * Vc^{4+-} 8.63019164079E-7 * Vc^{3+}$   
 $-1.000344827029554 * Vc^{2+-} .0687489658543 * Vc^+ -4.139621111967$

$TU = .00342332922804 * Cg^{5+} -2.55103354976 * Cg^{4+-} 752.8618112 * Cg^{3+} -109975.557096$   
 $* Cg^{2+-} 7.95020584726E+6 * Cg^+ -2.27610456484E+8$   
  
 $TV = -6.60148493092E-11 * Hc^{5+} 3.90811178223E-7 * Hc^{4+-} .000923118294049 * Hc^{3+}$   
 $1.08946012854 * Hc^{2+-} -644.894718751 * Hc^+ 153159.562083$   
  
 $TV = .00287891225737 * RM^{5+} .511698132981 * RM^{4+-} -36.2947555814 * RM^{3+}$   
 $1286.49831371 * RM^{2+-} -22844.2270724 * RM^+ 163132.645999$   
  
 $TV = .342222883793 * TS^{5+} 29.0198463149 * TS^{4+-} -967.591443461 * TS^{3+} 15825.3773333$   
 $* TS^{2+-} -126761.912098 * TS^+ 397773.001983$   
  
 $TV = 6.46445469149E+7 * d^{5+} -2.10609536111E+8 * d^{4+-} 2.73323592101E+8 * d^{3+}$   
 $-1.76476168002E+8 * d^{2+-} 5.66303659665E+7 * d^+ -7.21537273449E+6$   
  
 $TV = -1.11345063273E-5 * MM^{5+} .00525144000217 * MM^{4+-} -1.18534469317 * MM^{3+}$   
 $122.083343684 * MM^{2+-} -6301.64521912 * MM^+ 138944.926336$   
  
 $TV = -5.29652988056E-8 * Tb^{5+} 3.13731699649E-5 * Tb^{4+-} .00710582528941 * Tb^{3+}$   
 $.868038372228 * Tb^{2+-} -58.8084118077 * Tb^+ 1791.84442051$   
  
 $TV = 1.35064211326E+8 * n^{5+} -9.14731661633E+8 * n^{4+-} 2.45683000273E+9 * n^{3+}$   
 $-3.28949037006E+9 * n^{2+-} 2.19482642525E+9 * n^+ -5.83574559904E+8$   
  
 $TV = -1.00120487951524 * HV^{5+} .464088840269 * HV^{4+-} -70.8901329726 * HV^{3+}$   
 $5376.54614049 * HV^{2+-} -202706.895559 * HV^+ 3.04280805378E+6$   
  
 $TV = -1.00125752190922 * Cp^{5+} .255437245782 * Cp^{4+-} -20.7035368155 * Cp^{3+}$   
 $838.578641905 * Cp^{2+-} -17020.626166 * Cp^+ 139032.770161$   
  
 $TV = -364626.65433 * VA^{5+} 1.22706528325E+6 * VA^{4+-} -1.59854460286E+6 * VA^{3+}$   
 $1.01054390769E+6 * VA^{2+-} -311849.571517 * VA^+ 38026.8400869$   
  
 $TV = .0603956551214 * Pc^{5+} -8.31827772539 * Pc^{4+-} 456.752218315 * Pc^{3+}$   
 $-12492.3305311 * Pc^{2+-} 170141.611136 * Pc^+ -923040.372467$   
  
 $TV = 9.85597867238E-9 * Tc^{5+} -8.94607055022E-6 * Tc^{4+-} .00212576032887 * Tc^{3+}$   
 $.275012357345 * Tc^{2+-} -172.528904771 * Tc^+ 18135.2167862$   
  
 $TV = -2.89136546821E-8 * Vc^{5+} 6.1402574643E-5 * Vc^{4+-} .0518034612404 * Vc^{3+}$   
 $21.7172810466 * Vc^{2+-} -4529.09842099 * Vc^+ 376591.053921$

$HV = 1.22867094561E-5 *Cg^5 + .00915150816575 *Cg^4 + 2.69949126489 *Cg^3 +$   
 $-394.135631095 *Cg^2 + 26480.0483252 *Cg + .814779.866719$   
 $HV = -7.62051456022E-14 *Hc^5 + 5.0188524561E-10 *Hc^4 + -1.28014459769E-6 *Hc^3 +$   
 $.00159947437367 *Hc^2 + -1.00016355057 *Hc + 339.897828618$   
 $HV = -3.21391310869E-6 *RM^5 + .000638188708381 *RM^4 + -.049050888982 *RM^3 +$   
 $1.84619735995 *RM^2 + -35.0277926941 *RM + 351.613058251$   
 $HV = .00568493433943 *TS^5 + .490207301882 *TS^4 + 16.5987218697 *TS^3 +$   
 $274.890995030 *TS^2 + -2212.6789816 *TS + 7016.43919012$   
 $HV = 2.47724065517E+6 *d^5 + -94514831883E+6 *d^4 + 1.01754675602E+7 *d^3 +$   
 $-6.5047258306E+6 *d^2 + 2.07535121648E+6 *d + -264265.912318$   
 $HV = -1.24302478397E-8 *MM^5 + 7.20728942186E-6 *MM^4 + -.00161307159051 *MM^3 +$   
 $176568210417 *MM^2 + -9.72571985875 *MM + 301.983312812$   
 $HV = 2.19962807905E-10 *Tb^5 + -3.45561433564E-8 *Tb^4 + -2.8189561416E-6 *Tb^3 +$   
 $.000879313129865 *Tb^2 + .178241323459 *Tb + 95.3503197882$   
 $HV = 2.95225723586E+7 *n^5 + -2.01087810452E+8 *n^4 + 5.47813838408E+8 *n^3 +$   
 $-7.46115606079E+8 *n^2 + 5.08048378137E+8 *n + -1.38362292105E+8$   
 $HV = 2.54828655789E-12 *TV^5 + -9.28329059811E-9 *TV^4 + 7.56234403516E-6 *TV^3 +$   
 $-.0018837696394 *TV^2 + .188652874902 *TV + 67.1433756056$   
 $HV = -1.4038517944E-6 *Cp^5 + .000319676984815 *Cp^4 + -.0281206710075 *Cp^3 +$   
 $1.2102387739 *Cp^2 + -26.3185828317 *Cp + 314.509380998$   
 $HV = -1875.94168443 *VA^5 + 6023.70821084 *VA^4 + -7382.00985187 *VA^3 + 4330.21313817$   
 $*VA^2 + -1245.48712159 *VA + 222.185539779$   
 $HV = .000265109462152 *Pc^5 + .0370540908735 *Pc^4 + 2.06006984625 *Pc^3 +$   
 $-56.9527539711 *Pc^2 + 784.204882979 *Pc + -4244.05688864$   
 $HV = 3.10088386067E-10 *Tc^5 + -3.38968374971E-7 *Tc^4 + .000145482904875 *Tc^3 +$   
 $-.030514033005 *Tc^2 + 3.0008752438 *Tc + -20.8018812485$   
 $HV = -1.2475637405E-10 *Vc^5 + 2.56211460237E-7 *Vc^4 + -.00020833169519 *Vc^3 +$   
 $.083909041059 *Vc^2 + -16.8150557609 *Vc + 1427.04372606$   
  
 $d = -1.09107258216E-7 *Cg^5 + 8.1277338973E-5 *Cg^4 + -.0239782756732 *Cg^3 +$   
 $3.50139136633 *Cg^2 + -253.042879182 *Cg + 7241.55190482$   
 $d = 1.9930494051E-15 *Hc^5 + -1.12619337038E-11 *Hc^4 + 2.52543111675E-8 *Hc^3 +$   
 $-2.82362856839E-5 *Hc^2 + .0159698962523 *Hc + -3.06968984996$   
 $d = 8.72914669323E-8 *RM^5 + -1.47942768495E-5 *RM^4 + .000995826176074 *RM^3 +$   
 $-.0334291735438 *RM^2 + .562451979314 *RM + -3.31285864553$   
 $d = 5.43056523146E-5 *TS^5 + -.00464681389473 *TS^4 + .156220542954 *TS^3 +$   
 $-2.5706174072 *TS^2 + 20.6234253722 *TS + -63.5826400116$   
 $d = 3.37611659722E-10 *MM^5 + -1.65923014851E-7 *MM^4 + 3.23639791098E-5 *MM^3 +$   
 $-.0031482039546 *MM^2 + .155253674041 *MM + -2.51645874687$   
 $d = 4.08268317841E-12 *Tb^5 + -1.5616181099E-9 *Tb^4 + 2.188603132776E-7 *Tb^3 +$   
 $-1.64514123764E-5 *Tb^2 + .00164626772854 *Tb + .578895422757$   
 $d = 107129.672711 *n^5 + -736430.873383 *n^4 + 2.02462372775E+6 *n^3 +$   
 $-2.78264094263E+6 *n^2 + 1.91192706104E+6 *n + -525384.691484$   
 $d = -2.52912021372E-14 *TV^5 + 9.15776962932E-11 *TV^4 + -7.30372159122E-8 *TV^3 +$   
 $1.70831393252E-5 *TV^2 + -.0014820683881 *TV + .718015017253$   
 $d = -3.00401102092E-7 *HV^5 + .000116306250865 *HV^4 + -.0179746280565 *HV^3 +$   
 $1.38635701039 *HV^2 + -53.3688773823 *HV + 821.170965508$   
 $d = 3.81293079962E-8 *Cp^5 + -7.37360156303E-6 *Cp^4 + .000566045986671 *Cp^3 +$   
 $-.021670549595 *Cp^2 + .420281620332 *Cp + -2.7159456513$   
 $d = 16.105013006 *VA^5 + -51.7582123047 *VA^4 + 63.6358544672 *VA^3 + -37.5775625828 *$   
 $*VA^2 + 10.8935363648 *VA + .627849172547$   
 $d = -3.35798860571E-6 *Pc^5 + .000478618437122 *Pc^4 + -.0271569931275 *Pc^3 +$   
 $.766628545494 *Pc^2 + -10.7741410981 *Pc + 61.0617010781$   
 $d = 1.1181878545E-12 *Tc^5 + -1.30597279788E-9 *Tc^4 + 5.98750751733E-7 *Tc^3 +$   
 $-.000136352445603 *Tc^2 + .0164498780174 *Tc + -.26683685776$   
 $d = 1.21361575731E-12 *Vc^5 + -2.47666550507E-9 *Vc^4 + 2.0026603586E-6 *Vc^3 +$   
 $-.000802967883801 *Vc^2 + .160247816279 *Vc + -12.1620774298$

VA=-1.97192980693E-7 \*Cg^5+ .000146649343113 \*Cg^4+- .0431904624175 \*Cg^3+  
6.29567318978 \*Cg^2+-454.153064887 \*Cg+ 12971.7582396

VA=-4.017358929472E-14 \*Hc^5+ 2.18167432177E-10 \*Hc^4+-4.6518781653E-7 \*Hc^3+  
.000486084409896 \*Hc^2+- .249248320045 \*Hc+ 50.0707098104

VA=-1.78153948421E-6 \*RM^5+ .000290781366851 \*RM^4+- .018645895396 \*RM^3+  
.587245838001 \*RM^2+-9.05398277984 \*RM+ 54.8063138399

VA= 1.02634021007E-5 \*TS^5+- .000984870168307 \*TS^4+ .037188716823 \*TS^3+  
-.676449814076 \*TS^2+ 5.89469812923 \*TS+-17.3222247372

VA=-204806.299121 \*d^5+ 670724.954915 \*d^4+-876307.179835 \*d^3+ 570963.750524 \*d  
^2+-185526.000126 \*d+ 24050.9720108

VA=-6.89034725932E-9 \*MM^5+ 3.25527504535E-6 \*MM^4+- .000603088448692 \*MM^3+  
.05477248733104 \*MM^2+-2.42883049911 \*MM+ 42.2167910482

VA=-1.36629408778E-10 \*Tb^5+ 5.04632542687E-8 \*Tb^4+-6.22795529194E-6 \*Tb^3+  
.000297205054284 \*Tb^2+ .00047041921006 \*Tb+ .2050869082517

VA=-5.58552249782E+6 \*n^5+ 3.82846062229E+7 \*n^4+-1.04951130896E+8 \*n^3+  
1.43834415772E+8 \*n^2+-9.85488111807E+7 \*n+ 2.70849221435E+7

VA=-5.46025622777E-13 \*TV^5+ 1.97475845058E-9 \*TV^4+-1.56726035176E-6 \*TV^3+  
.000358184230759 \*TV^2+- .0266449869963 \*TV+ 1.23237290009

VA= 1.55463926133E-6 \*HV^5+- .000557438737967 \*HV^4+ .0291211285619 \*HV^3+  
-5.54566994322 \*HV^2+ 191.379951378 \*HV+ -2589.28684457

VA=-7.78184513195E-7 \*Cp^5+ .000144737379976 \*Cp^4+- .0105621338497 \*Cp^3+  
.378059637132 \*Cp^2+-6.61180204329 \*Cp+ 45.3464775461

VA= 2.13065061955E-6 \*Pc^5+- .000224657700987 \*Pc^4+ .00731096550282 \*Pc^3+  
-.0214996097627 \*Pc^2+-2.85442507873 \*Pc+ 38.2807643314

VA=-7.9092943111BE-11 \*Tc^5+ 9.33754990713E-8 \*Tc^4+-4.31526147021E-5 \*Tc^3+  
.00975739357577 \*Tc^2+-1.07488583486 \*Tc+ 46.2238177709

VA=-1.69741860019E-12 \*Vc^5+ 3.75088044108E-9 \*Vc^4+-3.19140440856E-6 \*Vc^3+  
.00131422301733 \*Vc^2+- .260468510321 \*Vc+ 20.6982985415

Cp=-1.06348734483E-5 \*Cg^5+ .00791762177553 \*Cg^4+-2.3342295044 \*Cg^3+  
340.667593794 \*Cg^2+-24603.958822 \*Cg+ 703616.547436

Cp= 3.08079449176E-16 \*Hc^5+-4.09164790888E-12 \*Hc^4+ 1.3685713298E-8 \*Hc^3+  
-1.9425331516E-5 \*Hc^2+ .0474682471525 \*Hc+ -3.7566447122

Cp= 2.11566357395E-19 \*RM^5+-3.34225614821E-17 \*RM^4+ 2.07386768035E-15 \*RM^3+  
-6.31638952163E-14 \*RM^2+ 1.18016457341 \*RM+ -1.3263628615

Cp= .00929696152959 \*TS^5+- .797924783444 \*TS^4+ 26.9125450045 \*TS^3+  
-444.193697901 \*TS^2+ 3572.18090346 \*TS+-11105.0798527

Cp= -851662.4089 \*d^5+ 2.81004457233E+6 \*d^4+-3.69485947151E+6 \*d^3+  
2.42122021322E+6 \*d^2+-790868.95012 \*d+ 103041.282565

Cp= 7.16953601212E-23 \*MM^5+-2.75405776679E-20 \*MM^4+ 4.05145126923E-18 \*MM^3+  
-2.85688735299E-16 \*MM^2+ 388536394097 \*MM+ .4067106295

Cp=-5.52015952262E-11 \*Tb^5+ 2.93956620494E-8 \*Tb^4+-5.57357785007E-6 \*Tb^3+  
.00072132622979 \*Tb^2+ .12841232029 \*Tb+ 24.4641928915

Cp=-1.57822539839E+7 \*n^5+ 1.07620068894E+8 \*n^4+-2.93501771524E+8 \*n^3+  
4.00173439754E+8 \*n^2+-2.7277742E+8 \*n+ 7.43675373784E+7

Cp=-1.07431160895E-11 \*TV^5+ 3.88643979215E-8 \*TV^4+-3.08853098146E-5 \*TV^3+  
.00711532116356 \*TV^2+-562417201782 \*TV+ 53.7024432904

Cp= 5.0620409498E-6 \*HV^5+- .00189680277826 \*HV^4+ .28413274246 \*HV^3+  
-21.2386656545 \*HV^2+ 789.514094075 \*HV+ -11574.1664752

Cp= 2079.65746423 \*VA^5+-6504.22963535 \*VA^4+ 2693.57490565 \*VA^3+-4302.52722533  
\*VA^2+ 1176.59198964 \*VA+-99.2073113743

Cp=-.000507064102569 \*Pc^5+ .0240551070103 \*Pc^4+-4.30747401985 \*Pc^3+  
124.789382201 \*Pc^2+-1803.36042708 \*Pc+ 10462.5985655

Cp=-1.71328611743E-10 \*Tc^5+ 2.05347098446E-7 \*Tc^4+-9.73184268373E-5 \*Tc^3+  
.0230716925232 \*Tc^2+-2.60517497475 \*Tc+ 133.240886041

Cp= 1.54264069415E-10 \*Vc^5+-3.03977346234E-7 \*Vc^4+ .000236758722073 \*Vc^3+  
-.0911051530578 \*Vc^2+ 17.4145433689 \*Vc+-1302.06017236

$Pc = 5.3092644346E-6 *Cg^5+- .0039519156651 *Cg^4+ 1.15490657079 *Cg^3+$   
 $-169.951886943 *Cg^2+ 12270.6129116 *Cg+-350740.746531$   
 $Pc = 3.91426985969E-13 *Hc^5+-2.14649370332E-9 *Hc^4+ 4.64726786442E-6 *Hc^3+$   
 $-.00495219746216 *Hc^2+ 2.5715231988 *Hc+-481.953096602$   
 $Pc = 1.74582933865E-5 *RM^5+- .00287640064379 *RM^4+ 187185589615 *RM^3+$   
 $-.599899067489 *RM^2+ 93.8042264217 *RM+-533.760853745$   
 $Pc = -.0038724203178 *TS^5+- .333804324255 *TS^4+-11.2955114051 *TS^3+ 186.794005076$   
 $*TS^2+-1503.70114436 *TS+ 4722.30950226$   
 $Pc = 3.10052065259E+6 *d^5+-1.00189918104E+7 *d^4+ 1.29364619459E+7 *d^3+$   
 $-.33111499213E+6 *d^2+ 2.67954686154E+6 *d+-344105.728437$   
 $Pc = 6.75223339443E-8 *MM^5+-3.22159413788E-5 *MM^4+ .00606340090223 *MM^3+$   
 $-.561053425657 *MM^2+ 25.2368629605 *MM+-403.148401795$   
 $Pc = 1.30250809014E-9 *Tb^5+-4.82125956589E-7 *Tb^4+ 6.43567093038E-5 *Tb^3+$   
 $-.00352280611242 *Tb^2+- .039586521874 *Tb+ 36.1314692281$   
 $Pc = 5.03450457019E+7 *n^5+-3.44488729613E+8 *n^4+ 9.42800287585E+8 *n^3+$   
 $-.29003282723E+9 *n^2+ 8.82506729818E+8 *n+-2.4146888217E+8$   
 $Pc = 1.99395554409E-12 *TV^5+-7.27114663228E-9 *TV^4+ 5.94206144904E-6 *TV^3+$   
 $-.00149056889231 *TV^2+ .150698747035 *TV+ 21.9765353382$   
 $Pc = -3.1954893094E-5 *HV^5+- .0120432207731 *HV^4+-1.81242202408 *HV^3+$   
 $136.149613435 *HV^2+-5104.62825516 *HV+ 76424.7355782$   
 $Pc = 7.62986159923E-6 *Cp^5+- .0014322148001 *Cp^4+ .106146575807 *Cp^3+$   
 $-3.86951823734 *Cp^2+ 68.6455608376 *Cp+-435.652444505$   
 $Pc = -575.347539896 *VA^5+- 1755.36842446 *VA^4+-2009.83371596 *VA^3+ 1090.04598961$   
 $*VA^2+-304.702489472 *VA+ 69.2318555988$   
 $Pc = 7.62974729414E-10 *Tc^5+-8.97635684319E-7 *Tc^4+ .000417061330616 *Tc^3+$   
 $-.095467752871 *Tc^2+ 10.6540488596 *Tc+-424.466230676$   
 $Pc = -2.80997169618E-12 *Vc^5+- 2.82406687436E-9 *Vc^4+ 1.9994379556E-8 *Vc^3+$   
 $-.000812253310314 *Vc^2+ .228329455589 *Vc+ 21.7927927514$   
  
 $Tc = -.000101051081711 *Cg^5+ .075261797905 *Cg^4+-22.1992360007 *Cg^3+$   
 $3240.96166412 *Cg^2+-234174.090568 *Cg+ 6.69979471885E+6$   
 $Tc = 1.25993065801E-12 *Hc^5+-7.17983136741E-9 *Hc^4+ 1.62463961472E-5 *Hc^3+$   
 $-.0183136344409 *Hc^2+ 10.5248923799 *Hc+-2311.89314492$   
 $Tc = 5.51523359254E-5 *RM^5+- .00942016975223 *RM^4+ .639249487324 *RM^3+$   
 $-21.6196032851 *RM^2+ 372.581688428 *RM+-2464.2297324$   
 $Tc = .0600362287785 *TS^5+-5.21451122675 *TS^4+ 175.631975769 *TS^3+$   
 $-2895.18366947 *TS^2+ 23261.6658158 *TS+-72292.7752843$   
 $Tc = -3.2067632521E+6 *d^5+-1.05572376436E+7 *d^4+-1.38495613243E+7 *d^3+$   
 $9.05347835504E+6 *d^2+-2.94903035246E+6 *d+ 382981.393319$   
 $Tc = 2.13309191324E-7 *MM^5+- .00010568931786 *MM^4+ .0207914458374 *MM^3+$   
 $-2.03819971306 *MM^2+ 102.23829801 *MM+-1940.59726023$   
 $Tc = 2.1950181107E-9 *Tb^5+-8.4906355932E-7 *Tb^4+ .000122988862007 *Tb^3+$   
 $-.00080713372848 *Tb^2+ 1.43753313476 *Tb+ 152.238118513$   
 $Tc = -4.2506895339E+6 *n^5+- 2.57339253959E+7 *n^4+-6.12606162984E+7 *n^3+$   
 $7.12939254041E+7 *n^2+-4.02167883088E+7 *n+ 8.66843251517E+6$   
 $Tc = -5.16741559528E-11 *TV^5+- 1.86979837E-7 *TV^4+- .000148724541363 *TV^3+$   
 $.0343916404514 *TV^2+-2.78680970497 *TV+ 330.696010698$   
 $Tc = -.000413708586375 *HV^5+- .160837850274 *HV^4+-24.9711877348 *HV^3+$   
 $1935.43953536 *HV^2+-74900.412208 *HV+ 1.15038072327E+6$   
 $Tc = 2.40907900521E-5 *Cp^5+- .00469634353713 *Cp^4+ .363564208884 *Cp^3+$   
 $-14.0257450111 *Cp^2+ 276.533738275 *Cp+-2071.90838453$   
 $Tc = 16540.4844281 *VA^5+-52674.0542888 *VA^4+ 63924.4836794 *VA^3+-37058.3528147$   
 $*VA^2+ 10531.3285543 *VA+-993.912736632$   
 $Tc = -.0036722863595 *Pc^5+- .528950394663 *Pc^4+-30.3463309606 *Pc^3+$   
 $866.939531589 *Pc^2+-12346.4891821 *Pc+ 70507.7370144$   
 $Tc = 1.24987685774E-9 *Vc^5+-2.51866644282E-6 *Vc^4+ .00201020338325 *Vc^3+$   
 $-.794804245105 *Vc^2+ 156.356120914 *Vc+ 12102.8703668$

$Vc = -8.82292850866E-5 *Cg^5+ .0656482578478 *Cg^4+-19.3440822221 *Cg^3+$   
 $2821.19543186 *Cg^2+-203626.721062 *Cg+ 5.81959140718E+6$

$Vc = -9.87682257831E-12 *Hc^5+ 4.82267765232E-8 *Hc^4+- .000101063106523 *Hc^3+$   
 $.1043979582 *Hc^2+-52.783448774 *Hc+ 10067.8285149$

$Vc = -.00040471498305 *RM^5+ .0646438148705 *RM^4+- .07441626389 *RM^3+$   
 $126.652817382 *RM^2+-1928.92157499 *RM+ 11730.5187506$

$Vc = .0390884698289 *TS^5+-3.47937380394 *TS^4+ 121.213691241 *TS^3+$   
 $-2056.60860855 *TS^2+ 16922.9195861 *TS+-53434.969741$

$Vc = -1.07372529683E+8 *d^5+ 3.45790850351E+8 *d^4+-4.44624537034E+8 *d^3+$   
 $2.85419711149E+8 *d^2+-9.1437131912E+7 *d+ 1.16959269115E+7$

$Vc = -1.56529846871E-6 *MM^5+ .000722901089631 *MM^4+- .131555136194 *MM^3+$   
 $11.7898399338 *MM^2+-516.119670769 *MM+ 9051.64634198$

$Vc = -3.63772697762E-8 *Tb^5+ 1.22758318642E-5 *Tb^4+- .00142794771508 *Tb^3+$   
 $.068642386061 *Tb^2+ .644330577007 *Tb+ 258.613977903$

$Vc = -1.88216575875E+9 *n^5+ 1.28659312031E+10 *n^4+-3.51755913702E+10 *n^3+$   
 $4.80804494959E+10 *n^2+-3.28565982783E+10 *n+ 8.98035767916E+9$

$Vc = -5.12410641568E-11 *TV^5+ 1.87394749312E-7 *TV^4+- .000154617593413 *TV^3+$   
 $.0397095109505 *TV^2+-4.04349501443 *TV+ 555.788926469$

$Vc = .00118279315707 *HV^5+- .452614441747 *HV^4+ 69.1462918146 *HV^3+$   
 $-5271.2757672 *HV^2+ 200497.6131 *HV+-3.04291247398E+6$

$Vc = -.000176781337073 *Cp^5+ .0321515857351 *Cp^4+-2.30508966797 *Cp^3+$   
 $81.4190656545 *Cp^2+-1406.00061001 *Cp+ 9716.93861364$

$Vc = 11850.6600369 *VA^5+-37076.4714833 *VA^4+ 43522.4233399 *VA^3+-23949.0199372$   
 $*VA^2+ 6582.63930794 *VA+-433.979087573$

$Vc = .00215317425351 *Pc^5+- .32223918927 *Pc^4+ 19.1226704287 *Pc^3+$   
 $-561.758816007 *Pc^2+ 8139.10011472 *Pc+-45848.6355836$

$Vc = -2.27548956543E-8 *Tc^5+ 2.60251849067E-5 *Tc^4+- .0117135461465 *Tc^3+$   
 $2.59340626308 *Tc^2+-280.756836767 *Tc+ 12093.3307144$

a- Application des équations obtenues par la méthode du polynôme d'interpolation de Newton :

\* Application aux corps purs :

Soit l'ISOOCTANE dont  $M = 114,2$

Propriété	$P_c$ (atm)	$T_c$ (°C)	$V_c$ (ml/mole)	$d$ (g/ml)	$T_{eb}$ (°C)	$n$	$TV$ (mm Hg)
Valeur calculée	24,5	286,6	488	0,694	117,7	1,3939	20,61
Ecart * (%)	0	0	0	0	0	0	0

Propriété	$\Delta HV$ (Cal/g)	$C_g$ (°K)	$C_p$ (Cal/deg.mole)	$H_c$ (Kcal/mole)	VA (c. poises)	TS (dyn/cm)	RM (ml/mole)
Valeur calculée	70,3	165,6	44,87	1306,28	0,822	20,35	39,14
Ecart * (%)	0	0	0	0	0	0	0

\* Si nous avions utilisé une calculatrice simple (de poche), nous aurions trouvé des écarts non nuls (Ecart par rapport aux valeurs théoriques)

Conclusion : Nous remarquons bien que les équations proposées sont applicables aux corps purs.

\* Application aux mélanges de corps purs :

Nous avons pris 4 corps purs en C<sub>8</sub> de chaque famille :

ISOPARAFFINE : ISOOCTANE

n-PARAFFINE : n-OCTANE

NAPHTENE : CYCLO-OCTANE

AROMATIQUE : ETHYL-BENZENE

	<i>n</i>		<i>d</i> (g/ml)		<i>γ*</i> (est)		<i>T<sub>cb</sub></i> (°C)		<i>TS</i> (dyn/cm)	
	1	2	1	2	1	2	1	2	1	2
Valeur calculée	1,42822	1,43314	0,7597	0,7682	0,7818	0,7846	127,8	128,6	23,8	24,19
Valeur expérimentale	1,42812	1,43411	0,7594	0,7710	0,7713	0,7806	127,1	129,4	24,0	24,4
Ecart (%)	0,007	0,068	0,04	0,36	1,3	0,5	0,55	0,6	0,84	0,87

1- Mélange équimolaire

2- Mélange équivolumétrique

\* La viscosité n'est pas une propriété additive, nous la calculons de la façon suivante :

$$\ln \gamma = \frac{\sum x_i \ln \gamma_i}{\sum x_i}$$

Nous rappelons que  $\gamma = V_A/d$  ( $V_A$  et  $d$  étant prises à la même température)

Conclusion : L'hypothèse d'additivité des propriétés est vérifiée.

- Avec les écarts obtenus nous pouvons dire que les équations proposées sont applicables aux mélanges de corps purs.

## \* Application aux fractions pétrolières :

Connaissant la T<sub>inov</sub> nous déterminerons les autres propriétés\* ( $n$ ,  $d$  et MM)

	Essence normale	Naphta	Kérosène
$d$ calculée (g/ml)	0,7617	0,7586	0,8035
Ecart ** (%)	3,1	0,8	1,2
$n$ calculée	1,4307	1,4256	1,4457
Ecart (%)	0,15	0,24	0,09
$M$ calculée (g)	97	121	163
M <sub>calorique</sub>	M <sub>Kuop</sub>	4,9	5,5
	M <sub>Hug</sub>	3,0	2,4
	M <sub>Huang</sub>	1,0	6,9

\* Nous n'avions pas la possibilité de calculer  $\nu$  et  $T_S$  du moment que les équations liant ces propriétés à  $T_{eb}$  n'ont pas été données dans les thèses antécédantes.

\*\* Ecart par rapport à la valeur expérimentale

Conclusion :

- Les compositions des fractions pétrolières déterminées par la méthode N.D.PA sont assez correctes.
- La formule logarithmique pour la détermination de la masse moléculaire donne de meilleurs résultats.
- L'hypothèse d'additivité des propriétés est acceptable.

## 2- Equations interpropriétés de type $y_i = f(MM, T_{eb})$ :

Nous proposons des équations pour chaque famille d'hydrocarbures, permettant la détermination de certaines propriétés à partir de la connaissance de deux paramètres : Masse moléculaire et température d'ébullition.

**PARAFFINES:** Equations valables dans le domaine suivant : 35 - 175 °C

$$P_c = -0,0925 \text{ MM} - 0,04557 \text{ T}_{eb} + 40,8337$$

$$T_c = 1,0940 \text{ MM} + 0,5390 \text{ T}_{eb} + 102,9808$$

$$V_c = 2,1744 \text{ MM} + 1,0713 \text{ T}_{eb} + 108,9875$$

$$d = 7,785 \text{ E-4 MM} + 3,835 \text{ E-4 T}_{eb} + 0,5613$$

$$\eta = 4,062 \text{ E-4 MM} + 2,001 \text{ E-4 T}_{eb} + 1,3235$$

$$\Delta H_v = -0,1429 \text{ MM} - 0,0704 \text{ T}_{eb} + 97,1884$$

$$C_g = 0,6871 \text{ MM} + 0,3385 \text{ T}_{eb} + 95,3299$$

$$C_p = 0,195 \text{ MM} + 9,606 \text{ E-2 T}_{eb} + 10,7945$$

$$H_c = 5,57 \text{ MM} + 2,744 \text{ T}_{eb} + 326,3902$$

$$RM = 0,1654 \text{ MM} + 8,149 \text{ E-2 T}_{eb} + 10,0718$$

$$TS = 5,989 \text{ E-2 MM} + 2,95 \text{ E-2 T}_{eb} + 10,7115$$

$$R_i = 1,675 \text{ E-5 MM} + 0,825 \text{ E-5 T}_{eb} + 1,04285$$

**NAPHTENES:** Equations valables dans le domaine suivant : 50 - 185 °C

$$P_c = -0,1485 \text{ MM} - 0,0822 \text{ T}_{eb} + 59,3355$$

$$T_c = 1,0171 \text{ MM} + 0,563 \text{ T}_{eb} + 149,3604$$

$$V_c = 2,008 \text{ MM} + 1,1114 \text{ T}_{eb} + 49,2886$$

$$\eta = 1,336 \text{ E-4 MM} + 0,739 \text{ E-4 T}_{eb} + 1,4063$$

$$d = 1,887 \text{ E-4 MM} + 1,044 \text{ E-4 T}_{eb} + 0,7496$$

$$\Delta H_v = -0,1994 \text{ MM} - 0,1104 \text{ T}_{eb} + 110,7674$$

$$C_p = 0,2214 \text{ MM} + 0,1225 \text{ T}_{eb} - 3,1195$$

$$H_c = 5,5189 \text{ MM} + 3,0546 \text{ T}_{eb} + 228,8171$$

$$RM = 0,166 \text{ MM} + 0,0919 \text{ T}_{eb} + 6,3393$$

$$TS = 1,747 \text{ E-2 MM} + 9,667 \text{ E-3 T}_{eb} + 22,1297$$

$$R_i = 3,921 \text{ E-5 MM} + 2,17 \text{ E-5 T}_{eb} + 1,0315$$

AROMATIQUES: Equations valables dans le domaine suivant: 80 - 185 °C

$$P_c = -0,1991 \text{ MM} - 0,1059 \text{ Teb} + 72,3759$$

$$T_c = 0,9056 \text{ MM} + 0,4815 \text{ Teb} + 179,7013$$

$$V_c = 2,1506 \text{ MM} + 1,1434 \text{ Teb} - 1,1518$$

$$d = -1,889 \text{ E-4 MM} - 1,005 \text{ E-4 Teb} + 0,8965$$

$$n = -9,993 \text{ E-5 MM} - 5,313 \text{ E-5 Teb} + 1,510$$

$$\Delta H_v = -0,2154 \text{ MM} - 0,1145 \text{ Teb} + 120,1306$$

$$C_p = 0,2007 \text{ MM} + 0,1067 \text{ Teb} - 4,7023$$

$$H_c = 5,5394 \text{ MM} + 2,9452 \text{ Teb} + 112,3784$$

$$TS = 3,208 \text{ E-3 MM} + 1,706 \text{ E-3 Teb} + 27,7928$$

$$R_i = -0,5466 \text{ E-5 MM} - 2,906 \text{ E-6 Teb} + 1,0617$$

ISOPARAFFINES: Equations valables dans le domaine suivant: 28 - 145 °C

$$P_c = -9,267 \text{ E-2 MM} - 4,538 \text{ E-2 Teb} + 40,4275$$

$$T_c = 1,1068 \text{ MM} + 0,5419 \text{ Teb} + 96,3889$$

$$V_c = 2,1566 \text{ MM} + 1,0558 \text{ Teb} + 117,3193$$

$$d = 8,02 \text{ E-4 MM} + 3,927 \text{ E-4 Teb} + 0,5562$$

$$n = 4,349 \text{ E-4 MM} + 2,129 \text{ E-4 Teb} + 1,3192$$

$$\Delta H_v = -0,1175 \text{ MM} - 5,7504 \text{ E-2 Teb} + 90,485$$

$$C_p = 0,1943 \text{ MM} + 9,5113 \text{ E-2 Teb} + 11,4835$$

$$H_c = 5,5709 \text{ MM} + 2,7275 \text{ Teb} + 348,8839$$

$$R_M = 0,1646 \text{ MM} + 8,059 \text{ E-2 Teb} + 10,8543$$

- Application des équations interpropriétés de type  $y_i = f(MM, Teb)$

\* Application aux corps purs :

Prenons pour chaque famille l'hydrocarbure à 7 carbones :

- ISOPARAFFINE : ISOHEPTANE

- n.PARAFFINE : n.HEPTANE

- NAPHTENE : Methyl cyclohexane.

- AROMATIQUE : TOLUENE.

Propriété	Pc (atm)	Tc (°C)	Vc (ml/mole)	d (g/ml)	n	ΔHV (Cal/g)	Cg (°K)	Cp (Cal/deg.mole)	Hc (Kcal/mole)	RM (ml/mole)	TS (dyn/cm)	Ri
Valueur												
Isoparaffine	Calculée	27,05	256,1	428,6	0,6719	1,3819	73,53	-	39,52	1152,8	34,6	-
Isoparaffine	Théorique	27	257,3	421,0	0,675	1,3829	73,40	-	39,42	1149,9	34,5	-
Paraffine	Calculée	27,08	265,7	432,4	0,6771	1,38391	75,93	197,5	39,79	1154,8	34,7	19,6
Paraffine	Théorique	27	267,1	432,0	0,6795	1,38511	75,61	182,6	39,67	1151,3	34,6	19,8
Aliphatique	Calculée	36,45	306,1	358,6	0,7786	1,4269	80,05	-	30,98	1076,8	31,9	24,8
Aliphatique	Théorique	34,26	299,0	368,0	0,7650	1,42058	75,78	-	32,27	1091,1	32,5	23,2
Hydrocarbure	Calculée	42,31	316,4	323,4	0,868	1,4949	87,61	-	25,59	948,6	-	28,3
Hydrocarbure	Théorique	40,55	318,6	316,0	0,8623	1,49413	86,08	-	24,8	934,5	-	27,9

\* Application aux mélanges de corps purs :

Prenons le même mélange de 4 corps purs (Voir <sup>Partie</sup> expérimentale)

	n		d	
	1	2	1	2
Valeur expérimentale	1,42818	1,43411	0,75935	0,7710
Valeur calculée	1,42796	1,43685	0,7596	0,7603
Ecart (%)	0,015	0,19	0,03	0,14

1 : Mélange équimolaire : MM = 111,7 g  
 $T_{eb} = 127,05^\circ C$

2 : Mélange équivolumétrique : MM = 111,7 g  
 $T_{eb} = 129,38^\circ C$

Remarque : Nous n'avons pas pu déterminer les autres propriétés (V et TS) par manque d'équations.

\* Application aux fractions pétrolières :

- Soit la fraction 5 (Projet de fin d'étude, promotion Janvier 1985, p67) issue de la distillation d'un pétrole brut de GUELLALA dont la composition est :

$$X_p = 70,6 \%$$

$$X_N = 29,4 \%$$

$$X_A = 0 \%$$

sachant  $T_{eb} = 76^\circ C$

$$MM = 90,8 \text{ g}$$

	P <sub>c</sub> (atm)	T <sub>c</sub> (°C)	V <sub>c</sub> (ml/mole)	C <sub>p</sub> (Cal/°C.mole)	ΔHV (Cal/g)	n	RM (ml/mole)	R <sub>i</sub>
Valeur expérimentale	31,7	249,6	371	33,14	77,92	1,3890	30,98	1,0425
Valeur calculée	32,1	255,1	366,7	33,01	80,49	1,3898	30,43	1,04258
Ecart (%)	1,3	2,2	1,2	0,4	3,3	0,06	1,8	0,008

- Soit la fraction 30 (issue de la distillation d'un pétrole brut de Hassi-Messaoud Nord) (10) dont la composition donnée par C.P.G est :

$$X_P = 57,1 \%$$

$$X_N = 0 \%$$

$$X_A = 42,9 \%$$

Sachant  $T_{\text{mav}} = 175^\circ\text{C}$

$$\text{MM} = 137$$

	$P_c$ (atm)	$T_c$ (°C)	$C_p$ (kcal/°C.mole)	$H_c$ (Kcal/mole)	TS (dyn/cm)	Ri
Valeur expérimentale	24,7	356	49,7	1520,7	24,7	1,0501
Valeur calculée	22,9	364,7	48,8	1491,2	25,9	1,0525
Ecart (%)	7,3	2,4	1,8	1,9	4,9	0,2

#### Conclusion:

Nous constatons que ces équations donnent des valeurs assez proches des valeurs expérimentales aussi bien pour les corps purs, les mélanges de corps purs que pour les fractions pétrolières légères (pour la fraction 30, dont la composition en aromatiques est assez élevée, l'erreur devient importante).

Nous n'avons pas pu déterminer les équations de certaines propriétés ( $C_q$  et  $\text{VA}$ ), car les données de celles-ci ne sont pas ordonnées ce qui fait que lorsque nous approximons les courbes de ces paramètres à des droites (approximation au sens des moindres carrés), l'erreur commise est très importante.

### 3. Nomographie :

#### a. Introduction :

La nomographie est la branche des mathématiques qui a pour objet la théorie et les méthodes de construction de graphiques appelés "nomogrammes" ou "abaques", qui permettent de résoudre des équations ou systèmes d'équations.

#### b. Abaques à points alignés :

Pour déterminer la valeur d'une certaine fonction connaissant les valeurs des autres fonctions, il suffit - à l'aide de ces abaques - de relier les points correspondant aux valeurs données.

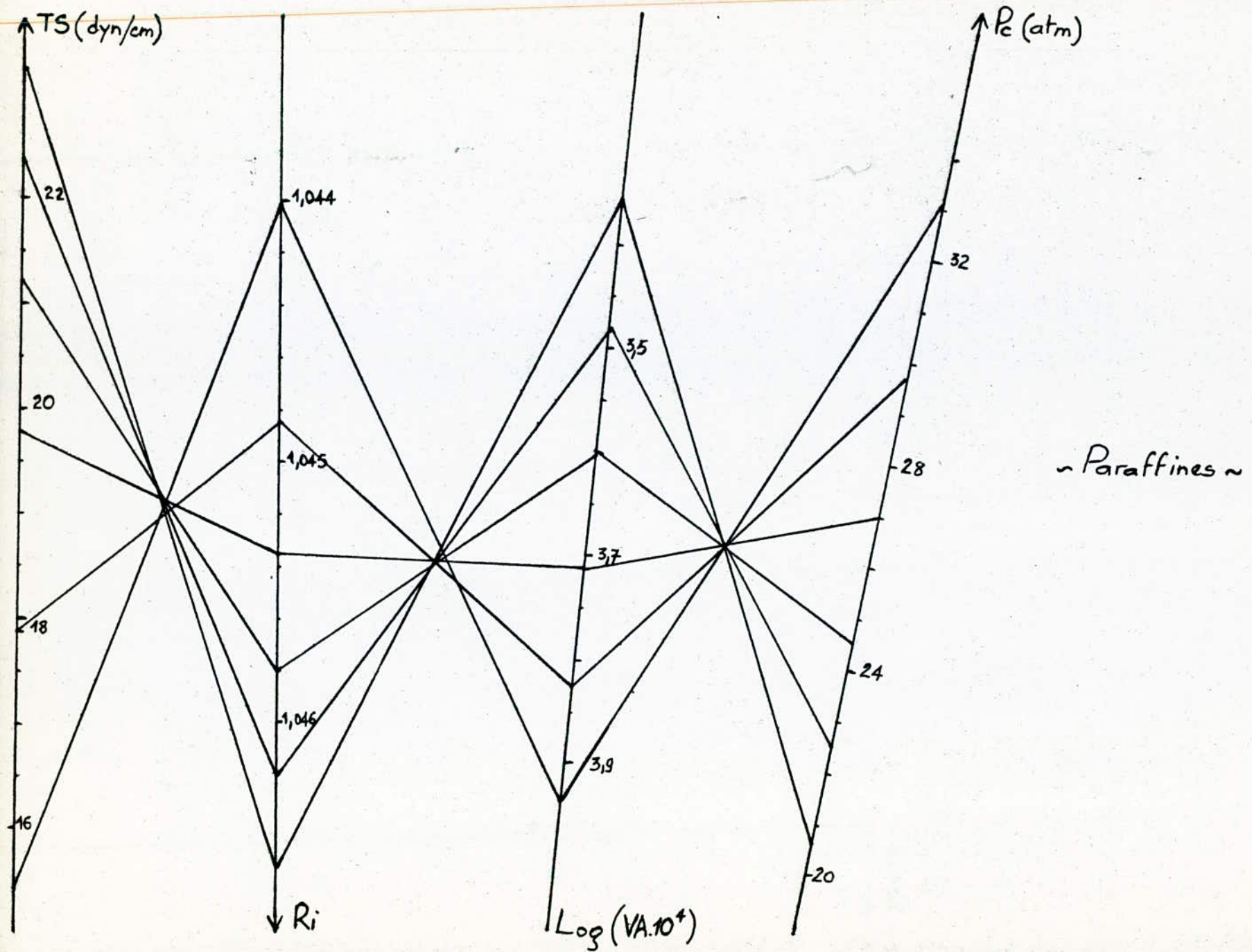
Les abaques à points alignés "simples" sont ceux dont une seule application de la règle donne la valeur recherchée.

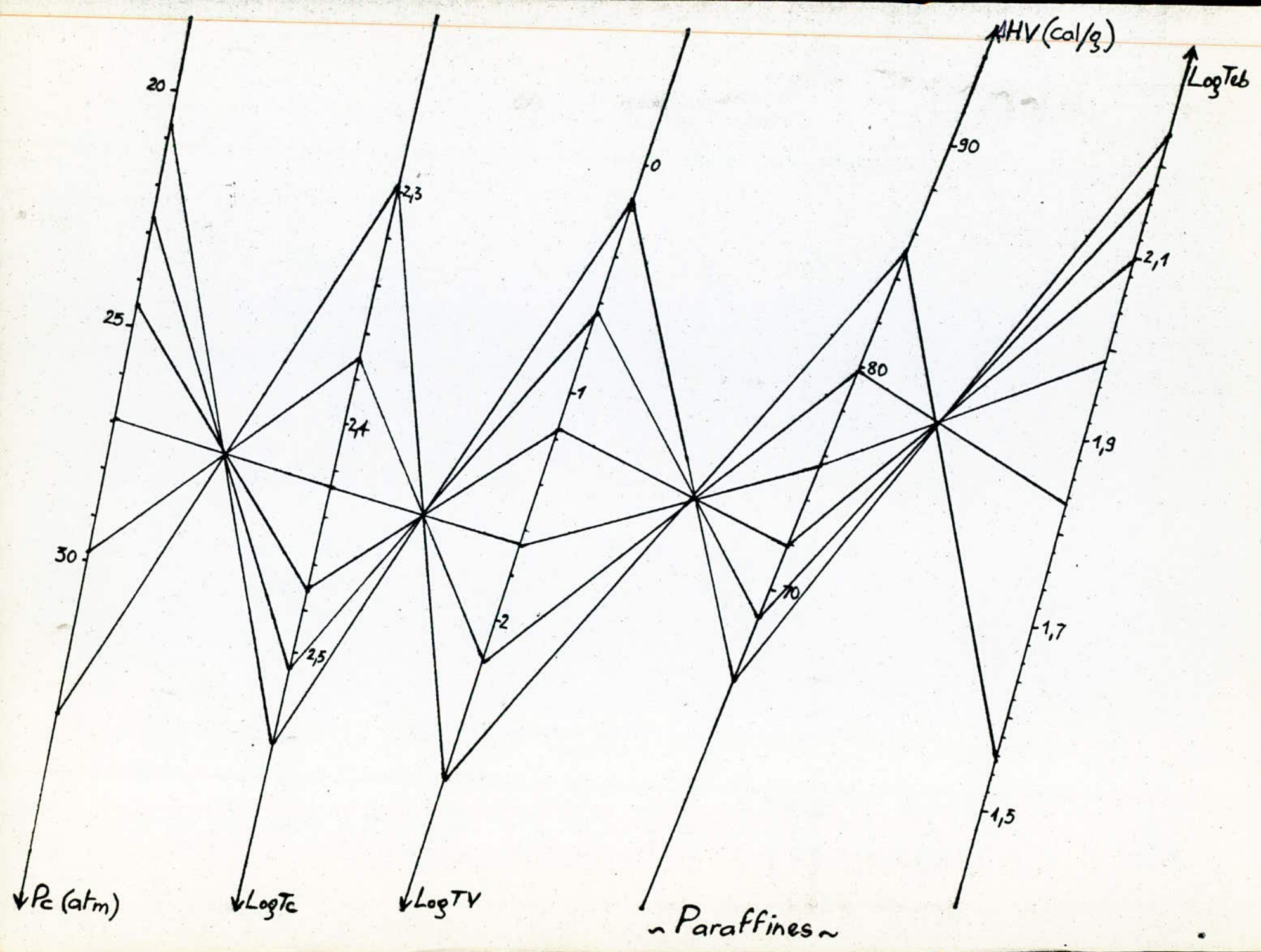
Dans notre cas, nous avons tracé des nomogrammes à deux échelles et un point "pivot". Nous pouvons formuler ainsi le mode d'emploi du nomogramme : A l'aide d'une règle nous relierons le point de la valeur donnée d'une certaine fonction au point "pivot"; le point d'intersection de la règle avec l'autre échelle nous donne la valeur de l'autre fonction.

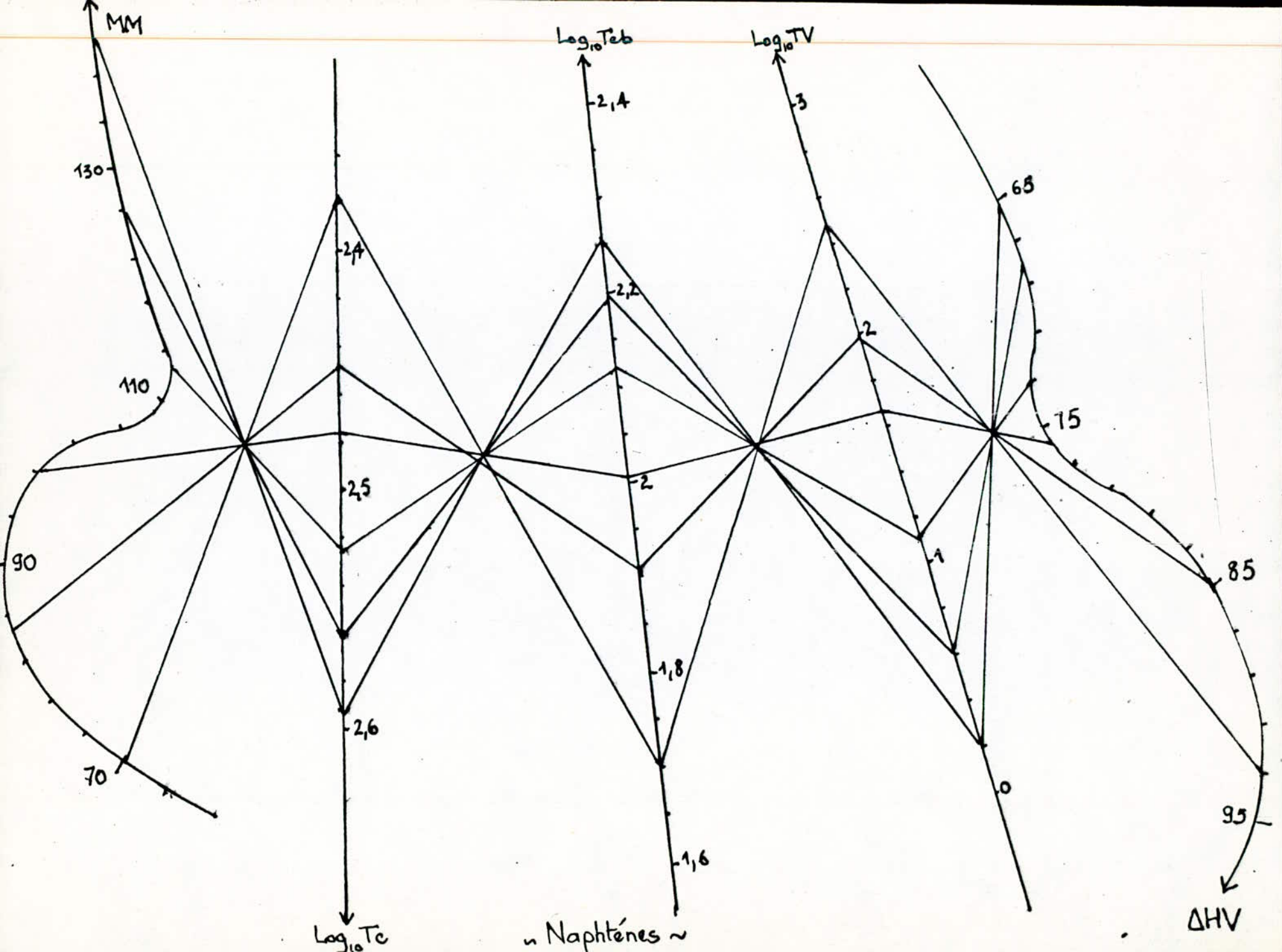
#### Domaine de validité des nomogrammes proposés :

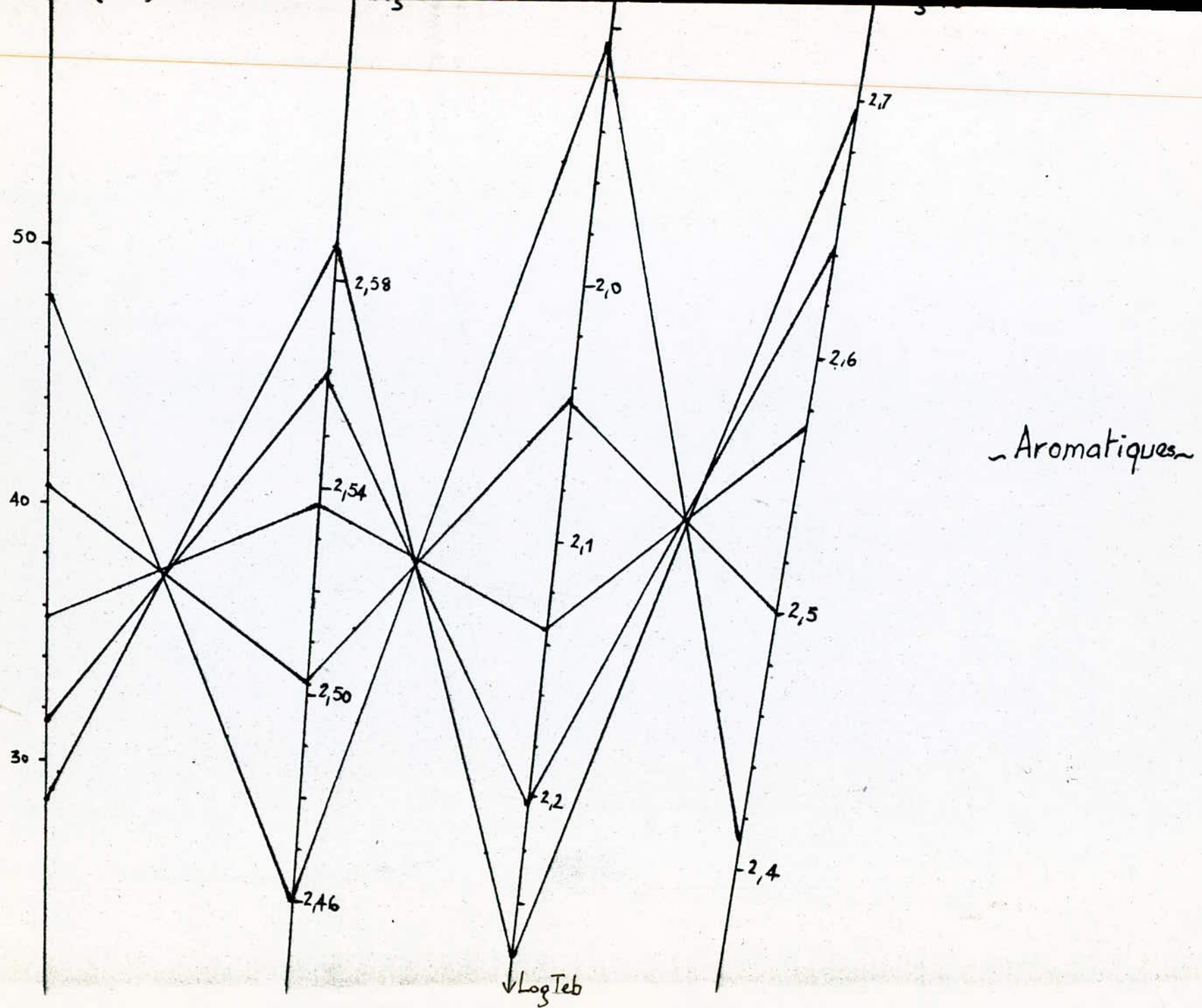
Famille d'hydrocarbures	Domaine des températures (°c)
ISOPARAFFINES*	28 - 145
N. PARAFFINES	35 - 175
NAPHTENES	50 - 185
AROMATIQUES	80 - 185

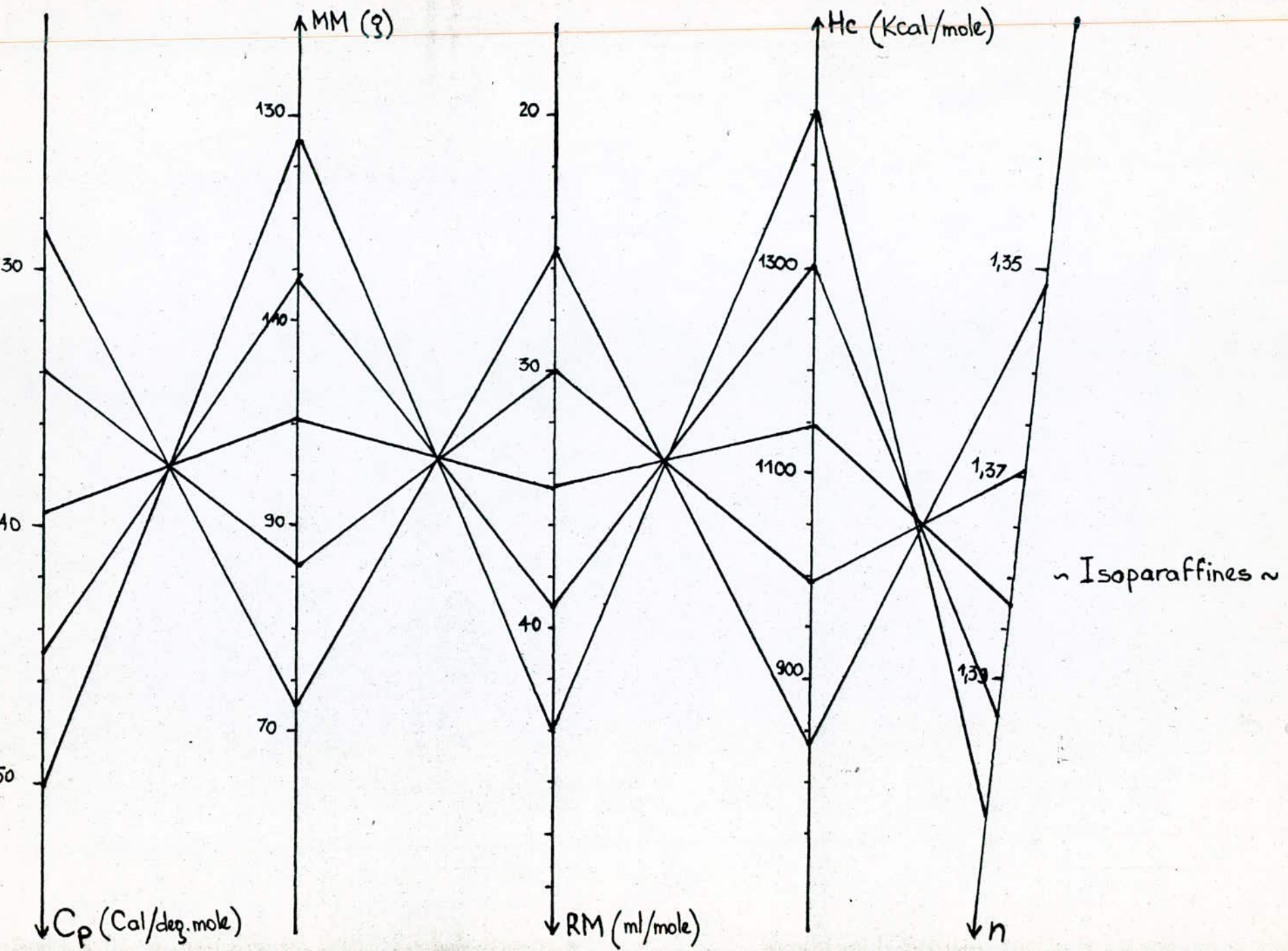
\* Le nomogramme proposé n'est pas valable pour l'isobutane ( $T_{eb} = -11,7^{\circ}\text{C}$ )

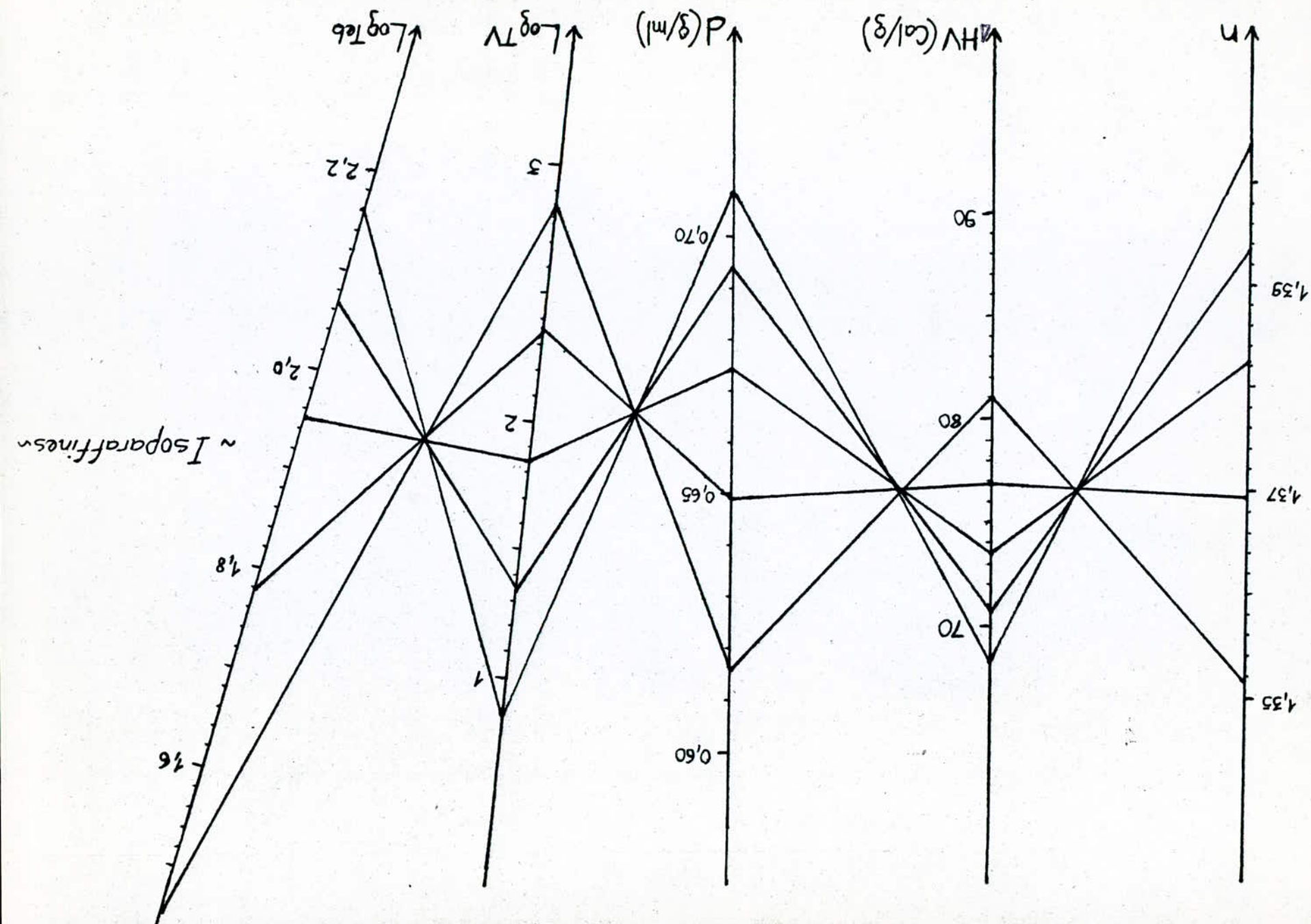












c- Application des nomogrammes aux fractions pétrolières :

\* Soit la fraction 5 (10) dont la composition est :  $X_p = 70,6 \%$   
 $X_N = 29,4 \%$   
 $X_A = 0 \%$

sachant  $MM = 90,8$

	$C_p$ (cal/°C.mole)	RM (ml/mole)	Tc (°C)	Teb (°C)	$\Delta H_v$ (cal/g)
Valeur expérimentale	33,1	31	249,6	76	77,9
Valeur calculée	34,1	31,2	257,5	78,5	78,7
Ecart (%)	3	0,6	3,2	3,3	1

\* Soit la fraction 30 (10) dont la composition est :  $X_p = 57,1 \%$   
 $X_N = 0 \%$   
 $X_A = 42,9 \%$

sachant  $MM = 137$

	$C_p$ (cal/°C.mole)	RM (ml/mole)	Hc (Kcal/mole)
Valeur expérimentale	49,7	46,3	1520,7
Valeur calculée	49,2	46,9	1499,2
Ecart (%)	1	0,6	1,4

d- Conclusion :

Avec des écarts pas très importants nous pourrons - pour des calculs qui ne demandent pas une grande précision - faire appel à la méthode graphique (nomogrammes) pour la détermination de certaines propriétés des fractions pétrolières légères.

## II. CONTRIBUTION A L'APPROCHE DE LA CONNAISSANCE DE LA COMPOSITION DES FRACTIONS PETROLIERES :

### 1. Introduction :

Dans ce chapitre nous avons proposé quelques corrélations obtenues par la méthode de "Cramer". En outre, nous avons représenté graphiquement la méthode N.D.PA et une corrélation proposée dans une thèse précédente (Promotion Juin 85).

### 2. Méthode de calcul : (7)

Pour déterminer  $X_p$ ,  $X_N$  et  $X_A$ , il suffit de résoudre un système de trois équations à trois inconnues :

$$\begin{aligned} aX_p + bX_N + cX_A &= A \\ a'X_p + b'X_N + c'X_A &= B \\ X_p + X_N + X_A &= 1 \end{aligned}$$

A et B sont deux paramètres qui séparent bien les trois familles d'hydrocarbures. Les coefficients des deux premières équations sont respectivement les valeurs moyennes de A et B pour chaque famille.

Comme point de départ nous avons choisi 5 hydrocarbures de chaque famille (paraffines, naphténés, aromatiques) avec leurs données recueillies dans les tables, par conséquent, ces corrélations ne sont valables que dans un intervalle de température allant de 40 à environ 200°C.

Corrélation proposée : basée sur la connaissance de la densité, de la masse moléculaire et de l'indice de refraction.

$$A = d^{7,3} / MM^{1,26}$$

$$B = n^{22}$$

Système d'équations :

$$X_p = -6244,549 A + 2,854 \cdot 10^{-4} B + 1,4647$$

$$X_N = 7793,582 A - 7,072 \cdot 10^{-4} B - 0,2973$$

$$X_A = -1549,033 A + 4,219 \cdot 10^{-4} B - 0,1673$$

Nous avons aussi tenté d'améliorer les deux corrélations proposées dans le projet de fin d'études précédent (BERRAH, CHITOUR) (10)

Corrélation 2 :

$$A = d^{10} / Teb^{0,75}$$

$$B = n^{22}$$

Système d'équations :

$$X_p = -1185,224 A + 4,46 \cdot 10^{-4} B + 1,1495$$

$$X_N = 1479,233 A - 9,077 \cdot 10^{-4} B + 0,096$$

$$X_A = -294,009 A + 4,617 \cdot 10^{-4} B - 0,2455$$

Corrélation 3 :

$$A = Teb^3 / (d \cdot n)^{17,5}$$

$$B = n^{23,2}$$

Système d'équations :

$$X_p = 7,994 \cdot 10^{-7} A + 1,755 \cdot 10^{-5} B - 0,1314$$

$$X_N = -9,88 \cdot 10^{-7} A - 23,16 \cdot 10^{-5} B + 1,6489$$

$$X_A = 1,887 \cdot 10^{-7} A + 21,405 \cdot 10^{-5} B - 0,5175$$

Remarque : Ces corrélations sont applicables aux fractions pétrolières légères, cela est bien montré sur les listings ci-joints. Même si les résultats sont différents de ceux obtenus par C.P.G, les paramètres A et B utilisés séparent bien les trois familles d'hydrocarbures, tel que le montre le tableau suivant.

Corrélation 1 :

$$A = d^{\frac{7,3}{}} / MM^{\frac{1,26}{}}$$
$$B = n^{\frac{22}{}}$$

.938134718108	.0505941298888	.011271152003
.848070549545	.120445202065	.0314842483899
.784108021175	.164748703458	.0511432753672
.709026105535	.212678744175	.07829515029
.568888504482	.344273057912	.0868384376061
.435563091906	.420322673508	.144114234586
.357843831242	.461370063896	.180786104862
.321466673233	.466582029612	.211951297155
.340822750471	.410670344378	.248506905151
.32039118582	.344237444392	.335371369788
.376490334182	.366155003161	.257354662657
.400648052294	.268087053658	.331264894048
.319766048708	.320281619427	.359952331865
.308565151346	.269130508375	.422304340278
.282844903574	.201613721594	.515541374831
.33241154847	.0938284196356	.573760031895
.361360841925	.00971674196812	.628922416107

Corrélation 2 :

$$A = d^{\frac{10}{}} / Teb^{\frac{0,75}{}}$$

$$B = n^{\frac{22}{}}$$

.894374732679	.105209286855	.000415980465183
.880624570116	.0798157794099	.0395596504742
.887198341928	.036085633887	.0767160241853
.862761426265	.0208075954364	.116430978298
.742331272508	.127805801178	.129862926314
.65635178246	.144764789452	.198883428088
.580499451842	.18348213616	.236018411998
.561787747742	.166646527393	.271565724865
.581532598503	.110249628857	.30821777264
.587673894528	.0106521621413	.401673943331
.394909705698	.251233742032	.35385655227
.684392249434	-.231533601663	.54714135223
.396703147095	.131703860324	.471592992581
.378138362611	.12232240888	.499539228509
.371869958783	.0829904305755	.545139610641
.391333906891	.0280841402613	.580581952848
.284769105633	.075495032197	.63973586217

Corrélation 3 :

$$A = T_{eb}^3 / (d \cdot n)^{17,5}$$

$$B = n^{23,2}$$

.640437156868	.427219893407	-.0676570502748
.762682218857	.237142859174	.000174921968976
.926641612519	.00174514749941	.0716132399819
.941797219063	-.0594160474638	.117618828401
.784679779311	.0944192110926	.120901009596
.601392315384	.236124792433	.162482892183
.548113840211	.249057646489	.202828513299
.57161573632	.181834782635	.246549481045
.636550369102	.0713223382788	.292127292619
.584408239508	.04777237129	.367819389202
.548464428599	.379273561994	.0722620094069
.590687883812	.289766573464	.119545542724
.6638819173	.167227424176	.168890658525
.732979843232	.0476480371999	.219372119568
.630755475174	.175760050536	.19348447429
.498923449195	.252690585858	.248385964946
.647106444436	.0914740499627	.261419505677

		Paraffines	Naphtènes	Aromatiques
Cor 1	A	$(1,656 - 1,883) 10^{-4}$	$(3,711 - 5,776) 10^{-4}$	$(6,702 - 15,383) 10^{-4}$
	B	1055,8 - 1908,1	2260,7 - 2980,9	6216,4 - 7256,9
Cor 2	A	$(6,07 - 8,52) 10^{-4}$	$(20,5 - 28,61) 10^{-4}$	$(42,4 - 96,8) 10^{-4}$
	B	1055,8 - 1908,1	2260,7 - 2980,9	6216,4 - 7256,9
Cor 3	A	$(21,1 - 35,1) 10^5$	$(0,96 - 5,6) 10^5$	$(0,46 - 8,98) 10^4$
	B	1543,5 - 2880,9	3445,1 - 4611,7	10010,5 - 11785,2

Nous avons appliqué ces corrélations aux fractions pétrolières issues de la distillation de coupes pétrolières légères fournies par la raffinerie d'Alger (Projet de fin d'études, promotion juin 1984)

N° de fraction	X <sub>P</sub> (%)			X <sub>N</sub> (%)			X <sub>A</sub> (%)		
	C.P.G	N.D.PA	Riazi-Daubert	C.P.G	N.D.PA	Riazi-Daubert	C.P.G	N.D.PA	Riazi-Daubert
1	100	-	-	0	-	-	0	-	-
2	85,7	-	-	12,1	-	-	2,2	-	-
3	73,3	-	89,6	15,0	-	3,6	3,3	-	6,9
4	71,3	66,4	84,0	18,1	19,6	8,1	10,6	14,1	8,0
5	70,6	68,7	68,1	29,4	23,1	27,4	0	8,2	4,5
6	70,6	66,3	66,3	29,4	22,5	24,6	0	11,2	9,1
7	63,8	64,9	59,7	28,3	24,4	31,0	7,9	10,6	9,4
8	58,3	64,8	55,7	41,7	25,1	34,5	0	10,1	9,8
9	54,7	63,8	55,1	42,1	25,7	34,9	3,2	10,6	10,0
10	58,2	63,6	59,5	26,2	21,9	24,7	15,6	14,5	15,8
11	90,4	-	76,7	9,6	-	14,8	0	-	8,5
12	77,3	-	77,8	22,7	-	20,7	0	-	8,5
13	64,7	-	66,9	35,4	-	24,3	0	-	8,8
14	59,2	66,3	64,9	21,3	22,4	25,4	19,5	11,3	9,7
15	-	58,7	-	-	34,8	-	-	6,5	-
16	-	52,6	-	-	35,5	-	-	11,9	-
17	-	58,4	-	-	30,2	-	-	11,4	-

### 3. Méthode de construction des abaques: (9)

a - Aboques au compas adaptés :

Soit la forme canonique à 4 variables  $f_1 + f_2 = f_3 + f_4 \dots (1)$

Introduisons dans l'équation les paramètres auxiliaires de transformation  $\alpha_0, \alpha, \alpha'$  et  $m$  et deux fonctions arbitraires  $R_{12}$  et  $R_{34}$ :

$$[\alpha_0 + m(f_1 + R_{12})] + [-\alpha_0 - \alpha + m(f_2 - R_{12})] = [\alpha_0 + \alpha' + m(f_3 + R_{34})] + [-\alpha_0 - \alpha' - \alpha + m(f_4 - R_{34})] \dots (2)$$

L'équation (2) est de la même forme que l'équation (1)

$$f'_1 + f'_2 = f'_3 + f'_4$$

Les équations des éléments de l'abaque s'écrivent :

$$\text{Echelle } \alpha_1 : x = \alpha_0 + m(f_1 + R_{12}), \quad y = T_{12}$$

$$\text{Echelle } \alpha_2 : x = \alpha_0 + \alpha - m(f_2 - R_{12}), \quad y = T_{12}.$$

$$\text{Echelle } \alpha_3 : x = \alpha_0 + \alpha' + m(f_3 + R_{34}), \quad y = T_{34}$$

$$\text{Echelle } \alpha_4 : x = \alpha_0 + \alpha' + \alpha - m(f_4 - R_{34}), \quad y = T_{34}$$

$T_{12}, T_{34}$ : fonctions arbitraires

Le paramètre  $\alpha_0$  positionne l'origine des coordonnées. Les paramètres  $\alpha$  et  $\alpha'$  permettent de déplacer les échelles  $\alpha_2$  et  $\alpha_3$  dans le sens de l'axe des abscisses Ox. Les variations du paramètre  $m$  se traduisent par une contraction ou une dilatation des échelles  $\alpha_1, \alpha_2, \alpha_3$  et  $\alpha_4$ . Par un choix convenable des fonctions  $R_{12}$  et  $R_{34}$  on peut attribuer aux 4 échelles une forme plus commode à l'usage. Dans le cas le plus simple on peut poser  $R_{12} = R_{34} = 0$ . Les fonctions arbitraires  $T_{12}$  et  $T_{34}$  décrivent les lois de distribution des échelles parallèles. Dans le plus simple des cas on peut prendre  $T_{12} = 0$  et  $T_{34} = b$ , où  $b$  est une constante.

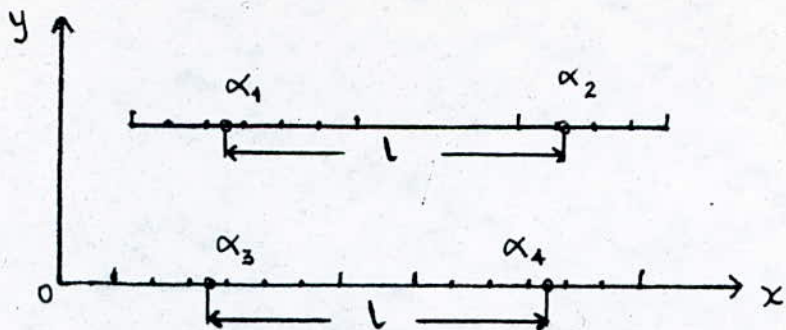
Dans le cas le plus simple, les équations des éléments de l'abaque s'écrivent :

$$\text{Echelle } \alpha_1 : x = \alpha_0 + m f_1, \quad y = b$$

$$\text{Echelle } \alpha_2 : x = \alpha_0 + \alpha - m f_2, \quad y = b$$

$$\text{Echelle } \alpha_3 : x = \alpha_0 + \alpha' + m f_3, \quad y = 0$$

$$\text{Echelle } \alpha_4 : x = \alpha_0 + \alpha' + \alpha - m f_4, \quad y = 0$$



"Schéma d'un abaque adapté au compas pour la forme  $f_1 + f_2 = f_3 + f_4$ "

### APPLICATION :

Méthode N.D.PA

$$X_A = 1039,4 n - 470,4 d - 0,315 PA - 1094,3$$

Posons  $f_1 = 1039,4 n$ ;  $f_2 = -470,4 d$ ;  $f_3 = 0,315 PA + 1094,3$ ;  $f_4 = X_A$   
et choisissons  $\alpha_0 = -1200$ ,  $a = 1400$ ,  $a' = 200$ ,  $m = 1$ ,  $b = 50 \text{ mm}$

Pour lire la valeur de  $X_A$  sur l'abaque il suffit de mesurer la distance entre les valeurs de  $n$  et  $d$  à l'aide d'une règle (ou d'un compas) et reprendre la même distance à partir de la valeur de  $PA$ . On lira directement la solution.

De la même manière nous tracerons l'abaque pour  $X_N$ :

$$X_N = -1573,3 n + 840,4 d - 0,4619 PA + 1662,2$$

Posons  $f_1 = 840,4 d$ ;  $f_2 = -0,4619 PA + 1662,2$ ;  $f_3 = 1573,3 n$ ;  $f_4 = X_N$   
et choisissons  $\alpha_0 = 850$ ,  $a = -2000$ ,  $a' = 1670$ ,  $m = -1$ ,  $b = 50 \text{ mm}$ .

### b. Abaques à entrecroisement :

Les abaques à entrecroisement permettent de représenter pratiquement toute relation entre trois variables :  $F(u, v, w) = 0$

Pour tracer l'abaque de cette relation, considérons un champ binaire arbitraire des variables  $u$  et  $v$ . Donnons à la variable  $w$  une série de valeurs fixes  $w_1, w_2, \dots, w_n$  et tracons dans le réseau  $(u, v)$  les graphes pour des valeurs fixes choisies de  $w$ .

Si le réseau  $(u, v)$  choisi est orthogonal nous obtenons l'abaque à entrecroisement qui est dit "abaque cartésien".

### APPLICATION:

nous avons appliquée cette méthode à une corrélation proposée dans une thèse précédente (Promotion Juin 85) :

$$X_p = -3630,946 A + 3,8155 \cdot 10^{-4} B + 1,1908$$

$$X_N = 4531,644 A - 8,2777 \cdot 10^{-4} B + 0,0444$$

$$X_A = -900,698 A + 4,4572 \cdot 10^{-4} B - 0,2352$$

Avec  $A = d^{10} / Teb$ ,  $B = n^{22}$

### \* Vérification de la représentation graphique de la méthode N.D.P.A :

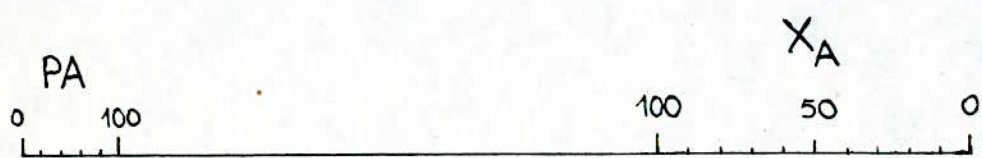
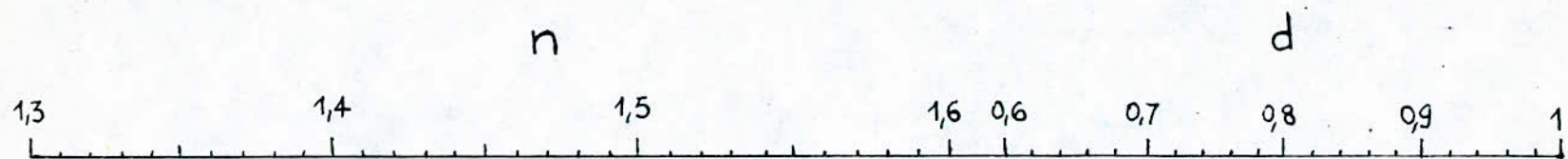
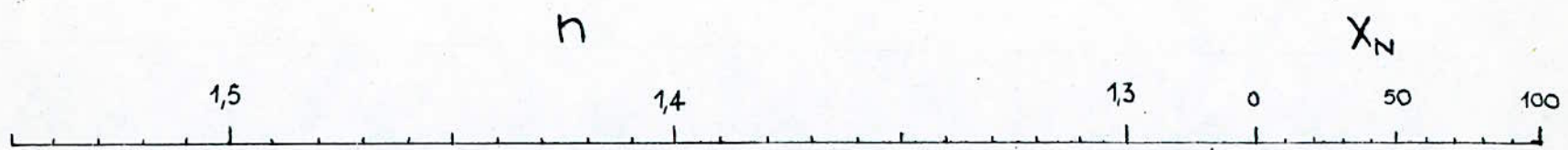
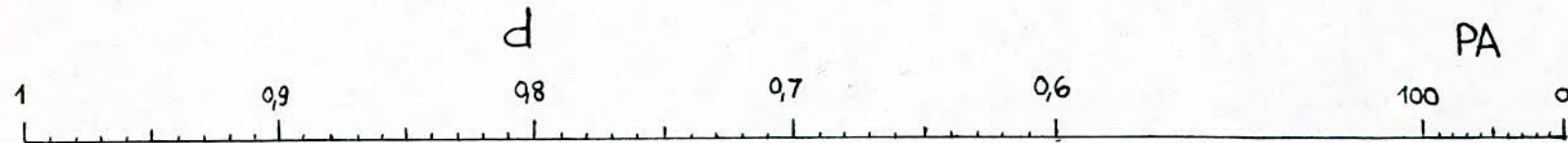
Prenons  $n=1,4$ ;  $d=0,7$ ;  $PA=50$

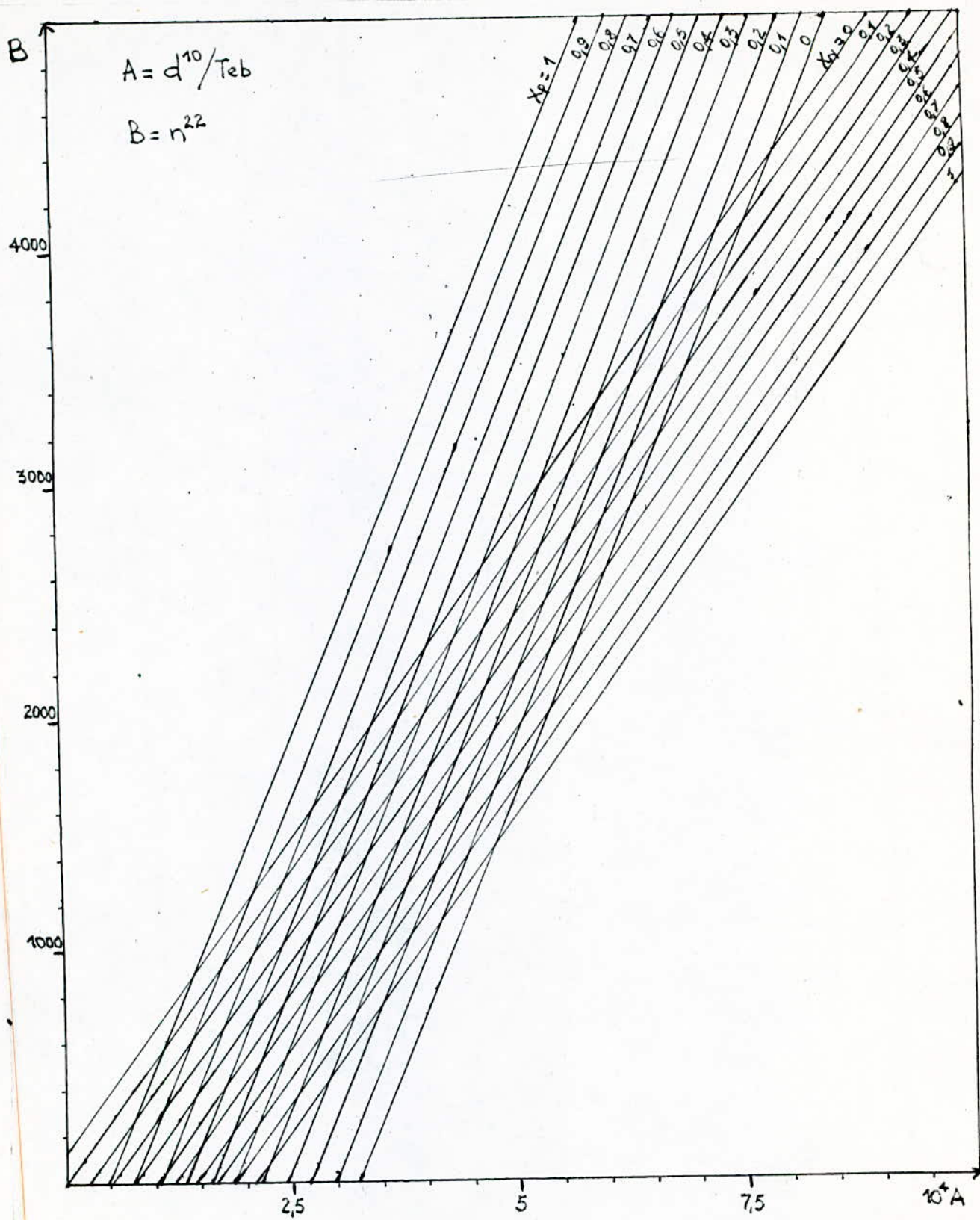
	$X_p$	$X_N$	$X_A$
Valeur calculée	59,4	24,8	15,8
Valeur mesurée	61,0	23,5	15,5

### \* Vérification de la représentation graphique de la corrélation :

Soient  $d=0,662$ ;  $n=1,382$ ;  $Teb=65$   $\left\{ \begin{array}{l} A=2,49 \cdot 10^{-4} \\ B=1233,6 \end{array} \right.$

	$X_p$	$X_N$	$X_A$
Valeur calculée	75,9	15,1	9,0
Valeur mesurée	75	17	8





## CONCLUSION GENERALE

Avec les équations obtenues par la méthode du polynôme d'interpolation de Newton pour les isoparaffines, nous avons élargi le domaine d'application pour les mélanges de corps purs sachant que les équations des trois autres familles (paraffines, naphtènes, aromatiques) ont été déterminées dans les thèses précédentes.

Les équations basées sur la connaissance de deux paramètres (Masse moléculaire, température d'ébullition) pour calculer les treize autres propriétés donnent d'assez bons résultats aussi bien pour les corps purs et les mélanges de corps purs que pour les fractions pétrolières tout en respectant les domaines de validité.

L'applicabilité des nomogrammes aux fractions pétrolières nous incite à approfondir cette méthode graphique qui est très pratique.

Même si les paramètres proposés ( $A$  et  $B$ ) pour les corrélations séparent bien les trois familles d'hydrocarbures ( $P$ ,  $N$ ,  $A$ ), il reste encore à les parfaire en introduisant plusieurs propriétés dans chaque paramètre.

# Annexe

Propriétés Corps	Pc (atm)	Tc (°C)	Vc (ml/mole)	d (g/ml) à 25°C	MM (g)	Teb (°C) à 1 atm	n à 25°C	TV (mm Hg) à 25°C	
N. Paraffines	Pentane	33,25	196,50	304	0,62137	72,15	36,06	1,35472	512,48
	Héxane	29,73	234,30	370	0,65479	86,18	68,73	1,37226	151,26
	Héptane	27,00	267,10	432	0,67949	100,21	98,50	1,38511	45,71
	Octane	24,54	295,68	492	0,69847	114,23	125,68	1,39505	14,02
	Nonane	22,60	321,49	548	0,71379	128,26	150,82	1,40311	4,34
	Décane	20,70	344,50	603	0,72623	142,29	174,15	1,40967	1,36
N. naphténées	cyclo pentane	44,49	238,60	260	0,74043	70,14	49,25	1,40363	317,47
	cyclo hexane	40,20	280,40	308	0,77387	84,16	80,72	1,42354	97,58
	met. cyclo hexane	34,26	299,04	368	0,76504	98,19	100,93	1,42058	48,33
	Et. cyclo hexane	30,00	336,00	450	0,78388	112,22	131,80	1,43073	12,78
	prop. cyclo hexane	27,70	366,00	477	0,78975	126,24	156,75	1,43478	4,12
	but. cyclo hexane	31,10	394,00	534	0,79549	140,27	180,98	1,43855	1,52
Aromatiques	Benzene	48,34	289,01	259	0,87368	78,11	80,09	1,49792	95,17
	Toluene	40,55	318,64	316	0,86231	92,14	110,63	1,49413	28,44
	et. benzene	35,62	344,02	374	0,86262	106,17	136,20	1,49520	9,58
	prop. benzene	31,58	365,23	440	0,85778	120,20	159,24	1,48951	3,36
	but. benzene	28,49	387,40	497	0,85605	134,22	183,31	1,48742	1,03

Corps	(Cal/g) à 25°C et 1 atm	$\theta_3$ (°K)	$C_p$ (Cal/deg.mole) à 25°C	$H_c$ (Kcal/mole) à 25°C	RM (ml/mole) à 25°C	VA (c.poises) à 25°C	TS (dyn/cm) à 25°C	Ri	
N. Paraffines	Pentane	85,38	143,44	28,73	838,77	25,29	0,2240	15,48	1,04402
	Héxane	80,03	177,81	34,20	995,01	29,93	0,2976	17,90	1,04482
	Héptane	75,61	182,55	39,67	1151,27	34,57	0,3955	19,80	1,04536
	Octane	72,01	216,37	45,14	1307,53	39,21	0,5136	21,26	1,04580
	Nonane	68,80	219,64	50,60	1463,80	43,86	0,6676	22,44	1,04620
	Décane	65,98	243,50	56,07	1620,06	48,50	0,8588	23,37	1,04654
N. Céténés	Cyclo pentane	93,03	179,29	19,82	786,55	23,14	0,4150	21,82	1,03341
	cyclo hexane	85,08	279,72	25,40	936,86	27,72	0,8950	24,38	1,03660
	met.cyclo hexane	75,78	146,57	32,27	1091,13	32,52	0,6830	23,17	1,03805
	et. cyclo hexane	73,08	161,84	37,96	1248,23	37,03	0,7850	25,12	1,03878
	prop. cyclo hexane	68,30	178,26	44,03	1404,34	41,69	0,9310	25,85	1,03990
	but. cyclo. hexane	65,60	198,44	49,50	1560,78	46,33	1,2040	26,35	1,04080
Aromatiques	Benzene	94,13	278,69	19,52	780,98	26,20	0,6010	28,18	1,06107
	Toluène	86,08	178,17	24,80	934,50	31,11	0,5500	27,92	1,06298
	et. Benzene	80,07	178,19	30,69	1091,03	35,78	0,6354	28,48	1,06188
	prop. Benzene	76,00	173,66	36,41	1247,19	40,47	0,7962	28,45	1,06061
	but. Benzene	69,89	185,19	41,85	1403,46	45,12	0,9570	28,38	1,05938

Propriétés Corps	P <sub>c</sub> (atm)	T <sub>c</sub> (°C)	V <sub>c</sub> (ml/mole)	d (g/ml) à 25°C	MM (g)	T <sub>eb</sub> (°C) à 1 atm	n à 25°C	TV (mm Hg) à 25°C
Isobutane	36,0	134,0	263	0,557 (20°C)	58,12	-11,7	1,3233	2610,71
Isopentane	33,4	187,8	306	0,616	72,15	28,0	1,3517	688,05
Isohexane	29,7	224,5	367	0,649	86,18	60,4	1,3695	211,75
Isoheptane	27,0	257,3	421	0,675	100,21	90,1	1,3829	65,89
Isooctane	24,5	286,6	488	0,694	114,23	117,7	1,3939	20,61
Isononane	22,9	313,9	531	0,709	128,26	143,3	1,4042	6,54

Propriétés Corps	ΔHV (Cal/g) à T <sub>eb</sub> et 1 atm	C <sub>g</sub> (°K)	C <sub>p</sub> (Cal/deg. mole)	H <sub>c</sub> (Kcal/mole)	RM (ml/mole) à 25°C	VA (c. poises) à -20 °C	TS (dyn/cm)
Isobutane	87,56	113,6	23,07	681,63	20,67	0,252	9,30
Isopentane	80,97	113,0	28,52	837,31	25,29	0,344	15,05
Isohexane	76,89	119,3	33,97	993,71	29,91	0,508	18,05
Isoheptane	73,40	154,8	39,42	1149,97	34,53	0,620	19,00
Isooctane	70,30	165,6	44,87	1306,28	39,14	0,822	20,35
Isononane	68,30	192,6	50,32	1463,80	43,76	1,073	21,73

# -Courbes-

```
10  GINIT
20  GRAPHICS 0N
30 ! PLOTTER IS 805, "HPGL"
40  PEN 2
50  DIM Etiquette$[40]
60  FOR Ii=1 TO 1
70  READ N(Ii)
80  FOR I=1 TO N(Ii)
90  FOR J=1 TO 10
100 READ A(Ii,I,J)
110 NEXT J
120 NEXT I
130 FOR I=1 TO N(Ii)
140 FOR J=1 TO 10
150! PRINT USING "1X,DDDD.DDDD";A(Ii,I,J)
160 NEXT J
170 NEXT I
180 ! ISOPARAFFINES
190 DATA 6
200 DATA 113.6,681.625,20.672,9.30,1.0440,0.557,58.124,-11.7,1.3233,2610.71
210 DATA 113.0,832.310,25.290,15.05,1.0437,616,72.151,28.0,1.3517,608.05
220 DATA 119.3,993.710,29.908,18.05,1.0450,.647,86.178,60.4,1.3695,211.75
230 DATA 154.8,1149.970,34.526,19.00,1.0454,.675,100.205,90.1,1.3829,65.89
240 DATA 165.6,1306.280,39.144,20.35,1.0469,.694,114.232,117.7,1.3939,20.61
250 DATA 192.6,1463.8,43.762,21.73,1.0497,.709,128.259,143.3,1.4042,6.54
410 Xmin=.55
420 Xmax=.71
430 Ymin=58
440 Ymax=130
450 Etiquette$="MM = f (d)"
460 IF Ii>1 THEN 480
470 GOSUB 530
480 FOR I=1 TO N(Ii)
490 PLOT A(Ii,I,6),A(Ii,I,7)
500 NEXT I
510 MOVE 0,0
520 GOTO 830
530 Dx=Xmax/10
540 Dy=Ymax/10
550 Xg=Xmin-2*Dx
560 Xd=Xmax+Dx
570 Yg=Ymin-2*Dy
580 Yd=Ymax+Dy
590 VIEWPORT 0,65,0,100
600 WINDOW Xg,Xd,Yg,Yd
610 Sdx=Xmax/20
620 Sdy=Ymax/20
630 AXES Sdx,Sdy,Xg+Dx,Yg+Dy,4,4,1
640 CSIZE 3
650 LORG 6
660 Xini=4*Sdx+Xg+Dx
670 FOR J=Xini TO Xmax STEP 4*Sdx
680 MOVC J,Yg+Dy-(Dy/10)
690 LABEL J
700 NEXT J
710 LORG B
720 Yinj=4*Sdy+Yg+Dy
730 FOR J=Yinj TO Ymax STEP 4*Sdy
740 MOVC Xg+Dx-Dx/10,J
750 LABEL J
760 NEXT J
770 LORG 5
780 CSIZE 3
790 MOVE Xg+Sdx+((Xd-(Xg+Sdx))/2),Yd-2*Sdy
800 LABEL Etiquette$
810 MOVE 0,0
820 RETURN
830 NEXT Ii
831 INPUT "VOULEZ-VOUS LE TRACE SUR LE HPGL, OUI ou NON ? ",Rep$
832 IF Rep$="OUI" THEN
833 GOTO 18
834 END IF
835 IF Rep$="NON" THEN 840
840 END
```

# -Equations-

```
10  DATA X(6),Y(6),U(6),P(6),T(6,6),V(4,6)
20 ! PRINT "RECUEIL DES POINTS"
30 ! PRINT "-"
40 FOR N=1 TO 1
50 READ M(N)
60 FOR I=1 TO M(N)
70 FOR J=1 TO 10
80 READ A(N,I,J)
90 NEXT J
100 NEXT I
110 FOR I=1 TO M(N)
120 X(I)=A(N,I,10)
130 Y(I)=A(N,I,4)
140 ! PRINT "X(";I,")=",X(I),"Y(";I,")=",Y(I)
150 NEXT I
160 GOSUB 250
170 FOR I=1 TO 1
180 NEXT I
190 ! PRINT
200 ! PRINT
210 PRINT "Cp=",P(6),"*Cg^5+",P(5),"*Cg^4+",P(4),"*Cg^3+",P(3),"*Cg^2+",P(2),"*Cg+",P(1)
220 ! PRINT
230 ! PRINT
240 GOTO 820
250 REM CALCUL DES DIFFERENCES DIVISEES
260 FOR I=1 TO M(N)
270 T(I,1)=Y(I)
280 NEXT I
290 FOR I=2 TO M(N)
300 T(I,2)=(Y(I)-Y(I-1))/(X(I)-X(I-1))
310 NEXT I
320 FOR J=3 TO M(N)
330 FOR J=J TO M(N)
340 T(I,J)=(T(I,J-1)-T(I-1,J-1))/(X(I)-X(I-J+1))
350 NEXT I
360 NEXT J
370 RLM CLASSEMENT DES DIFFERENCES DIVISEES DANS LE VECTEUR U(M(N))
380 FOR I=1 TO M(N)
390 U(I)=T(I,I)
400 NEXT I
410 REM IL EST POSSIBLE DE RETIRER LA MATRICE T(M(N),M(N))
420 REM INITIALISATION DE LA MATRICE DE CALCUL DES COEFFICIENTS
430 V(1,1)=-X(1)
440 V(1,2)=1
450 REM INITIALISATION DU PORTEUR DES COEFFICIENTS P(M(N))
460 FOR I=1 TO M(N)
470 P(I)=0
480 NEXT I
490 P(1)=U(2)*(-X(1))+Y(1)
500 P(2)=U(2)
510 REM CALCUL DES COEFFICIENTS DU POLYNOME DE NEWTON
520 FOR J=3 TO M(N)
530 V(2,1)=0
540 FOR I=2 TO M(N)
550 V(2,1)=V(1,I-1)
560 NEXT I
570 FOR I=1 TO M(N)
580 V(3,I)=V(1,I)*(-X(J-1))
590 V(4,I)=V(2,I)+V(3,I)
600 P(I)=P(I)+U(J)*V(4,I)
610 V(1,I)=V(4,I)
620 V(2,I)=0
630 V(3,I)=0
640 V(4,I)=0
650 NEXT I
660 NEXT J
670 RETURN
680 ! ISOPARAFFINES
690 DATA 6
700 DATA 113.6,681.425,20.672,9.30,1.0448,.557,58.124,-11.7,1.3233,23.07
710 DATA 113.0,837.310,25.29,15.05,1.0437,.616,72.151,28,1.3517,28.52
720 DATA 119.3,993.71,29.908,18.05,1.0450,.649,86.178,60.4,1.3695,33.97
730 DATA 154.8,1149.97,34.526,19.1,0454,.675,100.205,90.1,1.3829,39.42
740 DATA 165.6,1306.28,39.144,20.35,1.0469,.694,114.232,117.7,1.3939,44.87
750 DATA 192.6,1463.8,43.762,21.73,1.0494,.709,128.259,143.3,1.4042,58.32
760 NEXT N
770 END
```

## -Correlations-

```
50  DIM Mmol(4,2),Tebul(4,2),Dens(4,2),Inrf(4,2)
20  DIM Tpf(4,2),Vsc(4,2),Kep(4,2),H(4,2)
30  DIM Ract(16,7)
40  DIM A(4,2),B(4,2)
50  DIM C(2,2)
60  FOR I=0 TO 4
70  FOR J=0 TO 2
80  READ Mmol(I,J)
90  NEXT J
100 NEXT I
110 FOR I=0 TO 4
120 FOR J=0 TO 2
130 READ Tebul(I,J)
140 NEXT J
150 NEXT I
160 FOR I=0 TO 4
170 FOR J=0 TO 2
180 READ Dens(I,J)
190 NEXT J
200 NEXT I
210 FOR I=0 TO 4
220 FOR J=0 TO 2
230 READ Inrf(I,J)
240 NEXT J
250 NEXT I
260 FOR I=0 TO 4
270 FOR J=0 TO 2
280 READ Tpf(I,J)
290 NEXT J
300 NEXT I
310 FOR I=0 TO 4
320 FOR J=0 TO 2
330 READ Vsc(I,J)
340 NEXT J
350 NEXT I
360 FOR I=0 TO 4
370 FOR J=0 TO 2
380 READ Kep(I,J)
390 NEXT J
400 NEXT I
410 FOR I=0 TO 4
420 FOR J=0 TO 2
430 READ H(I,J)
440 NEXT J
450 NEXT I
460 FOR I=0 TO 16
470 FOR J=0 TO 7
480 READ Ract(I,J)
490 NEXT J
500 NEXT I
510 FOR I=0 TO 2
520 FOR J=0 TO 2
530 R(I,J)=Inrf(I,J)^22
531 IF I=0 AND J=2 THEN 550
540 A(I,J)=Dens(I,J)^10/Tebul(I,J)^.75
550 A(0,2)=0
560 NEXT J
570 NEXT I
580 FOR J=0 TO 2
590 C(0,J)=1
600 C(1,J)=0
610 C(2,J)=0
620 FOR I=0 TO 4
630 C(1,J)=C(1,J)+A(I,J)
640 C(2,J)=C(2,J)+B(I,J)
650 NEXT I
660 C(1,J)=C(1,J)/5
670 C(2,J)=C(2,J)/5
680 NEXT J
690 FOR I=0 TO 2
700 FOR J=0 TO 2
720 NEXT J
730 NEXT I
740 MAT C= INV(C)
750 FOR K=0 TO 16
760 X2=Ract(K,3)^22
770 X1=Ract(K,2)^10/Ract(K,1)^.75
```

```

780  Xp=C(6,0)+X1*C(0,1)+X2*C(0,2)
790  Xn=C(1,0)+X1*C(1,1)+X2*C(1,2)
800  Xa=C(2,0)+X1*C(2,1)+X2*C(2,2)
801  PRINT Xp,Xn,Xa
810  NEXT K
820  PRINT
830  PRINT "C(0,0)=",C(0,0)
840  PRINT "C(0,1)=",C(0,1)
850  PRINT "C(0,2)=",C(0,2)
860  PRINT
870  PRINT "C(1,0)=",C(1,0)
880  PRINT "C(1,1)=",C(1,1)
890  PRINT "C(1,2)=",C(1,2)
900  PRINT
910  PRINT "C(2,0)=",C(2,0)
920  PRINT "C(2,1)=",C(2,1)
930  PRINT "C(2,2)=",C(2,2)
940  DATA .66.178,.84.162,.78.114
950  DATA .100.205,.98.189,.92.143
960  DATA .114.232,.112.216,.106.168
970  DATA .128.259,.126.243,.120.195
980  DATA .142.286,.140.270,.134.222
990  DATA .68.732,.80.719,.80.094
1000  DATA .98.588,.100.934,.110.629
1010  DATA .125.675,.131.795,.136.200
1020  DATA .150.818,.156.749,.159.241
1030  DATA .174.154,.180.981,.183.305
1040  DATA .65937,.7786,.87901
1050  DATA .68376,.7694,.86696
1060  DATA .78252,.7829,.86702
1070  DATA .71763,.7936,.86204
1080  DATA .73005,.7792,.86013
1090  DATA 1.37486,1.42623,1.50112
1100  DATA 1.38764,1.42312,1.49693
1110  DATA 1.39743,1.43304,1.49588
1120  DATA 1.40542,1.43705,1.47202
1130  DATA 1.41189,1.44075,1.48979
1140  DATA 18.40,24.98,28.88
1150  DATA 20.14,23.70,28.53
1160  DATA 21.62,25.65,29.04
1170  DATA 22.85,26.3,28.99
1180  DATA 23.83,26.85,28.83
1190  DATA .4137,.953,.5870
1200  DATA .5214,.767,.5584
1210  DATA .6476,.861,.6428
1220  DATA .8087,1.000,.7944
1230  DATA 1.004,1.251,.947
1240  DATA 12.81,10.98,9.72
1250  DATA 12.70,11.32,10.36
1260  DATA 12.67,11.36,10.36
1270  DATA 12.66,11.50,10.61
1280  DATA 12.67,11.64,10.83
1290  DATA 2.33,2,1
1300  DATA 2.28,2,1.143
1310  DATA 2.25,2,1.25
1320  DATA 2.22,2,1.33
1330  DATA 2.2,2,1.4
1340  DATA 75.82,35,.616,1.361,13.9,0,13.23,2.395
1350  DATA 72.62,45,.634,1.369,14.7,0,12.99,2.274
1360  DATA 82.06,55,.647,1.375,15,.375,12.87,2.29
1370  DATA 86.93,65,.662,1.382,15.9,.404,12.72,2.118
1380  DATA 91.92,75,.682,1.308,17,.491,12.47,2.217
1390  DATA 95.73,85,.701,1.399,17.8,.491,12.29,2.211
1400  DATA 100.79,95,.715,1.405,18.6,.553,12.14,2.096
1410  DATA 104.82,105,.724,1.409,18.9,.584,12.10,2.161
1420  DATA 109.62,115,.730,1.412,19.1,.625,12.14,2.12
1430  DATA 113.56,125,.740,1.42,19.6,.697,12.06,2.016
1440  DATA 0,135,.753,1.42,0,0,0,0
1450  DATA 0,145,.751,1.4293,0,0,0,0
1460  DATA 0,155,.767,1.429,0,0,0,0
1470  DATA 0,165,.773,1.4313,0,0,0,0
1480  DATA 0,175,.779,1.4345,0,0,0,0
1490  DATA 0,185,.783,1.4365,0,0,0,0
1491  DATA 0,195,.794,1.4418,0,0,0,0
1500  END

```

ooo BIBLIOGRAPHIE ooo

1. PERRY and CHILTON

Chemical Engineers' Handbook , 5th ed McGraw-Hill , 1973

2. J.VIDAL

Thermodynamique (Méthodes appliquées au raffinage et au génie-chimique)  
T I et II , Ed Technip , 1973 , 1974

3. Lange's Handbook of Chemistry

Mc Graw-Hill , 1967 , Revised Tenth édition .

4. American Petroleum Institute

Selected Values of Properties of Hydrocarbons and Related Compounds (Project 44)

5. P.WUITHIER

Le pétrole. Raffinage et génie chimique . Ed.Technip , T1 , 1972

6. R.C REID , J.M PRAUSNITZ et T.K SHERWOOD

The Properties of Gases and Liquids , 3rd Ed McGraw-Hill , 1977 .

7. S.E CHITOUR

Corrélations sur le pétrole brut et les fractions pétrolières . O.P.U 1983

8. V.PROSKOURIAKOV et A.DRABKINE

La chimie du pétrole et du gaz , Ed Moscou , 1981 .

9. G.KHOVANSKI ; Eléments de nomographie , Ed Moscou 1976 .

10. Projets de fin d'études de : Y.BOUIMGHAR (Juin1984) , O.DERMOUNE (Janvier1985)  
et Y.BERRAH (Juin1985) . Proposés par S.E CHITOUR .

11. M.TRABAUD

Initiation au langage Basic , Ed Foucher 1982

